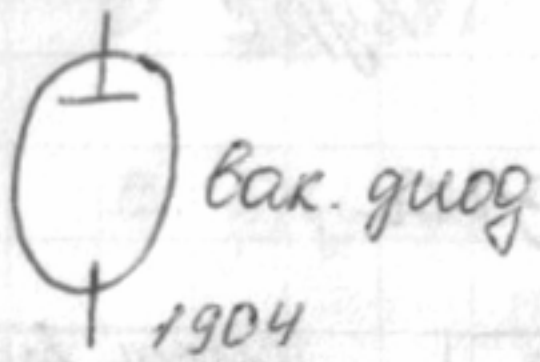


Физическая электроника



1906 - триод Ли де Форест

1914-16 - радио

1922 - радиолокация

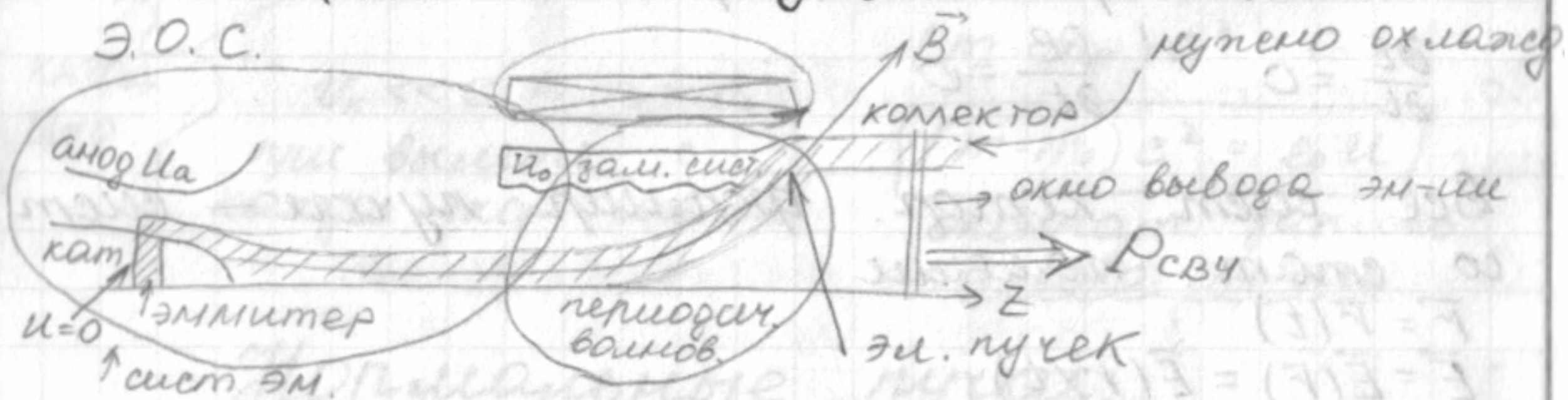
1948г. - появился 1-ый транзистор (были не соверши), но к 60-му году полупр. эл-ка стала можно развить-ся, и казалось, что она вытеснит физ-ю эл-ку, но у полупр-ов есть огромные недос-таток - они не выдерживают большую мощ-ть (нач-ют плавиться)

Мощные приборы (приборы физ. эл-ки):

$$f \geq 10^8 - 10^{12} \text{ Гц}$$

$$\text{Мощ: } P \geq 1 \text{ кВт} - 100 - 1000 \text{ МВт}$$

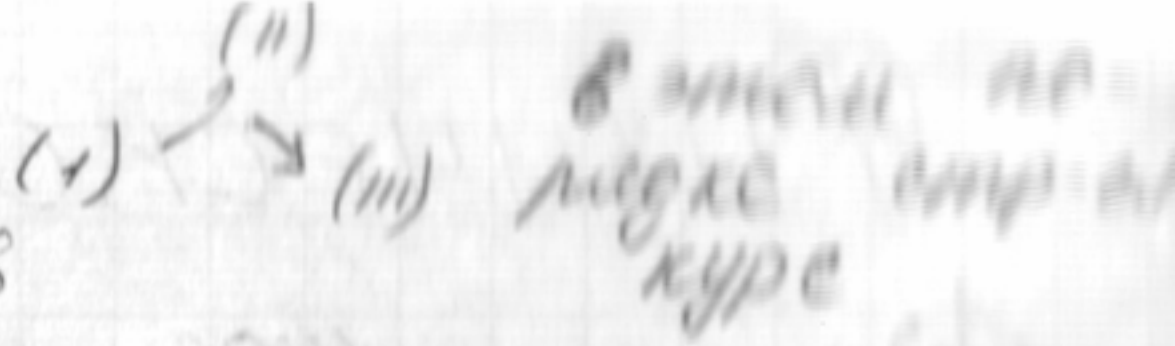
Пример: ЛБВ - релятивистская (машина бегущей волны)



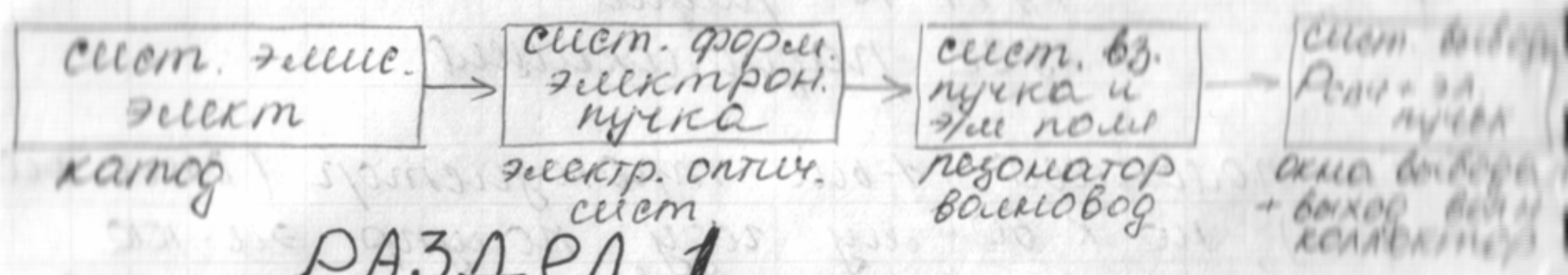
Если разраб. хочет сделать прибор, ему надо решить:

1. Как получить ток I?
2. Как сформиров. пучек? → элект. опт. зад.
3. Как преобраз. эм-ю пучка → эм. свч
4. куда деть пучек + эм волну?

- 1) Элек. эмиссия
- 2) Эи. оптика
- 3) Теория СВЧ приборов



Блок-схема ∇ мощ. эи. прибора.



РАЗДЕЛ 1.

ЭЛЕКТРОННАЯ ОПТИКА

Будем работать в сист. Сн.
 основные константы:

$$e_0 = 1,602 \cdot 10^{-19} \text{ Кл}$$

$$m_0 = 9,108 \cdot 10^{-31} \text{ кг}$$

$$\eta = \frac{e_0}{m_0} = 1,759 \cdot 10^{11} \frac{\text{Кл}}{\text{кг}}$$

$$c = 2,998 \cdot 10^8 \text{ м/с} \quad E - \text{В/м}$$

$$\epsilon_0 = 8,85 \cdot 10^{-12} \text{ Ф/м} \quad B - \text{Т} (10^4 \text{ Гс})$$

Интеграл энергии.

$$\frac{\partial E}{\partial t} = 0 \quad \frac{\partial B}{\partial t} = 0$$

Все сист. котор. формиру. пучки — сист. со стат. полем

$$\vec{r} = \vec{r}(t)$$

$$\vec{E} = \vec{E}(\vec{r}) = \vec{E}(\vec{r}/t)$$

$$\vec{B} = \vec{B}(\vec{r}) = \vec{B}(\vec{r}/t)$$

ур. движения:

$$\frac{d}{dt} m \vec{v} = -e_0 \vec{E} - e_0 [\vec{v}, \vec{B}] / * \vec{v}$$

$$\vec{v} \frac{d}{dt} m \vec{v} = -e (\vec{v}, \vec{E})$$

$$m = \frac{m_0}{\sqrt{1 - \frac{v^2}{c^2}}}$$

полная масса

Преобразуем лев. часть ур-ния:

$$\vec{v} \frac{d}{dt} m\vec{v} = \frac{2m\vec{v}}{2m} \frac{d}{dt} (m\vec{v}) = \frac{1}{2m} \frac{d}{dt} (m\vec{v})^2 \Leftrightarrow$$

с другой стороны $m = \frac{m_0}{\sqrt{1-v^2/c^2}} \Rightarrow$

возведем в квадр. и вычтем из знамен-ль

$$(m\vec{v})^2 - (mc)^2 = -(m_0c)^2 = \text{const}$$

$$\frac{d}{dt} (m\vec{v})^2 = \frac{d}{dt} (mc)^2$$

$$\Leftrightarrow \frac{1}{2m} \frac{d}{dt} (mc)^2 = \frac{2mc^2}{2m} \frac{dm}{dt} = \boxed{\frac{d}{dt} (mc^2)}$$
 лев. часть

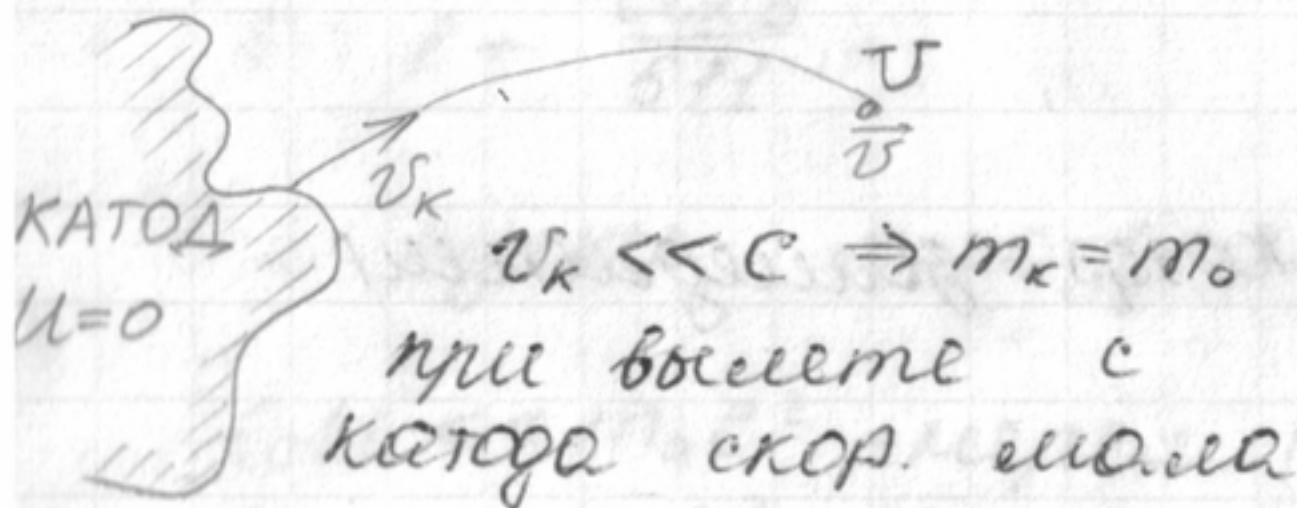
Преобразуем прав. часть: $\frac{\partial}{\partial t} = 0$, $E = -\text{grad} U$

$$\frac{dU}{dt} = \frac{\partial U}{\partial t} + \frac{\partial U}{\partial \vec{r}} \frac{d\vec{r}}{dt} = \boxed{-(\vec{E}, \vec{v})}$$
 прав. часть

$$\Rightarrow \frac{d}{dt} mc^2 = e_0 \frac{dU}{dt}$$

$$\boxed{mc^2 - e_0 U = W = \text{const}}$$
 - интеграл энергии

при движении в электр. полях - такая величина сохр-ся.



$$m_k c^2 - e_0 \cdot 0 = mc^2 - e_0 U$$

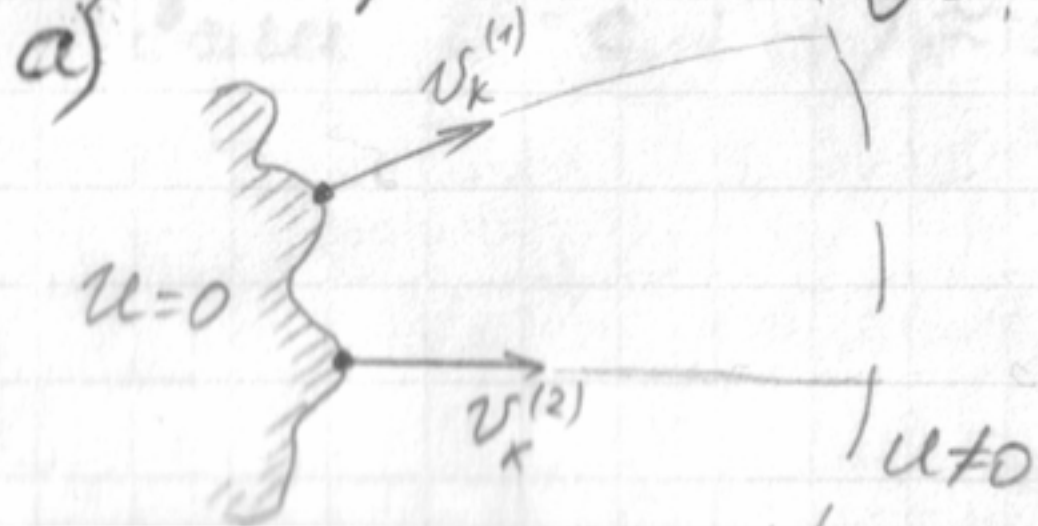
$$(m - m_k) c^2 = e_0 U$$

$$\boxed{(m - m_0) c^2 = e_0 U}$$

окажат. запись
 з. сохр. ЭМ-изм

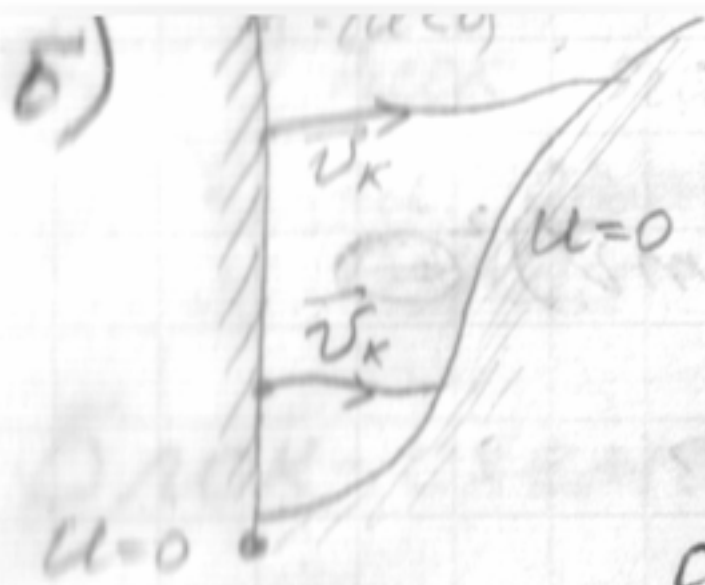
Нормальные пучки.

Примеры:



и вышши и пущми с разной скор-ю.

Эл., котор. попали на одну эквипотенциаль имеют разное модули скор-ти $\rightarrow 0$ скор. мичро ме м. скалата



б) Дел. вылетели с одинак. скор. но на экватор. пришли с разной.

Скор. электр., оказавшиеся на одной и той же экватор-линии,

имеют различ. скор-ти \Rightarrow ничего скаж. те не можем \Rightarrow в дальнейшем рассе-то не будем.

Опр: Нормальный пучок - пучок у которого модуль скор-ти явл-ся одностая. ф-ей потенциала

Вернемся к з.с.э: $m = \frac{m_0}{\sqrt{1 - v^2/c^2}} \approx m_0 (1 + \frac{v^2}{2c^2})$

$$\frac{v}{c} \ll 1, \quad m_k = m_0 (1 + \frac{v_k^2}{2c^2}) \rightarrow (m - m_k) c^2 = eU$$

$$(m - m_0) c^2 = e_0 U$$

$$m_0 \frac{v^2}{2} = e_0 (U + U_0)$$

$$m_0 \frac{v^2}{2} - m_0 \frac{v_k^2}{2} = e_0 U \quad m_0 \frac{v_k^2}{2} = e_0 U_0 \quad \downarrow \text{ф. потенциал}$$

$$v = \sqrt{2\eta(U + U_0)}$$

$$\left. \begin{array}{l} U \sim 100 \text{ В} \\ U_0 \sim 0,1 \text{ В} \end{array} \right\} v = \sqrt{2\eta U}$$

Во многих приборах \exists коэф. замедления для ЛБВ: $\beta = \frac{c}{v}$

Сосчит. β , польз-сь зак. сохр. э-м-ии

$$\beta_0 = \frac{c}{v_{\text{нерелят.}}} = \frac{c}{\sqrt{2\eta U}} = \frac{16}{\sqrt{U_{\text{кВ}}}}$$

$$\beta = \beta_0 \frac{1 + \frac{1}{2} \beta_0^{-2}}{\sqrt{1 + \frac{1}{4} \beta_0^{-2}}} \quad (*)$$

Задача 1: Док, что имеет место ф.ч.о (х)

Uв	0,1	1	10	100	1000	10кВ	100кВ	1МВ
β_0	1600	505	160	50,5	16	5,05	1,6	0,5
β	1600	505	160	50,5	16,02	5,13	1,83	1,06

$$\beta = \frac{c}{v} > 1$$

1) До 100кВ, β_0 и β практи-ки одно и тоже \Rightarrow м. польз. мерен. приби. β_0 не учит. тремт.

2) После 100кВ только β , т.к. напр. 1МВ, $\beta_0 = 0,5 < 1$ - чего быть не может.

Во многих расчетах, где жерми решитив. γ отном. $\gamma = \frac{m}{m_0}$

$$(m - m_0)c = eU \quad /: m_0 c^2$$

$$\frac{m}{m_0} - 1 = \frac{eU}{m_0 c^2}$$

$$\frac{m}{m_0} = \gamma = 1 + \frac{eU}{m_0 c^2}$$

$$\gamma = 1 + \frac{U_{кВ}}{511}$$

Все пучки м. разделить на 3 типа:

$eU \ll m_0 c^2$ - мерен. ($m \approx m_0$)

$eU \sim m_0 c^2$ - рел. пучки ($m \approx (2-5)m_0$)

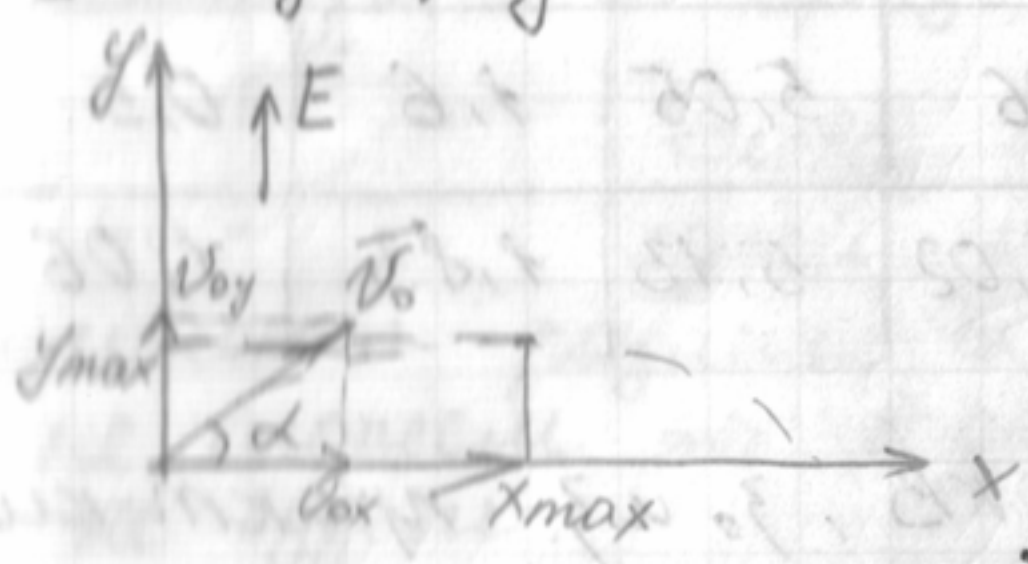
$eU \gg m_0 c^2$ - ультрарел. ($m \gg m_0$)

$$\gamma = \frac{m}{m_0} = \frac{1}{\sqrt{1 - v^2/c^2}} \rightarrow \beta = \frac{c}{v} = \frac{1}{\sqrt{1 - 1/\gamma^2}}$$

$$\text{Если } v = c: \beta \approx 1 + \frac{1}{2\gamma^2}$$

Задача: Движение эл-ов в однород. эл. поле

1° Однород. $E = const$



$\frac{v}{c} \ll 1, t=0: \begin{matrix} x=0 \\ y=0 \end{matrix} \vec{v} = \vec{v}_0$

$y = -\frac{\eta E}{2} t^2 + v_{0y} t$
 $x = v_{0x} t \Rightarrow$

$\Rightarrow t = \frac{x}{v_{0x}}$

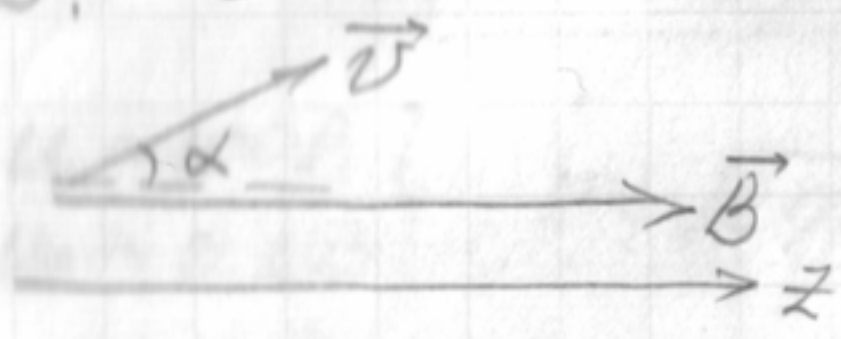
$y = -\frac{\eta E}{2} \frac{x^2}{v_{0x}^2} + \frac{v_{0y}}{v_{0x}} x$

Условие экстремума: $\frac{dy}{dx} = 0$

$x_m = \frac{v_{0y} v_{0x}}{\eta E} \quad y_m = \frac{v_{0y}^2}{2\eta E}$

Задача 2: Рассчитать радиус кривизны движ. электр. (найти траектор.) считая $v_{0y} = 0$
 как и в картинке (ландшафт мира. (теория поля))

2° $B = const$



$F_{\perp} \perp \vec{v} \Rightarrow |\vec{v}| = const \Rightarrow m = const$
 $\frac{d}{dt} m \vec{v} = -e_0 [\vec{v} \vec{B}] \Rightarrow \delta = \frac{m}{m_0}$

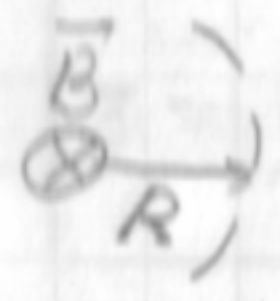
$\Rightarrow \frac{d\vec{v}}{dt} = -\frac{e_0}{m} [\vec{v}, \vec{B}]$

$\vec{v} = \vec{v}_{||} + \vec{v}_{\perp}$

$\frac{d\vec{v}_{||}}{dt} = 0 \Rightarrow v_{||} = const$

$\frac{d\vec{v}_{\perp}}{dt} = -\frac{e_0}{m} [\vec{v}_{\perp}, \vec{B}]$

$\vec{v} = \vec{v}_{||} + \vec{v}_{\perp} \Rightarrow \vec{v} = \sqrt{v_{\perp}^2 + v_{||}^2} = const \Rightarrow |\vec{v}_{\perp}| = const$



Ускорение: $a = \left| \frac{d\vec{v}_{\perp}}{dt} \right| = \sqrt{a_{\tau}^2 + a_n^2}$

$|a_{\tau}| = \frac{d}{dt} |v_{\perp}| = 0$

$\Rightarrow a = a_n$

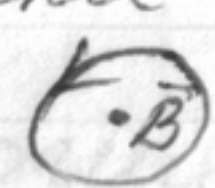
$$a_n = \frac{v_{\perp}^2}{R} = \frac{e_0}{m} v_{\perp} B$$

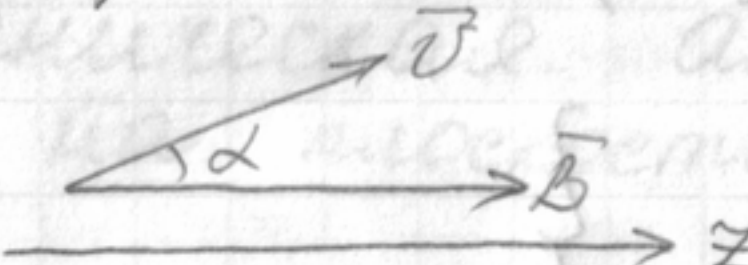
$$R = \frac{v_{\perp}}{\frac{e_0}{m} B} = \text{const}$$

$$\boxed{\omega_c = \frac{e_0}{m} B} \text{ - циклотр. частота}$$

$$\frac{v}{c} \ll 1 \rightarrow v_{\text{ср}} = \eta B$$

т.о. движение происх. в 2-х видах:
 движение ведущего центра (равномер.
 прямолинейн. д-ие) + вращение: 

Задача 3: Показать, что вращ. эл-на происх.
 против час. стрелки если маг.
 поле смотрит на нас. 

Пример:  $\alpha = 30^\circ$
 $U = 1000 \text{ В}$

$$B = 1000 \text{ Гс} = 0,1 \text{ Т}$$

Найдем основ. хар. - частоту, шаг, ...

$$m = m_0 \quad \omega_c = \eta B = 1,76 \cdot 10^{11} \cdot 0,1 = 1,76 \cdot 10^{10}$$

$$v = \frac{\omega_c}{2\pi} = 3 \cdot 10^9 \text{ Гц} \quad (\lambda = 10 \text{ см})$$

$$\text{Замедление: } \gamma = \frac{16}{\sqrt{1 - \beta^2}} = 16$$

$$v = \frac{c}{\gamma} = \frac{3 \cdot 10^8}{16} \approx 2 \cdot 10^7$$

$$\text{Колонн. скор-ти: } v_{\perp} = v \sin \alpha = 2 \cdot 10^7 \cdot \frac{1}{2} = 10^7 \text{ см/с}$$

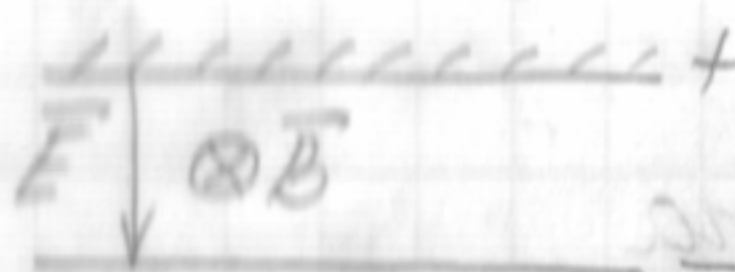
$$v_{\parallel} = v \cos \alpha \approx 1,7 \cdot 10^7 \text{ см/с}$$

$$R = \frac{v_{\perp}}{\omega_c} = \frac{10^7}{1,76 \cdot 10^{10}} = 0,6 \text{ мкм} \text{ - радиус вращения}$$

$$h = v_{\parallel} T_c = 6 \text{ мкм} \text{ - шаг}$$

3° Движение в скрещенных полях.

$$E = \text{const} \quad B = \text{const} \quad \vec{E} \perp \vec{B}$$



$$\frac{d}{dt} m\vec{v} = -e\vec{E} - e[\vec{v}, \vec{B}]$$

$$\frac{v}{c} \ll 1;$$

$$\frac{d\vec{v}}{dt} + \eta[\vec{v}, \vec{B}] = -\eta\vec{E}$$

$$\vec{v} = \dot{\vec{r}} = \frac{d\vec{r}}{dt}$$

$$\boxed{\ddot{\vec{r}} + \eta[\dot{\vec{r}}, \vec{B}] = -\eta\vec{E}}$$

решение ищем как Σ о.о. и ч.н.

$$\vec{r} = \vec{r}_{\text{общ}} + \vec{r}_d \quad (\vec{r}_{\text{общ}} - \text{решен. в пред. зад.})$$

$$\ddot{\vec{r}} + \eta[\dot{\vec{r}}, \vec{B}] = -\eta\vec{E}$$

$$\vec{r} = \vec{r}_{\text{общ}} + \vec{r}_d \Rightarrow \vec{v} = \vec{v}_{\text{общ}} + \vec{v}_d$$

б. искать частное реш., такое, чтобы скор. была const

$$\dot{\vec{r}}_d = 0 \quad \vec{v}_d = \text{const}$$

$$[\vec{v}_d, \vec{B}] = -\vec{E} \parallel \vec{B}$$

$$[\vec{B}, [\vec{v}_d, \vec{B}]] = -[\vec{B}, \vec{E}] = [\vec{E}, \vec{B}], \text{ раскр. 2-е вект. произ.}$$

$$\vec{v}_d B^2 - \vec{B}(\vec{v}_d, \vec{B}) = [\vec{E}, \vec{B}]$$

б. искать не просто const, но и $\vec{v}_d \perp \vec{B}$

$$(\vec{v}_d, \vec{B}) = 0$$

$$\text{т.о. } \vec{v}_d = \frac{[\vec{E}, \vec{B}]}{B^2}$$

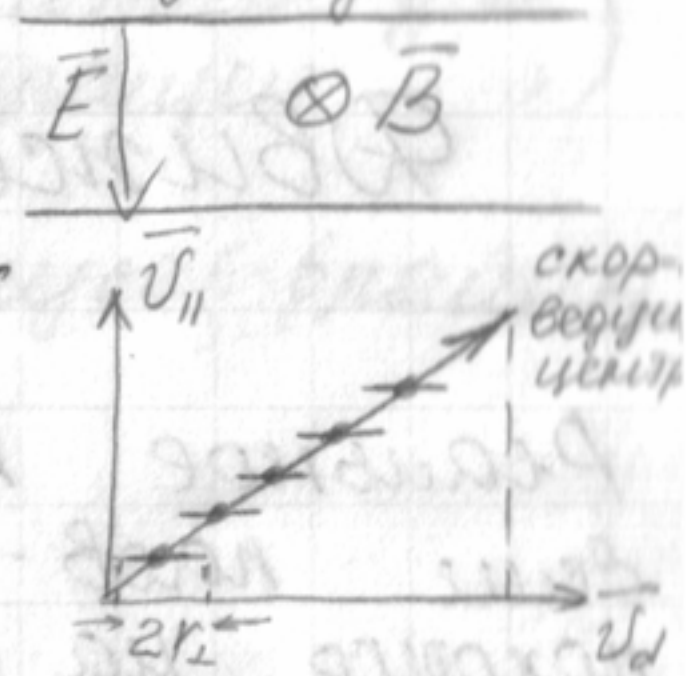
т.е. поле статич. $\rightarrow v = \text{const}$
а т.к. \exists вект. произ. $\rightarrow v_d \perp B$

$$E \perp B, \quad v_d = \frac{E}{B} - \text{модуль скорости}$$

частное реш: v_d - дрейфовая скор-ть
 А у нас есть еще и общее реш. $\Rightarrow \vec{e}$ движет по вектов. линии и + смещается $\perp E$ и B

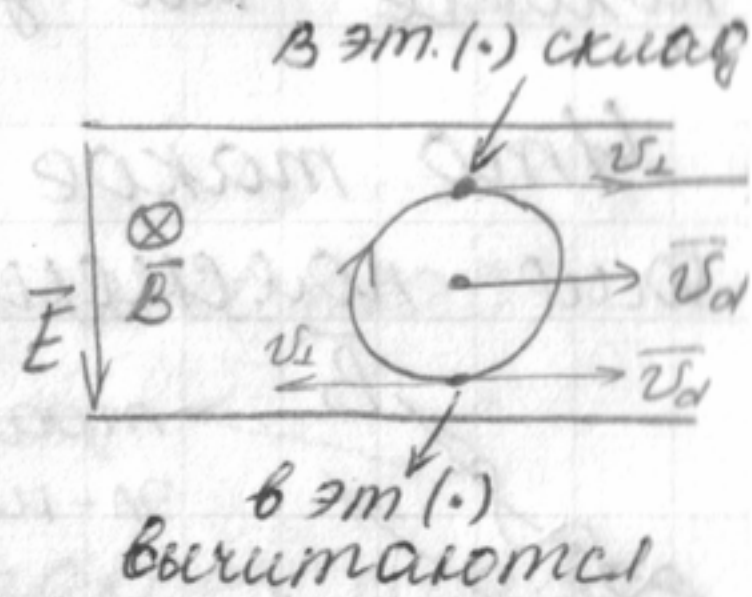
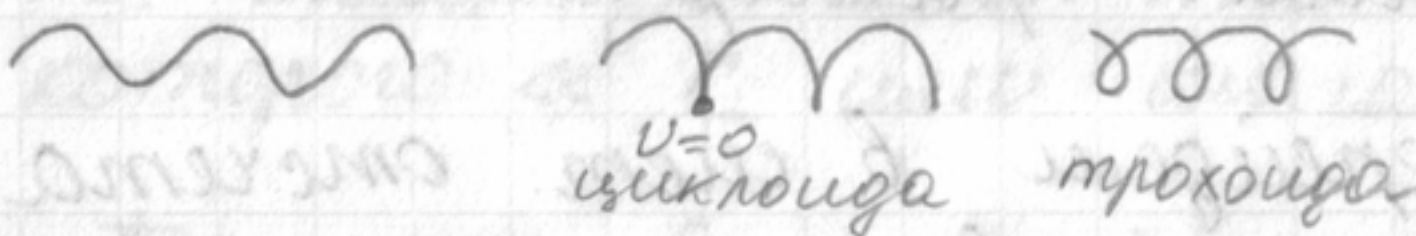
Тогда $\vec{v} = \vec{v}_{||} + \vec{v}_d + \vec{v}_{\perp}$
 $\vec{v}_{||}$ - в-е ведущие-го центра, \vec{v}_d - дрейфовая, \vec{v}_{\perp} - вращение

нарисуем проекции: вид сверху: $\vec{E} \otimes \vec{B}$



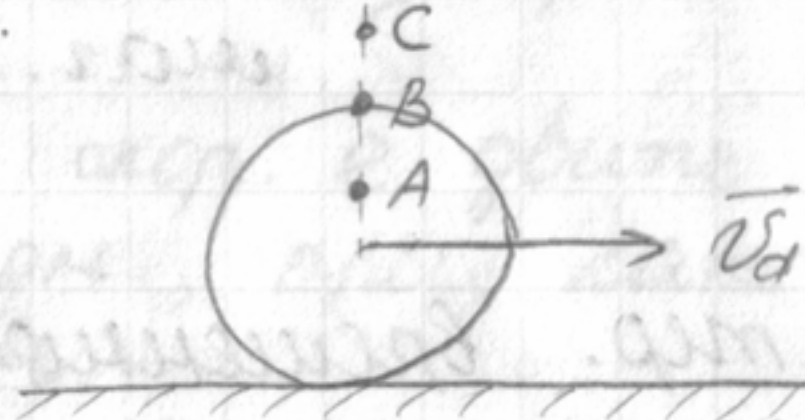
Как б. движ. \vec{e} в зав-ти от скоростей:

$v_d > v_{\perp}$? $v_{\perp} = v_d$ $v_d < v_{\perp}$ вид сбоку:

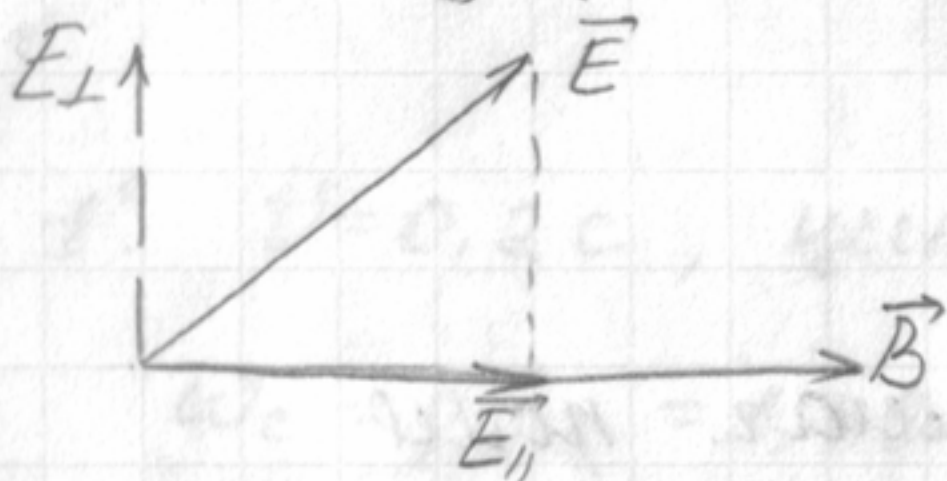


↑ Механическая аналогия: колесо на плоскости:

- \Rightarrow (.) A движет $\sim \mathcal{W}$
- (.) B движет $\sim \mathcal{M}$
- (.) C движет $\sim \mathcal{D}$



Пусть поле не скрещенные:
 (поле под углом к магнитному)



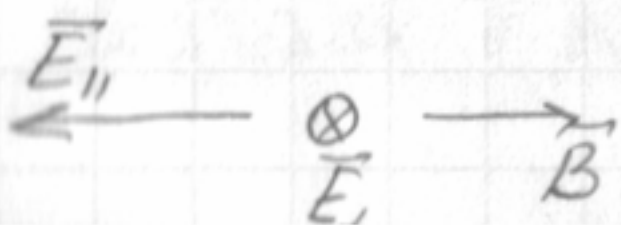
$$\vec{E} = \vec{E}_{||} + \vec{E}_{\perp}$$

$$\frac{d\vec{v}_{||}}{dt} = -\eta \vec{E}_{||}$$

$$\frac{d\vec{v}_{\perp}}{dt} = -\eta \vec{E}_{\perp} - \eta [\vec{v}_{\perp} \vec{B}]$$

т.о. движет. раскл. на 2 - скрещен. полях + равноускор-е

$$\vec{v} = \vec{v}_{||0} + \vec{v}_{||уск.} + \vec{v}_d + \vec{v}_{\perp}$$



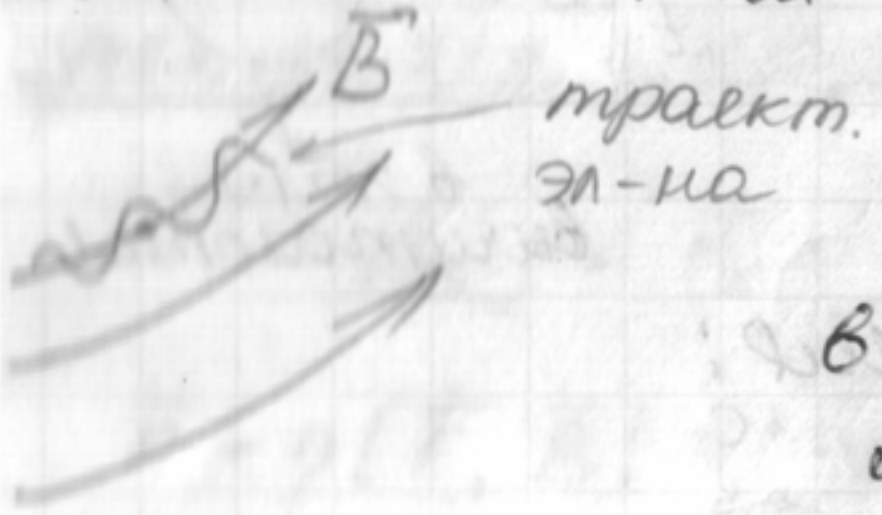
Движе. \vec{e} во всех этих задачах (когда есть однород. м. п.) и предст Σ простых: движение веруц. центра + вращение.

Движение в слабых неоднород. полях.

Реальное поле всегда неод-но; если наев-ся слабоодн-ть, то д.в. \vec{e} д.в. похоже на движе. в однород. полях.

Что такое слабооднород. поле?

Для пояснения рассмотрим пример:



Перейдем в сист. отсчета связан. с ведущим центром в этой сист. \vec{e} ведет перем. маг. поле.

$$\frac{d\vec{B}}{dt} \neq 0$$

Характер. временной масштаб - это циклотрон. период.

$$T_c = \frac{2\pi}{\omega_c}$$

Условие слабой неоднород-ти или медленности измен. поля во времени:

$$T_c \left| \frac{dF_i}{dt} \right| \ll F_i \quad (*)$$

F_i - \forall компон. элект. или маг. поле
знаем $\vec{v} = \vec{v}_{||} + \vec{v}_{\perp}$

Рассмотрим 2 случая:

1. $v_{\perp} \gg v_{||}$, $|\vec{v}_{\perp}| \approx |\vec{v}|$

$$\vec{v} = \frac{d\vec{r}}{dt}, \quad dt = \frac{dr}{v} = \frac{dr}{v_{\perp}} \quad \text{подстав } dt \text{ в } (*)$$

$$T_c \left| \frac{dF_i}{dr} \right| v_{\perp} = \underbrace{T_c v_{\perp}}_{\text{нумеро за циклот. период } 2\pi r_{\perp}} \left| \frac{dF_i}{dr} \right| = 2\pi r_{\perp} \left| \frac{dF_i}{dr} \right| \ll F_i$$

$$\Rightarrow r_{\perp} \left| \frac{dF_i}{dr} \right| \ll F_i \quad (\text{хар-ойи масштаб г.б.} \ll \text{радиуса вращения})$$

поле г. слабо меняется на радиусе вращения

$$2. v_{\parallel} \gg v_{\perp}$$

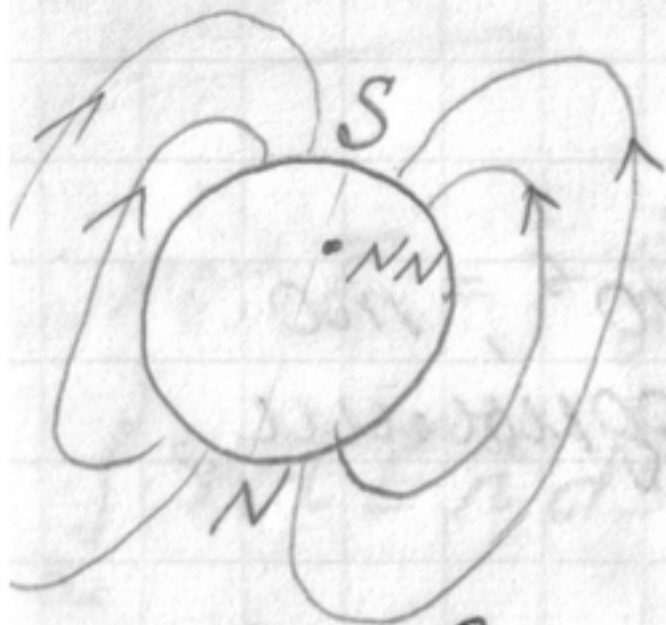
$$dt = \frac{dr}{v_{\parallel}}$$

$$\frac{T_c v_{\parallel}}{h} \left| \frac{dF_i}{dr} \right| \ll F_i$$

$$h \left| \frac{dF_i}{dr} \right| \ll F_i$$

Т.о. слабонеодн. поле - это поле, масштаб которого $\ll r_{\perp}$ или шага h

Пример: (характ-и что же такое слабонеодн. и сильноеоднор. поле)



При какой скор. \vec{e} движение проис. в слабонеодн., при какой - в сильноеодн.

$$L_B \sim \frac{B}{\frac{dB}{dr}}$$

Масштаб маг. п. (диаметр Зем.)

$$L_B \approx D \approx 10^4 \text{ км} = 10^7 \text{ м}$$

$$B_3 = 0,2 T_c = 2 \cdot 10^5 \text{ Т}$$

1°. $v = 0,2 \text{ с}$, циклотр. частота:

$$\omega_c = \eta B_3 = 1,76 \cdot 10^{11} \cdot 2 \cdot 10^5 \approx 3 \cdot 10^6$$

$$r_{\perp} = \frac{v}{\omega_c} = \frac{0,2 \cdot 3 \cdot 10^8}{3 \cdot 10^6} = 20 \text{ м}$$

$$\underline{r_{\perp} \ll L_B} \rightarrow \text{адиаб. поле}$$

Слабонеоднород. поле - это адиабатич. поле

2° $v = 0,995c$ (решетив. эл-н)

$$\gamma = \frac{1}{\sqrt{1 - \frac{v^2}{c^2}}} = 10$$

$$\omega_c = \frac{e}{m} B = \frac{e}{m_0} \frac{m_0}{m} B = \gamma \frac{B}{\gamma} = 3 \cdot 10^5$$

$$r_{\perp} = \frac{c}{\omega_c} = \frac{3 \cdot 10^8}{3 \cdot 10^5} = 10^3 \text{ м} \ll L_B \rightarrow$$

далее при такой скор. дв. б. адиабатич.

3° $\gamma = 10^5$ (ультрарешетив. эл-н)

$$\gamma = 1 + 2U_{MB}$$

$$U_{MB} = \frac{\gamma - 1}{2} = 5 \cdot 10^4 \text{ МВ}$$

$$\omega_c = \frac{2B}{\gamma} = \frac{3 \cdot 10^6}{10^5} = 30$$

$$r_{\perp} = \frac{c}{\omega_c} \approx 10^7 \text{ м} \approx L_B$$

Т.о. в мал. поле заныш если $\gamma < 10^5$, то поле м. считать слабоднородным, если $\gamma \geq 10^5$ - сильноднород. поле.

• Трехшества разделяем на слабо- и сильноднородное!



$$\left. \begin{aligned} \vec{F} &= \vec{F}_{\parallel} + \vec{F}_{\perp} \\ \vec{v} &= \vec{v}_{\perp} + \frac{d\vec{R}}{dt} \end{aligned} \right\}$$

медленные: $\vec{R}(t)$, $\frac{d\vec{R}}{dt}(t)$, $|\vec{F}_{\perp}(t)|$, $|\vec{v}_{\perp}(t)|$

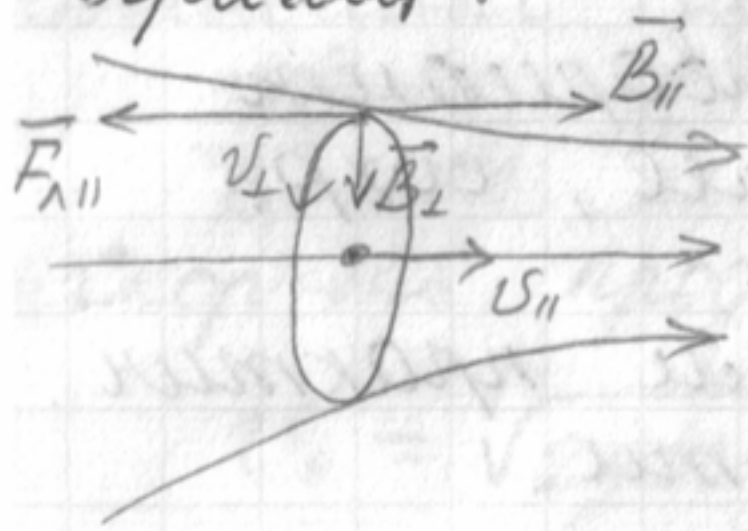
быстрые: \vec{F}_{\parallel} , \vec{v}_{\parallel}

Для описания медлен. ф-ий м. использовать метод усреднений (т.е. д. рассмотреть (магнитер) такую величину:

$\vec{R}(t) = \frac{1}{c} \int_t^{t+1/c} \vec{r}(t) dt$, тогда м. ввести радиус-вект. соот. вращ. (и др. скор-еи)

попроб. опис-ть движ. соот-цее вращению:

Пример: $\vec{B} = \vec{B}_{||} + \vec{B}_{\perp}$, т.о. пойдет в соот. силы Лоренца:

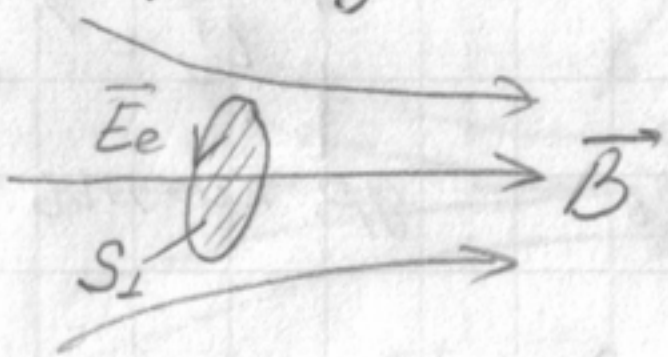


$F_{||} = -e_0 [\vec{v}_{\perp} \vec{B}_{\perp}]$ - б. тормозит продольн. движ-е

Но с другой стороны $v_{||}^2 + v_{\perp}^2 = 2\gamma u = \text{const}$ (3. в. э.м)

$v_{\perp} = v_{\perp}(B)$?

Переходим к рассмотр. вращению:



$\frac{dB}{dt} \neq 0$ Если \vec{e} видит перемещ. маг. п., то возник. еще вихревое э. п.

$\text{rot } \vec{E} = -\frac{\partial B}{\partial t}$ - прощит. по площ. S_{\perp}

$\int_{S_{\perp}} \text{rot } \vec{E} \vec{n} dS = - \int_{S_{\perp}} \left(\frac{\partial B}{\partial t} \right) dS \Rightarrow$

$\oint E_e dl = - \int \frac{\partial B}{\partial t} dS$

б. считать что поле слабонеоднор. \Rightarrow внутри площ. S_{\perp} м. счит. поле однород.

$2\pi r_{\perp} E_e = - \frac{dB}{dt} \pi r_{\perp}^2$
 $\oint E_e dl = - \int \frac{\partial B}{\partial t} dS \Rightarrow \boxed{E_e = - \frac{r_{\perp}}{2} \frac{dB}{dt}}$ - вихревое поле

попроб. в ур. движ., опис. движ. по окр:

$\frac{d(mv_{\perp})}{dt} = -e_0 E_e = e_0 \frac{r_{\perp}}{2} \frac{dB}{dt}$, \vec{p}_{\perp} - импульс

$r_{\perp} = \frac{v_{\perp}}{\omega c} = \frac{v_{\perp}}{\frac{e_0}{m} B} = \frac{mv_{\perp}}{e_0 B} = \frac{p_{\perp}}{e_0 B}$

Если подем. в ур. движения:

$$\frac{dP_{\perp}}{dt} = \frac{e_0}{2} \frac{P_{\perp}}{e_0 B} \frac{dB}{dt}; \quad \boxed{\frac{2dP_{\perp}}{dt} = \frac{dB}{B}} \Rightarrow$$

$$\ln P_{\perp}^2 = \ln B + \ln C \Rightarrow \boxed{\frac{P_{\perp}^2}{B} = \gamma_{\perp} = \text{const}}$$

γ_{\perp} - поперечный адиабатический инвариант т.е. когда е движ. в адиаб. поле, сохр. поперечн. адиаб. инвар.

Если знаем γ_{\perp} , то \Rightarrow знаем практич. пошное числ-е движ. по скр-ти.

$v \ll c$, $\gamma_{\perp} = \frac{v_{\perp}^2}{B} = \text{const}$

$$\frac{v_{\perp}^2}{B} = \frac{v_{\perp 0}^2}{B_0} \Rightarrow \boxed{v_{\perp} = v_{\perp 0} \sqrt{\frac{B}{B_0}}}$$

т.е. м. найти скор. v_{\perp} в А В "0"-м-тб др. м-тб

Найдем радиус вращ.: $r_{\perp} = \frac{v_{\perp}}{\omega_c} \quad \omega_c = \gamma B$

т.е. получим, что для вращ. движ. все решается аналитически (диф. ур. нет).

Описание движения ведущего центра

$\frac{d\vec{R}}{dt} = ?$ приближе слабого поля

Пусть $v \ll c$ (перемет. движ-ие), т.е. $\frac{v}{c} \ll 1$ и $v_d = \frac{E}{B} \ll v_{\perp}$

Если применить метод усреднения: то получим выражение:

$$\frac{d\vec{R}}{dt} = \underbrace{v_{\parallel} \frac{\vec{B}}{B}}_I + \underbrace{\frac{[\vec{E}, \vec{B}]}{B^2}}_{II} - \underbrace{\frac{v_{\perp}^2 + 2v_{\parallel}^2}{2\gamma B^3} [\vec{B}, \text{grad} \vec{B}]}_{III}$$

т.е. получ-сь диф. ур. по 1-го порядка что из себя придет. капец. слабое.

- I - опис-т движение вдоль магн. силовой линии
- II - движение в скрещен. полях
- III - градиентной дрейф.

Как вычислить прав. часть?

Вычислим адiab. инвар-т:

$$\frac{v_{\perp}^2}{B} = \mathcal{I}_{\perp} \Rightarrow v_{\perp} = \sqrt{B \mathcal{I}_{\perp}}$$

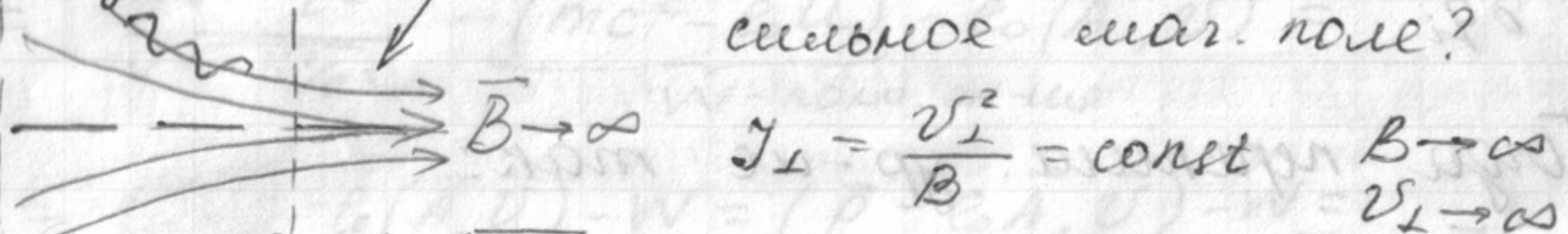
Скор-ть прод. дв-ия: $v_{\parallel}^2 + v_{\perp}^2 = 2\eta u \Rightarrow$

$$v_{\parallel} = \sqrt{2\eta u - v_{\perp}^2} = \sqrt{2\eta u - B \mathcal{I}_{\perp}}$$

Скор-ти опр-ные \Rightarrow прав. часть знаем

спешим-ищем м.п. спонт. прех. мерл. м. м. \vec{e} войти в ∞ сильное маг. поле?

Задача:



$$v_{\perp} = v = \sqrt{2\eta u} \text{ но с др. скор. } v_{\perp} \leq v = \sqrt{2\eta u} = \text{const}$$

\Rightarrow скор. элек. не м. превысит $v_{\perp} \Rightarrow$

доходя до плоскости $v_{\perp} = v = \sqrt{2\eta u}$ - он развер-а в принципе, если магн. \vec{e} вдоль оси симметр. и без вращ. то он м. пролетит в сильн. маг. поле, но в реальности всегда есть какое-то вращение.

Т.о. получаем магнитное зеркало. также с-мы, где \vec{e} отраже-н наз. маг. зеркалами

Ур-ие Лагранжа для движе-ия заряж. частиц в \vec{e}/m поле.

$$L(q_1, q_2, q_3 \dots; \dot{q}_1, \dot{q}_2 \dots \dot{q}_n)$$

$$\dot{q}_i = \frac{dq_i}{dt}$$

$\frac{d}{dt} \frac{\partial L}{\partial \dot{q}_i} - \frac{\partial L}{\partial q_i} = 0$ - след. этих ур-ий (ур-и Лагранжа) опис-ет движение нашей с-мы

$n=3$ - число степеней свободы.

$i=1, 2, 3$ введем единич. орты: $\vec{i}_1, \vec{i}_2, \vec{i}_3$

Подставим на эти в-ра $\nabla_{\vec{q}}$ и получим

$$\frac{d}{dt} \left[\vec{i}_1 \frac{\partial L}{\partial \dot{q}_1} + \vec{i}_2 \frac{\partial L}{\partial \dot{q}_2} + \vec{i}_3 \frac{\partial L}{\partial \dot{q}_3} \right] - \left[\vec{i}_1 \frac{\partial L}{\partial q_1} + \vec{i}_2 \frac{\partial L}{\partial q_2} + \vec{i}_3 \frac{\partial L}{\partial q_3} \right] = 0$$

$\nabla_{\vec{v}} L = \vec{P}$ - обобщ. импульс

$\nabla_{\vec{q}} L = \vec{F}$ - обобщ. сила

$$\frac{\partial L}{\partial \dot{q}_i} = p_i$$

$$\frac{\partial L}{\partial q_i} = F_i$$

Тогда перепис. ур-ие так:

$$\frac{d\vec{P}}{dt} - \vec{F} = 0$$

\vec{P} - обобщ. имп.
 \vec{F} - обобщ. сила

получим ур-ие Ньютона для обобщ. имп-са и обобщ. силы

Главное - знать ф-ию Лагранжа

Как вычислить ф-ию Лагранжа?

если $\frac{v}{c} \ll 1$ $B=0$

$$L = T - U$$

Узна ф-ию Лагр. в такой: (если есть м.п. и произвольное др-ие)

$$L = -m_0 c^2 \sqrt{1 - \frac{v^2}{c^2}} + e_0 U - e_0 (\vec{A}, \vec{v})$$

зад: Показать, что при подст-ке ф-ии Лагр. в ур. Лагр. мы получим ур-ие др-ия:

$$\frac{d}{dt} m \vec{v} = -e_0 \vec{E} - e_0 [\vec{v}, \vec{B}]$$

$B = \text{rot } A$
 $E = -\text{grad } \phi - \dot{A}$

Реш: Выразим \vec{p} -ую Лагр. ч/з обобщ. шип.

$$\vec{p} = \frac{\partial L}{\partial \vec{v}} = \frac{\partial L}{\partial v} \frac{\vec{v}}{v} = \frac{-m_0 c^2}{2\sqrt{1-\frac{v^2}{c^2}}} \left(-\frac{2v}{c^2}\right) \frac{\vec{v}}{v} - e_0 \vec{A} =$$

$$= \frac{m_0 \vec{v}}{\sqrt{1-\frac{v^2}{c^2}}} - e_0 \vec{A} = m \vec{v} - e_0 \vec{A} = \vec{p} - e_0 \vec{A} \quad \text{выразим сначала обобщ. шип. ч/з обычн.}$$

$$\boxed{\vec{P} = \vec{p} + e_0 \vec{A}}$$

Теперь выразим \vec{p} -ую Лагр. ч/з шипульс:

$$L = \underbrace{-m_0 c^2 \sqrt{1-\frac{v^2}{c^2}} + \frac{m_0 c^2}{\sqrt{1-\frac{v^2}{c^2}}}}_{\text{группируем}} - \frac{m_0 c^2}{\sqrt{1-\frac{v^2}{c^2}}} + e_0 \psi - e_0 (\vec{A}, \vec{v}) =$$

$$= \frac{m_0 c^2 \frac{v^2}{c^2}}{\sqrt{1-\frac{v^2}{c^2}}} - \underbrace{(m_0 c^2 - e_0 \psi)}_{W - \text{полн. энт-ия}} - e_0 (\vec{A}, \vec{v}) =$$

$$= (\vec{p}, \vec{v}) - e_0 (\vec{A}, \vec{v}) - W = (\vec{p} - e_0 \vec{A}, \vec{v}) - W =$$

$$= (\vec{P}, \vec{v}) - W$$

$$\boxed{L = (\vec{P}, \vec{v}) - W}$$

если $\frac{v}{c} \ll 1$ $\vec{P} = m_0 \vec{v} - e_0 \vec{A}$

(переходим к случаю)
 $W = m_0 \frac{v^2}{2} - e_0 \psi$

$$L = (m_0 \vec{v} - e_0 \vec{A}, \vec{v}) - \left(\frac{m_0 v^2}{2} - e_0 \psi\right) = \frac{m_0 v^2}{2} + e_0 \psi - e_0 (\vec{A}, \vec{v})$$

эта φ -иа точнее пригодится. (*)

Теорема Буша:

пусть есть аксиал.-симм. система статич. поле. Хотим узнать улов. спор \vec{e} в этом поле.

$$z \frac{\partial}{\partial \varphi} = 0$$

$$V_r = \frac{dr}{dt} = \dot{r}$$

$$V_\varphi = r \frac{\partial \varphi}{\partial t} = r \dot{\varphi}$$

$$V^2 = \dot{r}^2 + \dot{z}^2 + (r \dot{\varphi})^2$$

и подставим в ур. Лагр. (*)

$$L = \frac{m_0}{2} (\dot{r}^2 + \dot{z}^2 + (r \dot{\varphi})^2) + e_0 U - e_0 (A_r \dot{r} + A_z \dot{z} + A_\varphi r \dot{\varphi})$$

$$\frac{d}{dt} \frac{\partial L}{\partial \dot{\varphi}} - \frac{\partial L}{\partial \varphi} = 0 \quad \text{— для } \varphi \text{ координат}$$

(т.к. симметр, то к-та φ — циклич.)

$$P_\varphi = \frac{\partial L}{\partial \dot{\varphi}} = \text{const} \quad P_\varphi = m_0 r^2 \dot{\varphi} - e_0 r A_\varphi = \text{const} \quad (1)$$

вычтем мал. поток.



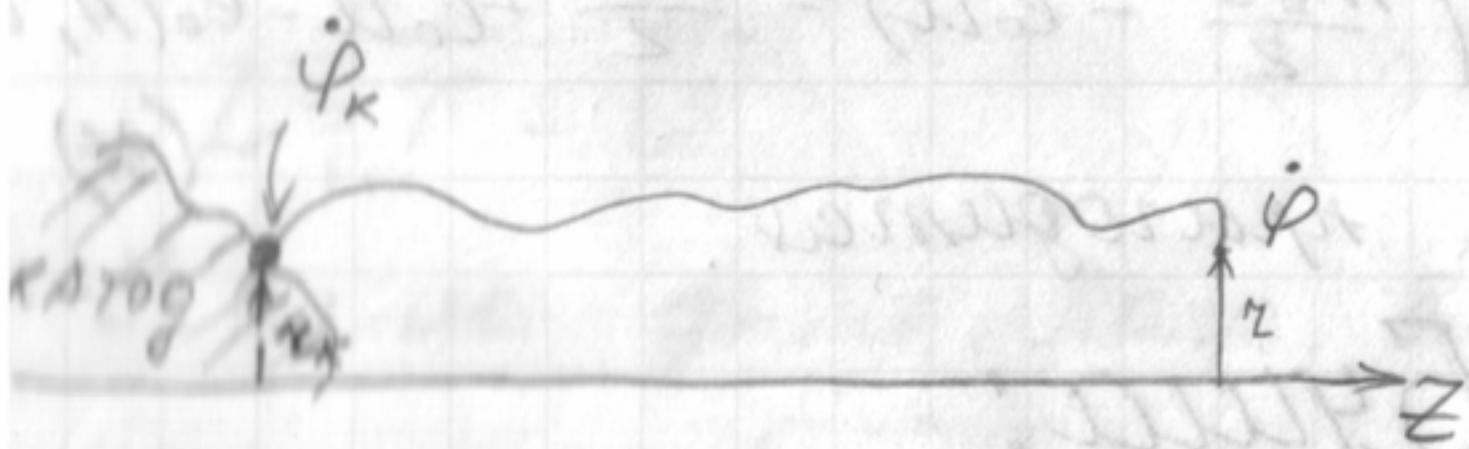
Рассм. круг. радиуса r
поток Ψ через него:

$$\Psi = \int_S B_n dS = \int_S r \omega t A_n dS = \oint_{L\text{-контур}} A_\varphi dl = A_\varphi \cdot l = A_\varphi 2\pi r$$

$$\rightarrow r A_\varphi = \frac{\Psi}{2\pi} \quad \text{— подставим в (1):}$$

$$P_\varphi = m_0 r^2 \dot{\varphi} - \frac{e_0 \Psi}{2\pi} = \text{const}$$

Т.к. интересуемся эл-ми пучками, то где-то есть катод, с котор. вылетают частицы:



Стартует из $z=0$ с азимут. ск-ю $\dot{\varphi}_k$
в конце — $\dot{\varphi}$, r

$$m_0 r_k^2 \dot{\varphi}_k - \frac{e_0}{2\pi} \Psi_k = m_0 r^2 \dot{\varphi} - \frac{e_0}{2\pi} \Psi, \quad \text{отсюда}$$

$$\dot{\varphi} = \dot{\varphi}_k \frac{r_k^2}{r^2} + \frac{\eta (\Psi - \Psi_k)}{2\pi r^2}$$

— это и есть теор. Буша.

эта формула всегда

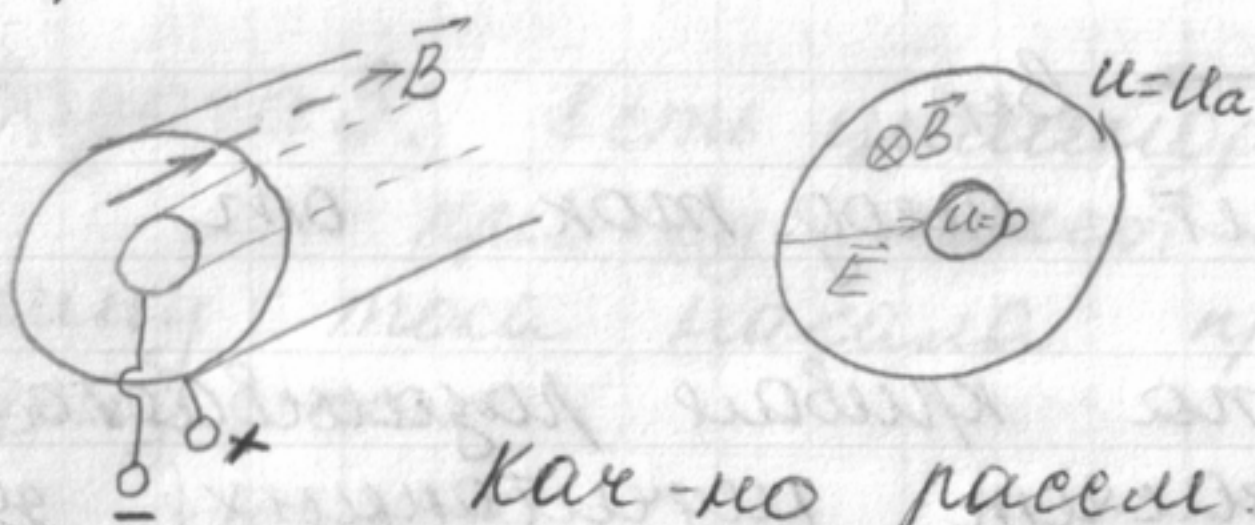
$\Psi_k = 0$ - условная скор.-тв. на катоде = 0
соотв.-щая темп. дб-ию

⇒ окончат. теор. Буша:

$$\dot{\Psi} = \frac{\eta(\Psi - \Psi_k)}{2\pi\gamma^2}$$

Критич. режим работы магнетрона.

Простейшие модели магнетрона:



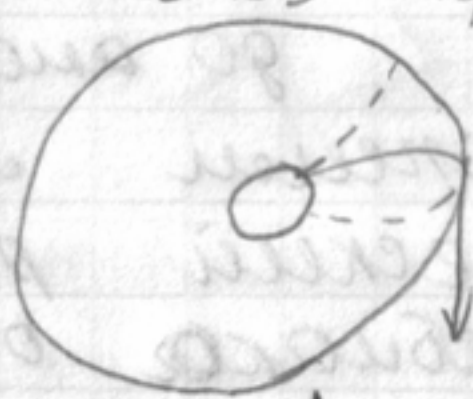
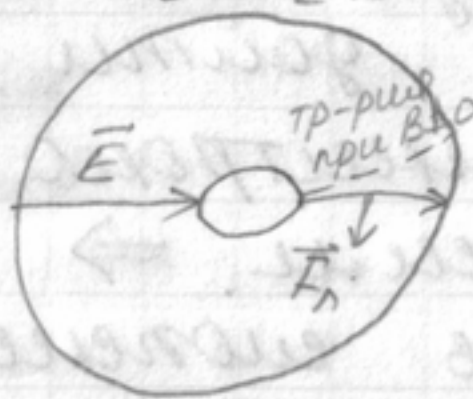
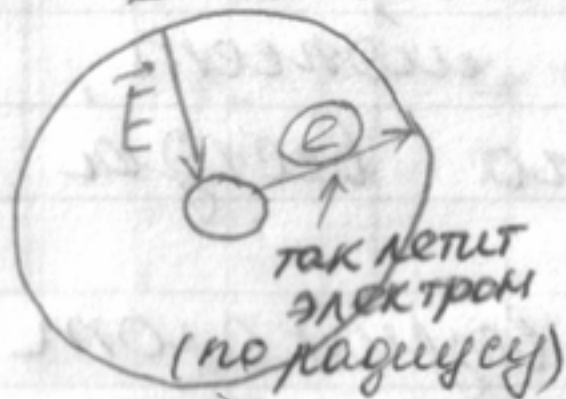
Как-то расем, что тут и. быть, какие варианты движения, возможны?

$B = B_1 = 0$

$B = B_2 \neq 0$

$B = B_3 = B_{кр}$

- критич. режим



- траект. касается (v-чисто азимут-ал)

до критич. режим

с ув-ии в тр-ции все больше б. откл-ся и в конце концов

если еще увеличим B:

$B = B_4$



- закрытый режим

тр-ция похожа на циклоиду, но это не она, и она не обяз-но замкн-ся

Найдем связь м.у анодным потенциалом U_a и величиной маг. поля B :

НА АНОДЕ: $v = v_{\dot{\Psi}} = \gamma_a \dot{\Psi}_a = \sqrt{2\eta U_a}$

$$\dot{\Psi}_a = \frac{\eta(\Psi_a - \Psi_k)}{2\pi\gamma_a^2}$$

- общ. ф-ла катода

$$\Psi_a = \pi\gamma_a^2 B$$

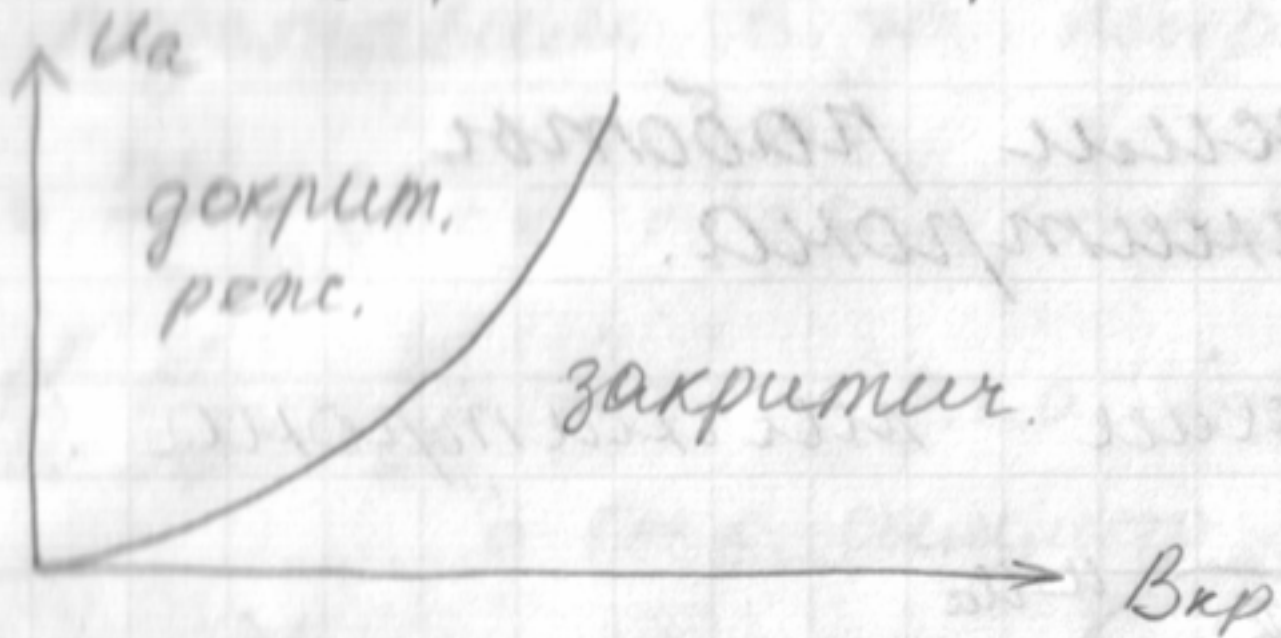
$$\Psi_k = \pi\gamma_k^2 B$$

$$\dot{\Psi}_a = \frac{\eta(\pi\gamma_a^2 B - \pi\gamma_k^2 B)}{2\pi\gamma_a^2} = \frac{\eta B}{2} \left(1 - \frac{\gamma_k^2}{\gamma_a^2}\right) \rightarrow v \dot{\Psi}$$

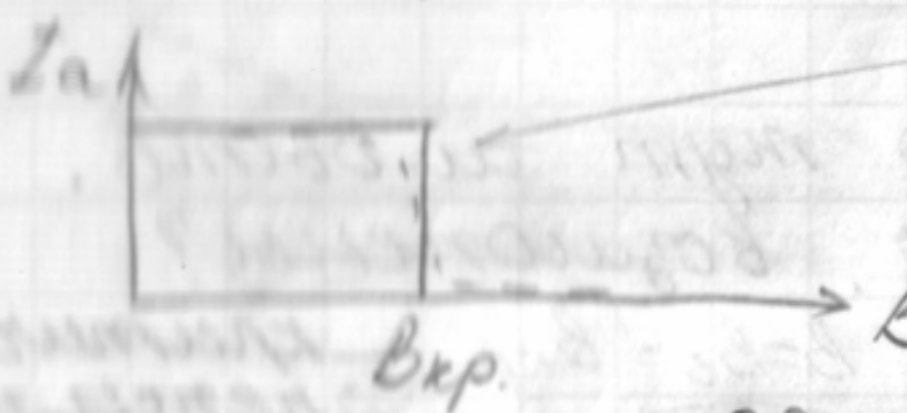
$$\frac{\gamma_a \gamma_B}{2} \left(1 - \frac{\gamma_K^2}{\gamma_a^2}\right) = \sqrt{2\eta U_a}$$

$$U_a^{кр} = \frac{\eta V_{кр}^2 \gamma_a^2}{8} \left(1 - \frac{\gamma_K^2}{\gamma_a^2}\right)^2$$

если изобр-ть граф-ки, то в парабола



Рассм. как зависит амод. ток от маг. поле:



эта кривая размывается (засчет мучительных тепловых скор-тей) — думаю ли правильно

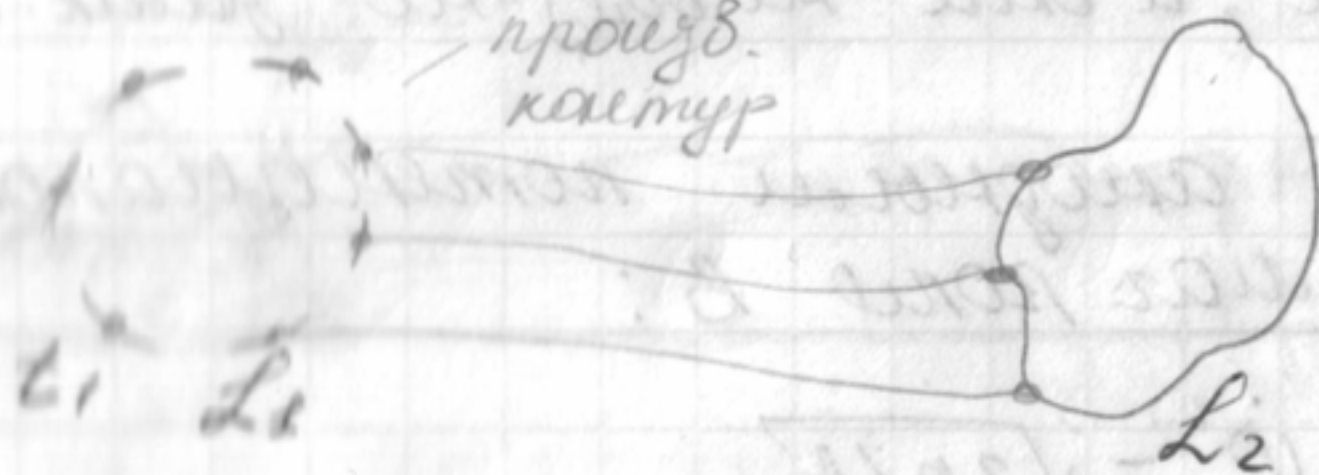
когда поле = критич, эл-н до анода дойти не может,

Рабоч. режим магнетрона это всегда закрытый режим. \Rightarrow

эл-ное облако очень плотное, возникают колебания \Rightarrow размытие более сильное, чем только для тепл. ск-тей

Инвариант Ляпунакаре.

произв. контур



Пусть есть ам-та с амбл эл-ов и они в контуре.

При этом сохр-ся:

$$\oint \vec{R} d\vec{l} = const$$

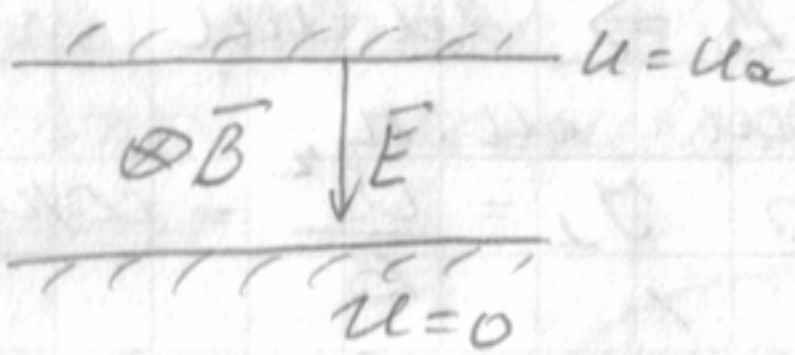
- инвариант Ляпунакаре

(без доказательства)

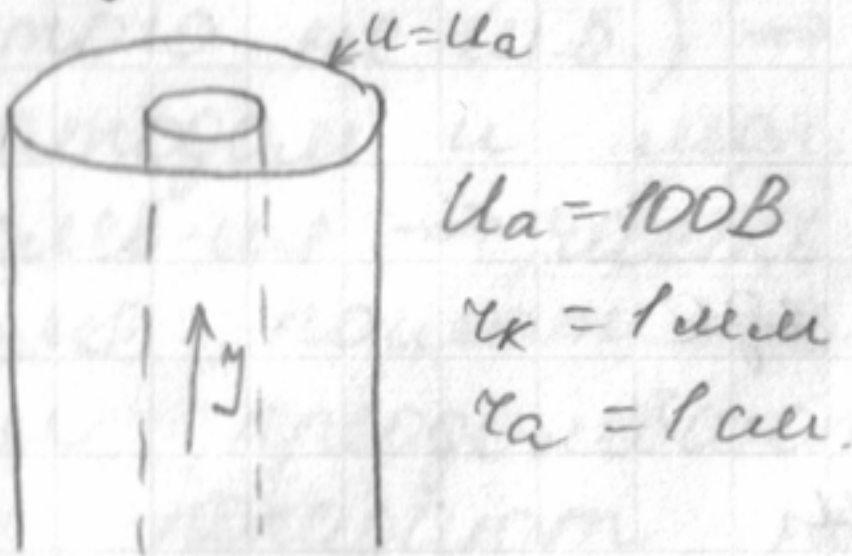
Задача 1: Вывести ив-т Лунжаре из теор. Буша, т.е. док-ть:

$$\dot{\varphi} = \frac{\epsilon_0 (\psi - \psi_k)}{2\pi r^2 m} \quad \text{при решет. дб-ии.}$$

Задача 2: Рассчитать параболу критич. решетки для плоской мал-на



Задача 3: Есть цилиндрич. диод, по внутр. прев-ку течет ток. Рассч-ть величину тока максим. при котор. прекращается анод. ток

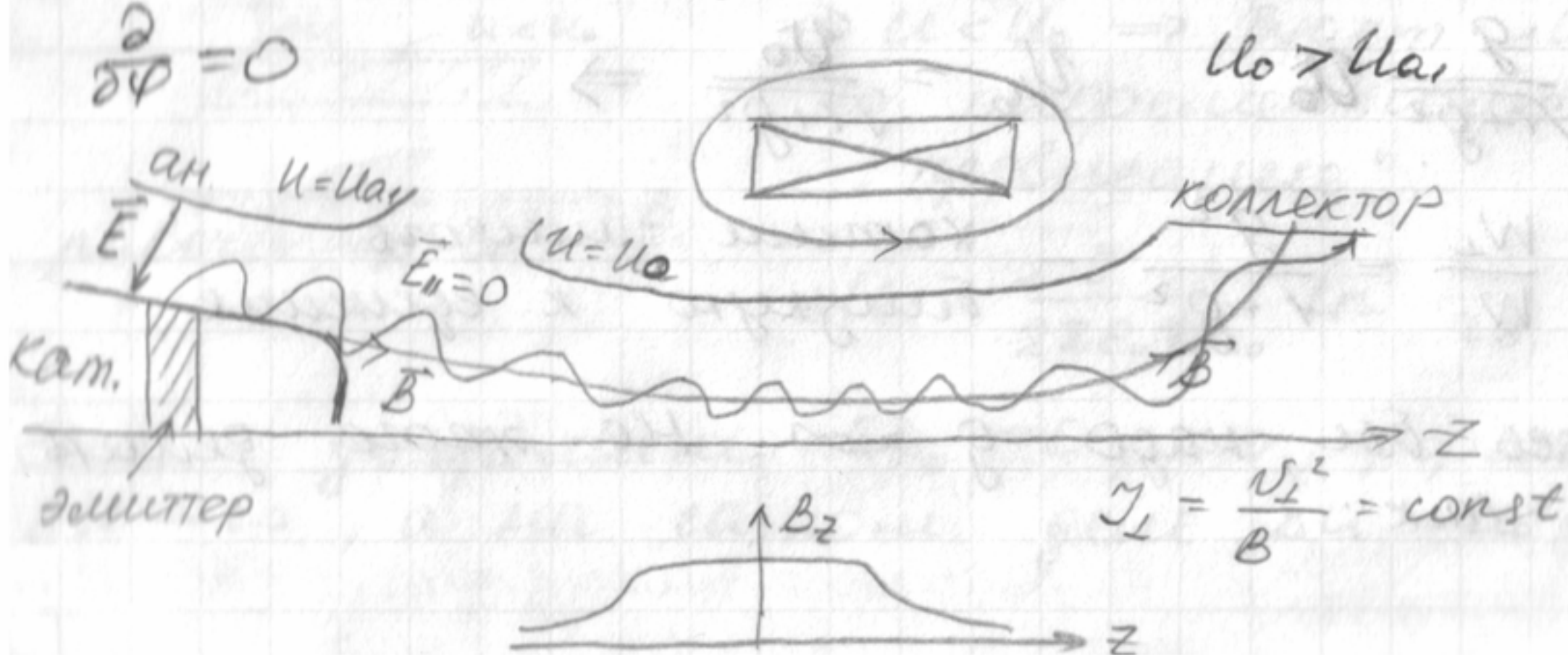


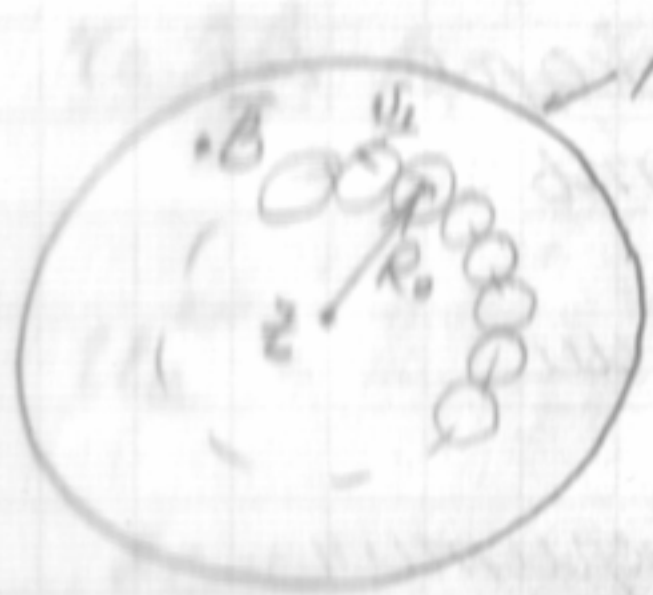
Адиабатич. теория в магнетронной инсекторной пушке.

Мал-ая инсек. пушка применяется в широтронах (в лазере, керосинка)

Что из себя представляет? - аксиал-симм. система

$$\frac{\partial \varphi}{\partial r} = 0$$





резонатор. Цель: создать - ть эл. пучок, выходящий след. образом
 R_0 - радиус вращающегося шара

\vec{E} и \vec{B} - почти скрещены. попер. эл-ны приобретают нач. скорость ещё есть $\vec{E}_{||}$, напр. вдоль $\vec{B} \Rightarrow$ эл-ны летят в обл-ть возрастающ. м.п. $\tau_1 = \frac{v_{\perp}}{B} = \text{const}$
 Т.к. поле слабодипольное, то

поперечн. адiab. инвар-т

$v_{\perp 0}$ } в резон-ре
 $v_{|| 0}$ }

$$g = \frac{v_{\perp 0}}{v_{|| 0}} \approx 1 \div 2 \text{ - хотим}$$

штыч-фактор

КПД: $\eta = t_{\perp} \cdot \eta_{\perp}$ - хотим, где

t_{\perp} - доля поперечной эл-ны

η_{\perp} - поперечный КПД:

$$\eta_{\perp \text{max}} \approx 70\%$$

\Rightarrow надо иметь большое отн-е поперечной эл-ны к пошлой.

$$v_{\perp 0}^2 + v_{|| 0}^2 = 2\gamma U_0 = \text{const} = U_0^2$$

$$v_{\perp 0} = \frac{g}{\sqrt{1+g^2}} U_0 \quad v_{|| 0} = \frac{U_0}{\sqrt{1+g^2}} \Rightarrow$$

$$t_{\perp} = \frac{W_{\perp}}{W} = \frac{g^2}{1+g^2} \text{ - хотим иметь близкую к единице}$$

казалось бы, надо $g \rightarrow \infty$. Но этого сделать нельзя, т.к.:

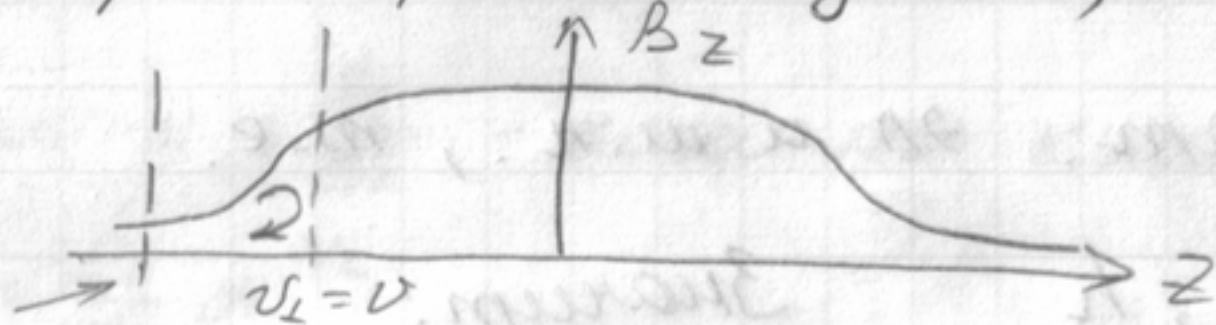
① это магнит. зеркало.

$v_{\perp 0} \rightarrow t_{\perp} = 1$ (продол. ск-ть $\rightarrow 0$, когда эл-ны входят)

Беда в том, что пушка не идеальная, для произвол. эл-на

$$\vec{v}_0 = \vec{v}_{\perp 0} \pm \Delta \vec{v}_{\perp 0}$$

Если добавка с плюсом, то t_{\perp} получится > 1
 \Rightarrow это противоречит з.с.э., т.е. \bar{e} отражается.



а на катоде - по сути эл.-стат. зеркало. чтобы попал точно на катод, должен в точн. повторить свою тр-рию

(этим же м.б.) \Rightarrow продол. колеб-я облака муу катодом и маг. зеркалом \Rightarrow возникают ВЧ колеб-ия \Rightarrow часть эл-ов может у э/м

поля пошептать эл-ны, и их эл-я увеличатся они преодолевают тормозящее поле катода

и попадают на него с менше. скор-ю \Rightarrow

они греют катод \Rightarrow термоэл-ная эмиссия

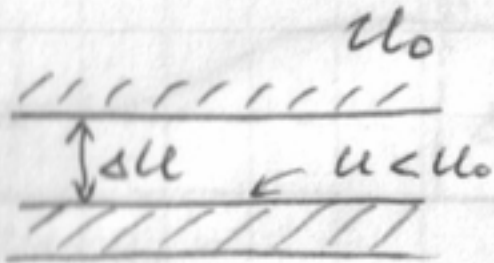
\Rightarrow еще больше эл-ов вылетают из катода и точнее попадают в ловушку.

Лучок становится неустойчив., ток тоже неуст.

(это медл., но неуправляемый процесс)

потому ограничив-ся $g \times 1 \div 2$

②



Эл-ны - отрицательны \Rightarrow

$\Rightarrow u < u_0 \Rightarrow$ будет Δu

по теореме Гаусса - это

"превисание":

рабочее пр-во $\rightarrow z$

$$\Delta u = \frac{\gamma}{2\pi\epsilon_0 u_{\perp 0}} \ln \frac{r_p}{r_b}$$

Если устремим $u_{\perp 0} \rightarrow 0$, то формально $\Delta u \rightarrow \infty$, а на самом деле $\Delta u \rightarrow u_0$

Возьмем $\cos \varphi \approx 1$

$$v_{\perp k} = \frac{E_k}{B_k}; \quad \text{с др. стороны } \gamma_{\perp} = \frac{v_{\perp}^2}{B} = \text{const}$$

Растянем γ_{\perp} для n -ти катодов и для n -ти рабочего пространств

$$\frac{v_{\perp k}^2}{B_k} = \frac{v_{\perp 0}^2}{B_0} \Rightarrow v_{\perp 0} = v_{\perp k} \sqrt{\frac{B_0}{B_k}} = \frac{E_k}{B_k} \sqrt{\frac{B_0}{B_k}}$$

Введем $\alpha = \frac{B_0}{B_k}$ - коэф-т компрессии маг. п.

$$v_{\perp 0} = \frac{E_k}{B_0} \alpha^{3/2}$$

Посчитаем длину колебат. эл-нов в пучке:

$$L_{\perp} = \frac{v_{\perp 0}^2}{v_0^2} = \frac{E_k^2 \alpha^3}{B_0^2 \cdot 2\eta U_0} \Rightarrow \alpha = 1,52 \frac{L^{1/3} U_0^{1/3} B_0^{2/3}}{E_k^{2/3}}$$

$$v_0^2 = 2\eta U_0 - \text{из з. с. э.}$$

$$L_{\perp} \approx 0,5 \div 0,8$$

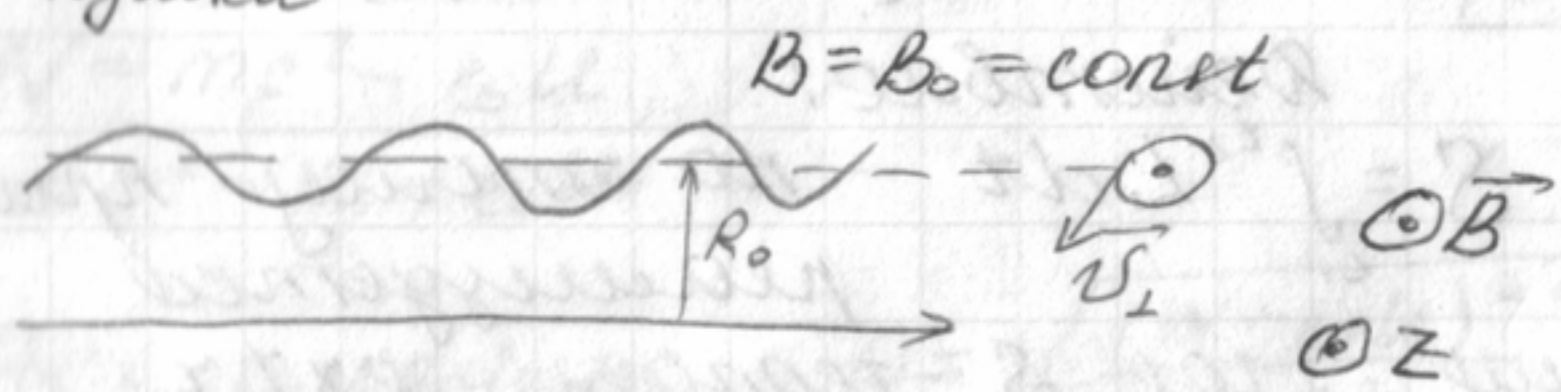
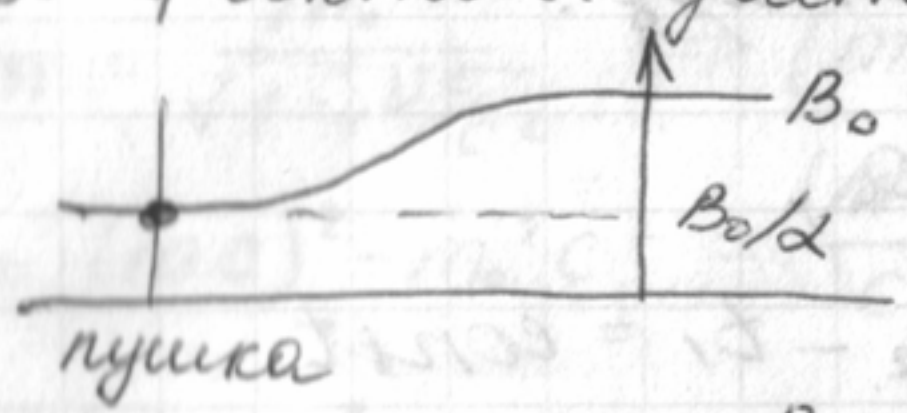
U_0 - задаём

B_0 - тоже знаем:

$\omega_c = \eta B_0$ - циклотрон. τ -та в раб. пр-ве

т.е. не знаем только E_k - свобод. пар-р.

α - фактич. даёт положение эл-нов пучка



$R_0 = ?$ R_k - радиус катода

$\bar{\varphi} = 0$ - средняя амплитудом, ск-ть = 0

$$\mathcal{E} = R_0 + \chi_{\perp} \cos \omega_c t$$

$$\chi_{\perp} \ll R_0; \quad \dot{\varphi} = \frac{\gamma(\psi - \psi_k)}{2\pi\chi^2}$$

$$\bar{\varphi} = \frac{1}{T_c} \int_t^{t+T_c} \dot{\varphi} dt = 0 \Rightarrow \psi = \psi_k$$

в обл-ти пушки

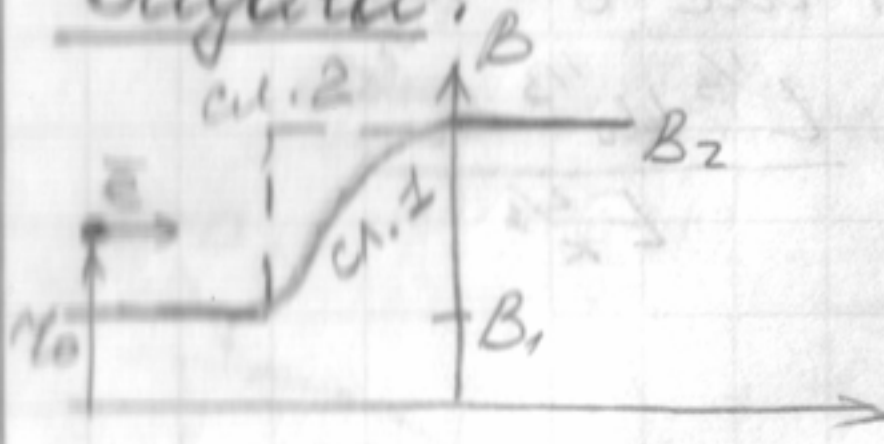
$B_z(z, z) \approx B_z(a, z) = B_k$ - в обл. пушки поле почти однородно и параксиально

$$\psi = \pi R_0^2 B_0$$

$$\psi_k = \pi R_k^2 B_k$$

$$R_0 = \frac{R_k}{\sqrt{\alpha}}$$

Задача:



\vec{e} вбрасывается в однород. поле B_1 , затем попадает в однород. поле B_2 . Найти положение e ведущий центра и ск-ть вращения в поле B_2 .

Рассмотреть 2 случая:

сл. 1: поле от B_1 до B_2 имеет адiab-ки (теавто)

сл. 2: скачком ---

Вариационные принципы динамики заряжен. частиц.

1. Принцип Гамильтона.



$$t_2 - t_1 = \text{const}$$

Действие:

$$S = \int_{t_1}^{t_2} L dt - \text{по этому принципу реализуется}$$

такая тр-ция, где S - термин ext.

$$\frac{d}{dt} \left(\frac{\partial L}{\partial \dot{q}_i} \right) - \frac{\partial L}{\partial q_i} = 0$$

2° Принцип укороченного действия:

Пусть $W = \text{const}$ - э.м.и.р. постоянна (статич. поле)

$$L = \vec{p} \vec{v} - W$$

$$S = \int_{t_1}^{t_2} \vec{p} \vec{v} dt - \int_{t_1}^{t_2} W dt = \int_{t_1}^{t_2} \vec{p} \vec{v} dt - \overbrace{W(t_2 - t_1)}^{\text{const}}$$

Будет реализовываться такая тр-ца, для которой:

укорочен. действие \rightarrow $S' = \int_{t_1}^{t_2} \vec{p} \vec{v} dt$ принимает extreme значение

Неудобство - что реш-е получаем тр-цию в параметр. виде, а хотим $q_i = q_i(t)$

Для перехода к коор-там исп-ся:

3° Принцип Мопертюи:

$\vec{v} dt = d\vec{l}$ - элемент длины дуги

$$S' = \int_{\vec{l}_1}^{\vec{l}_2} \vec{p} d\vec{l} \quad \vec{p} = \vec{p} - e_0 \vec{A}$$

$$\vec{p} d\vec{l} = \vec{p} d\vec{l} - e_0 \vec{A} d\vec{l} = p dl - e_0 (\vec{A}; \vec{s}) dl$$

преобраз.

$$m = \frac{m_0}{\sqrt{1 - v^2/c^2}} \Rightarrow (mv)^2 = (mc)^2 - m_0^2 c^2 = \frac{(mc^2)^2}{c^2} - m_0^2 c^2$$

$$W = mc^2 - e_0 \varphi; \quad mc^2 = W + e_0 \varphi$$

Мех. импульс $p = \sqrt{\frac{(W + e_0 \varphi)^2}{c^2} - m_0^2 c^2}$

Тогда действие: $S = \int_{t_1}^{t_2} \left[\sqrt{\frac{(W + e_0 \varphi)^2}{c^2} - m_0^2 c^2} - e_0 (\vec{A}; \vec{s}) \right] dt$

Част. случай - перемет. движение.

$\vec{p} \parallel \vec{v} \parallel d\vec{l}$
 \vec{s} - единич. в-р вдоль элемента дуги.
 $d\vec{l} = \vec{s} dl$

Электронно-оптический коэффициент преломления.

Рассм. $\frac{v}{c} \ll 1$

$$W = mc^2 - e_0 u = \frac{m_0 c^2}{\sqrt{1 - v^2/c^2}} - e_0 u = \{ \text{в вакууме} \} =$$

$$= m_0 c^2 \left(1 + \frac{v^2}{2c^2} \right) - e_0 u = m_0 c^2 + \frac{m_0 v^2}{2} - e_0 u = \text{const}$$

Найдем на катоде: $u = 0$

$$W = m_0 c^2 + \frac{m_0 v_k^2}{2} - 0 = m_0 c^2 + e_0 u_0$$

Введем эквивалент. пот-н u_0 : $\frac{m_0 v_k^2}{2} = e_0 u_0$

еще раз перенесем мех. энерг-ю c :

$$p = \sqrt{\frac{(W + e_0 u)^2}{c^2} - m_0^2 c^2} = \sqrt{\frac{[m_0 c^2 + e_0 (u + u_0)]^2}{c^2} - m_0^2 c^2} =$$

$$= \sqrt{\frac{m_0^2 c^4}{c^2} - m_0^2 c^2 + \frac{2m_0 c^2}{c^2} e_0 (u + u_0) + \frac{e_0^2 (u + u_0)^2}{c^2}} =$$

$$= \sqrt{2m_0 e_0 \left[1 + \frac{e_0 (u + u_0)}{2m_0 c^2} \right] (u + u_0)}$$

$\gamma = 1 + \frac{e_0 u}{m_0 c^2}$ - где $\frac{e_0 u}{m_0 c^2}$ - пред. перемещ. э-на второе слагаемое малое \Rightarrow

$$\Rightarrow p = \sqrt{2m_0 e_0 (u + u_0)}$$

$$S = \int_{r_1}^{r_2} \left[\sqrt{2m_0 e_0 (u + u_0)} - e_0 (\bar{A} \bar{S}) \right] dl =$$

$$= \sqrt{2m_0 e_0} \int_{r_1}^{r_2} \left[\sqrt{u + u_0} - \sqrt{\frac{1}{2}} (\bar{A} \bar{S}) \right] dl$$

extr у S будет тогда нее, когда u у

$$S_{e_0} = \int_{r_1}^{r_2} \left[\sqrt{u + u_0} - \sqrt{\frac{1}{2}} (\bar{A} \bar{S}) \right] dl$$

электронно-оптическое

$$S = \int n dl$$

$n = n(\bar{r})$ - показ-ль преломления

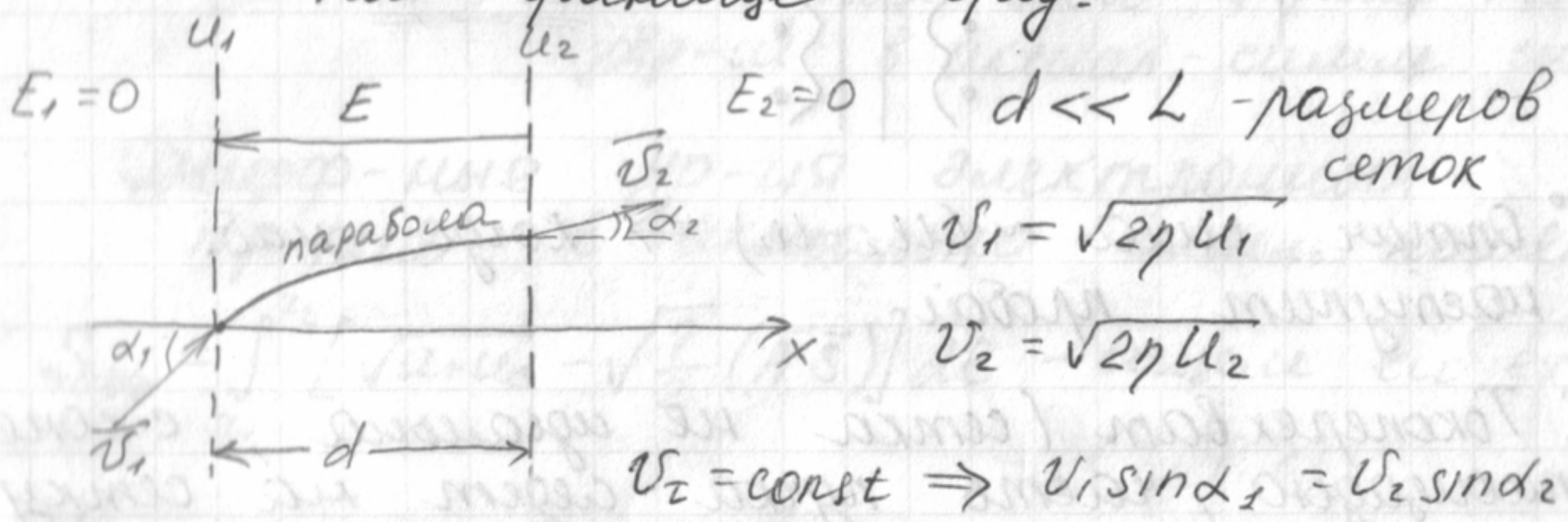
Луч идет по min оптич. длине пути.

$$n(\bar{v}) = \sqrt{u + u_0} - \sqrt{\frac{?}{2}} (\bar{A} \bar{S}) - \text{электро-оптик. корр. предельными}$$

Общие св-ва:

- 1° $B \neq 0$ - среда анизотропна
 $B = 0$ - среда изотропна
- 2° Если $B = 0$, $u_0 = 0$ (т.е. макс. скор-ть = 0) - то тр-рши не зависит от заряда и массы частиц.
- 3° Если $B = 0$, $u_0 = 0$, то индекс преломления во всех точках B, k раз: $u_2 = k u_1$ получим ту же тр-ршию (а скор-ть изм-а
- 4° Если $u_0 = 0$ и $\frac{u}{B^2} = \text{const}$ (если так измерим маг-е и маг-поле), то оп-ть тр-рши не меняется.

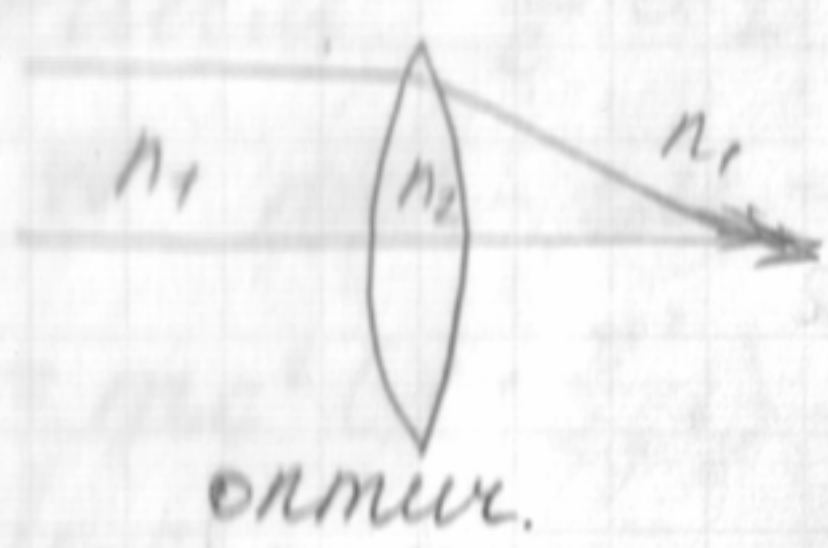
Преломление электроных тр-рши на границе сред.



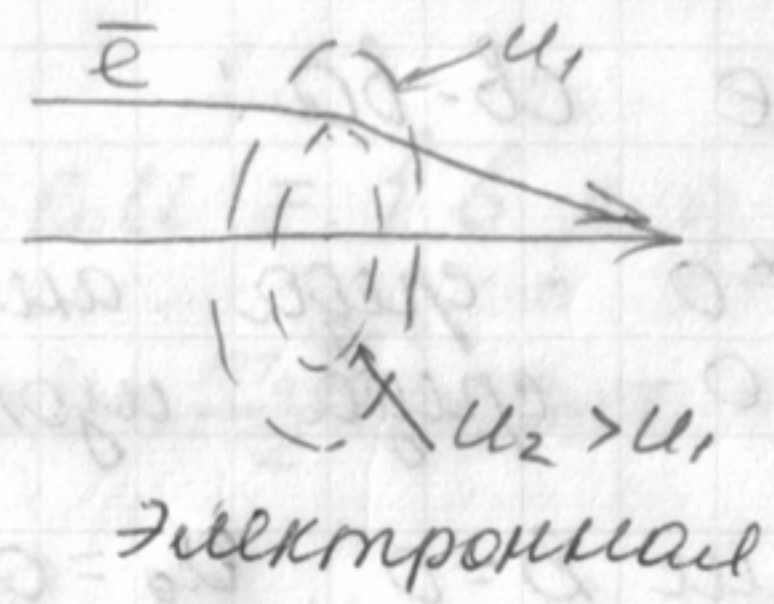
$$\frac{\sin \alpha_1}{\sin \alpha_2} = \frac{v_2}{v_1} = \frac{\sqrt{2\eta U_2}}{\sqrt{2\eta U_1}} = \frac{\sqrt{U_2}}{\sqrt{U_1}} = \frac{n_2}{n_1}$$

Эл-нал тр-рши ведет себя на гр-це 2х сред так же, как оптич. луч (преломляется так же)

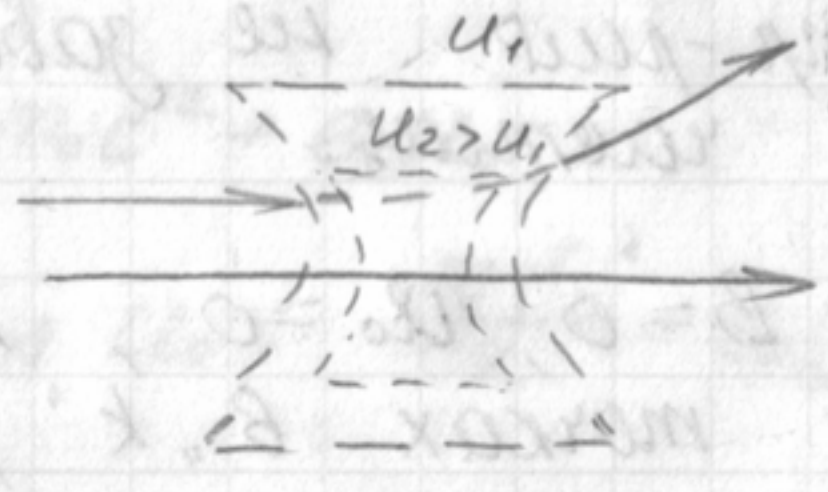
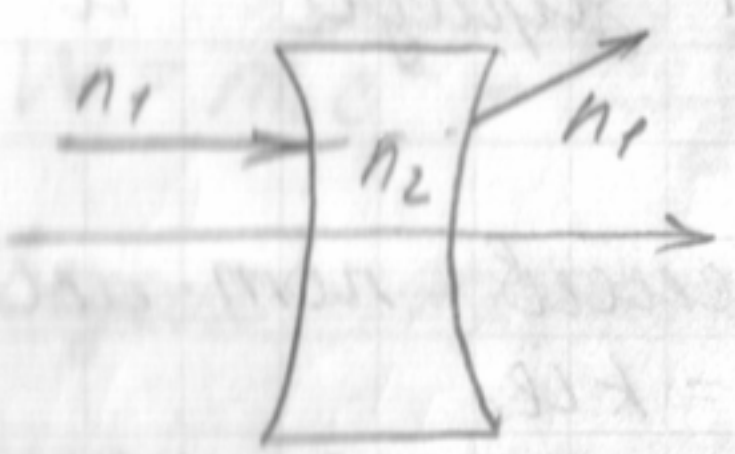
Т.е. идея: сделать электр. линзу (сделать сетки так, чтобы фокусировали лучи)



оптик.



Электронная



Недостатки:

1° Рабочее изображение (т.к. лучи между сетками поле будет неоднородное.)



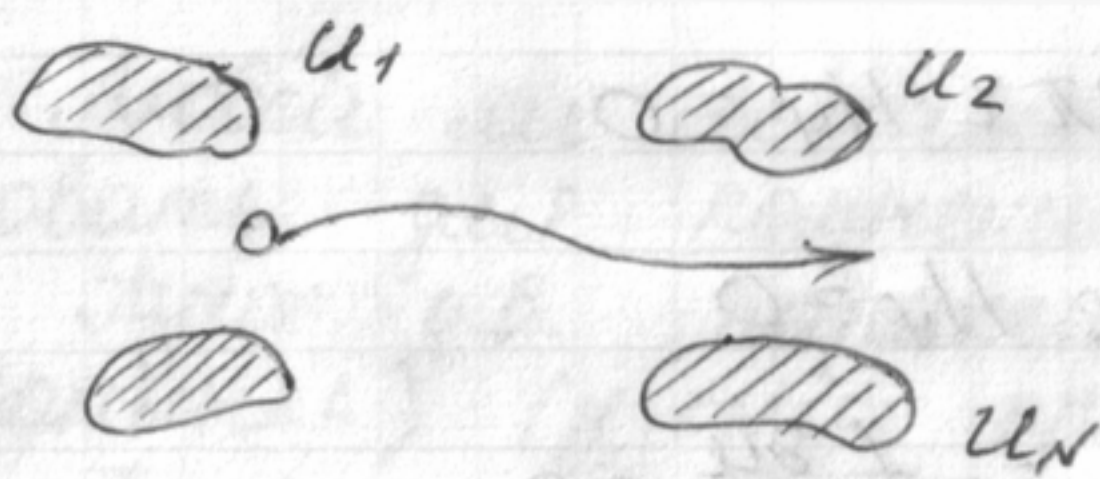
У поле внутри
 $E_n \neq 0$
 $E_z \neq 0!$

2° Оптик. сфера $\sim (u_2 - u_1) \Rightarrow$ когда - ниб. наступит пробой

3° Ток перехват (сетка не идеальна, с конеч. площадью, часть пучка идет на сетку, будет ее заряд \Rightarrow вопрос - как охлаждать?)

Чтобы сделать эл-ую линзу, надо создать специальное распределение:

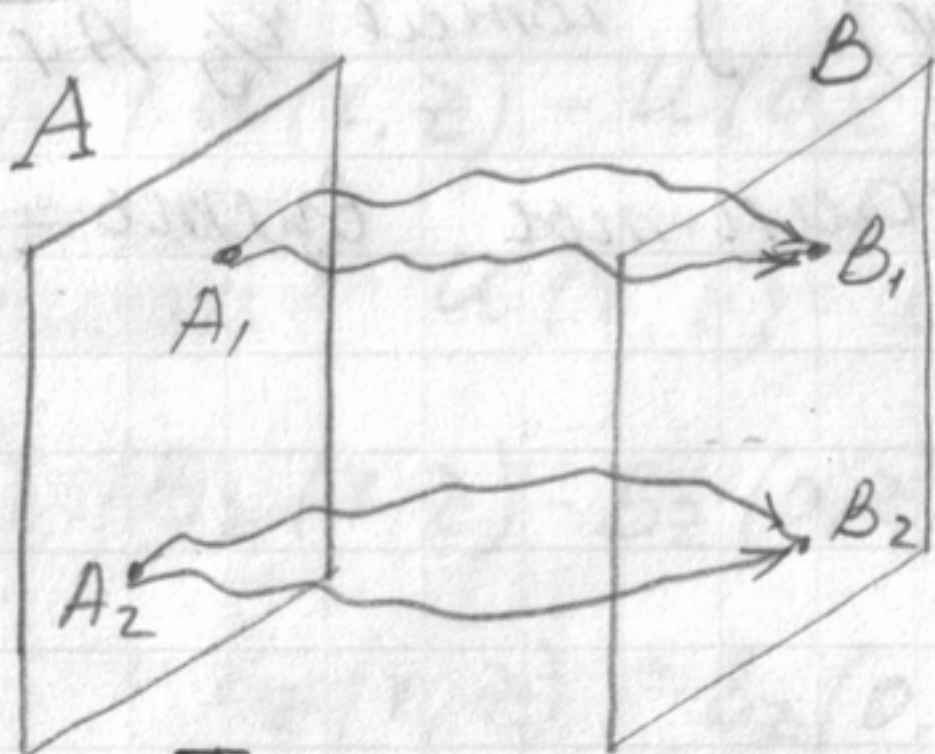
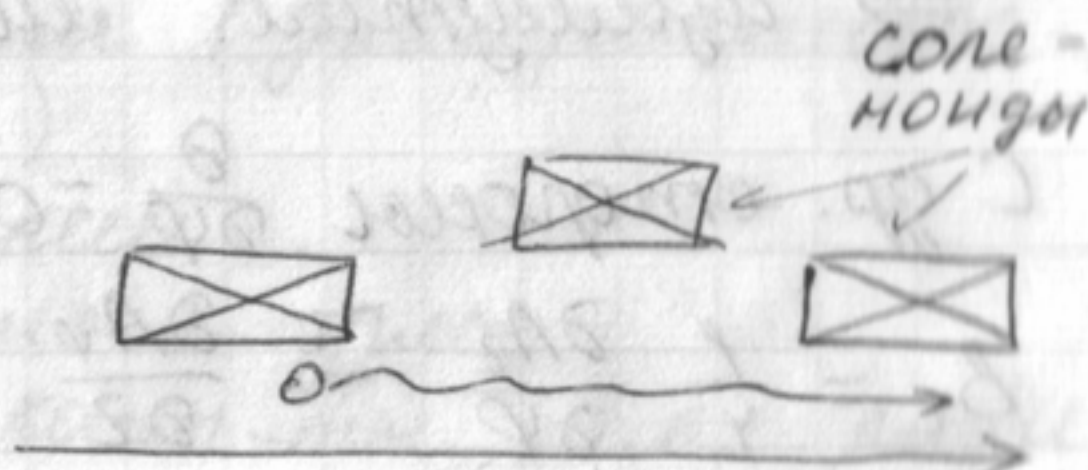
$$n = n(x) \Rightarrow \sqrt{u + u_0} - \sqrt{\frac{u}{2}} (\vec{A} \vec{z})$$



$$n(\chi) = \sqrt{\mu(\chi)}$$

Магнитная линза:

$$n(\chi) = \sqrt{\mu} - \sqrt{\frac{\mu}{2}} (\vec{A}(\chi), \vec{S})$$



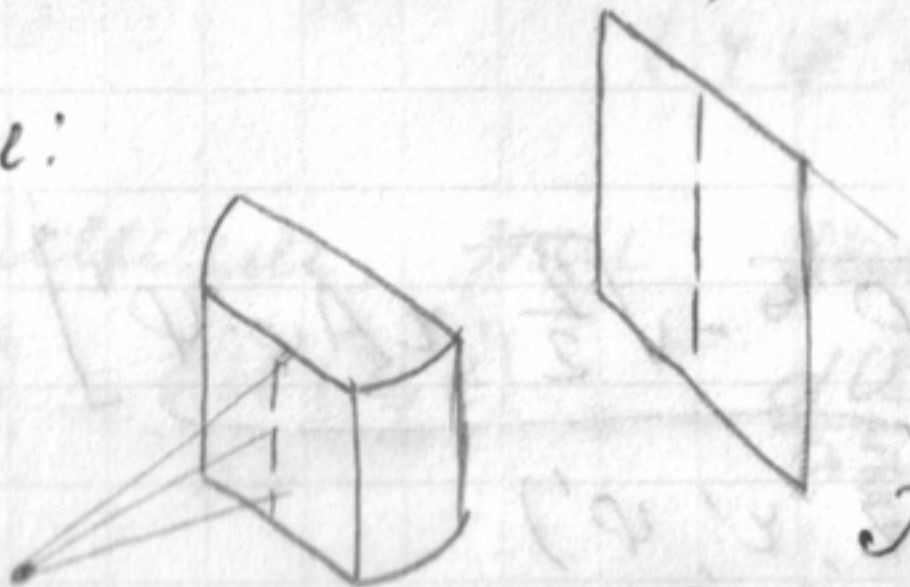
1°. Сфокусировка г. облад. сфокусированности

(Все лучи из A_1 придут в B_1 , из $A_2 \rightarrow B_2$)

2°. Подобие: $A_1 A_2 \sim B_1 B_2$

опр: Такое изображение, кот. обеспечивает оба эти св-ва, наз. правильным.

Трещи:



Точка превратится в линию на экране (т.е. нет стигматичности)

Треще всего формирует изображение в аксиальной симметрии.

Дифференциальные уравнения электромагнитных траекторий в аксиально-симметричных полях.

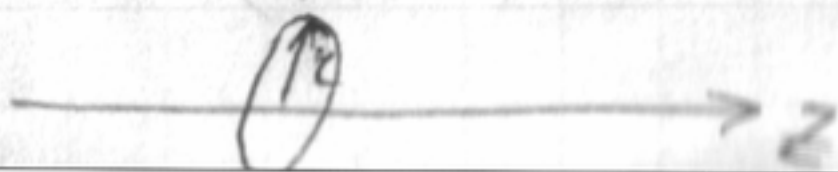
$$S_{\partial/\partial \chi} = \int_{z_1}^{z_2} \left[\sqrt{\mu + \mu_0} - \sqrt{\frac{\mu}{2}} (\vec{A} \vec{S}) \right] d\chi - \text{интеграл по } \chi \text{ и } z$$

(χ, φ, z)

Аксиальная симметрия: $\frac{\partial}{\partial \varphi} = 0$

Считаем ток пучка от малых элементов: $\vec{j} = 0$ (т.е. волна летит сама по себе, собственное поле не вводит)

$$\text{кот } \vec{H} = \vec{j} \int \int$$



$$\int_S \chi \cot M_n dS = 0 = \oint M_e dl = 2\pi r \cdot M_\varphi = 0$$

→ азимутал. макс. поле $H_\varphi = 0$

С др. стороны $\frac{\partial}{\partial \varphi} = 0 \Rightarrow E_\varphi = -\frac{1}{r} \frac{\partial u}{\partial \varphi} = 0$

$$B_r = \frac{1}{r} \frac{\partial A_z}{\partial \varphi} - \frac{\partial A_\varphi}{\partial z} = -\frac{\partial A_\varphi}{\partial z} \text{ — радиал. комп-та}$$

$$B_z = \frac{1}{r} \left(\frac{\partial}{\partial r} (r A_\varphi) - \frac{\partial A_r}{\partial \varphi} \right) = \frac{1}{r} \frac{\partial}{\partial r} (r A_\varphi) \left. \begin{array}{l} \text{все и.п. выраже} \\ \text{нотел } \chi/r A_\varphi \end{array} \right\}$$

т.е. можем оставить остальные комп-ты $B_z = 0$

$$\vec{A} = (0, A_\varphi, 0)$$

$$d\vec{l} = (dr, r d\varphi, dz)$$

$$dl = dz \sqrt{1 + r'^2 + r^2 \varphi'^2}$$

$$r' = \frac{dr}{dz}; \quad \varphi' = \frac{d\varphi}{dz}$$

$$\vec{A} d\vec{l} = A_\varphi \cdot r \varphi' dz$$

$$S_{\partial \Omega} = \int_{z_1}^{z_2} \left[\sqrt{u} \cdot \sqrt{1 + r'^2 + r^2 \varphi'^2} - \sqrt{\frac{\eta}{2}} \cdot r A_\varphi \cdot \varphi' \right] dz$$

обозн. $F(r, z, r', \varphi')$

$$u = u(z, r)$$

$$A_\varphi = A_\varphi(r, z)$$

$$\left. \begin{array}{l} \frac{d}{dz} \left(\frac{\partial F}{\partial \varphi'} \right) - \frac{\partial F}{\partial \varphi} = 0 \\ \frac{d}{dz} \left(\frac{\partial F}{\partial r'} \right) - \frac{\partial F}{\partial r} = 0 \end{array} \right\} \frac{\partial F}{\partial \varphi} = 0 \text{ (аксиал. сим)}$$

$$\Rightarrow \frac{\partial F}{\partial \varphi'} = \text{const}$$

$$\frac{\partial F}{\partial \varphi'} = \frac{\sqrt{u} \cdot r^2 \varphi'}{\sqrt{1 + r'^2 + r^2 \varphi'^2}} - \sqrt{\frac{\eta}{2}} r A_\varphi = \text{const}$$

$$\frac{d}{dz} \left(\frac{\sqrt{u} r^2 \varphi'}{\sqrt{1 + r'^2 + r^2 \varphi'^2}} \right) - \frac{\sqrt{1 + r'^2 + r^2 \varphi'^2}}{2\sqrt{u}} \cdot \frac{\partial u}{\partial r} =$$

$$- \frac{\sqrt{u} \cdot r \varphi'^2}{\sqrt{1 + r'^2 + r^2 \varphi'^2}} + \frac{\eta}{2} \varphi' \frac{\partial}{\partial r} (r A_\varphi) = 0$$

Любой ли световой лучок можно использовать для получения изображения?

Лучок д.б. параксимальным (диафрагмированным) (узкий приосевой)

Параксимальность: 1) тонкий
2) малые углы

(пишем только для z ос. комп-ты, т.к. радиальная = 0), т.е.:

$$1) |u(r, z) - u(0, z)| \ll u(0, z)$$

можно считать

$$u(r, z) = u(0, z) = u_z(z)$$

ТОМКОСТЬ
ЛУЧКА

$$2) |B_z(r, z) - B_z(0, z)| \ll B_z(0, z) \Rightarrow$$

$$\Rightarrow B_z(r, z) = B_z(0, z) = B_z(z)$$

$$3) \text{ малые углы: } \begin{cases} r' \ll 1 \\ r\varphi' \ll 1 \end{cases}$$

Примем эти условия:

$$E_z = - \frac{\partial u(r, z)}{\partial z} = - \frac{du_z}{dz} = -u_z'$$

поот-ть
заряда

Лучок - слаботочный \Rightarrow считаем $\rho = 0$

$$\downarrow$$
$$\text{div } \vec{E} = 0$$

$$\frac{1}{r} \frac{\partial}{\partial r} (r E_r) + \frac{\partial E_z}{\partial z} = 0$$

$$\frac{1}{r} \frac{\partial}{\partial r} (r E_r) = -E_z'(z) \quad \text{const меркур-ид}$$

$$r E_r = -\frac{r^2}{2} E_z' + F(z)$$

$$E_r = -\frac{r}{2} E_z' + \frac{F(z)}{r}$$

На осе $r=0$ д.б. $E_r = 0 \Rightarrow F(z) \equiv 0$

$$E_r = -\frac{r}{2} E_z'$$

$$\chi A\varphi = ?$$

$$\chi A\varphi = \frac{\psi}{2\pi}$$

положим 0 в осевую
акс. сис.

$$\chi A\varphi = \frac{\psi}{2\pi} = \frac{\int_S B_z(r, z) dS}{2\pi} = \frac{\int_S B_z(0, z) dS}{2\pi} =$$

$$= B_z(z) \cdot \frac{\pi r^2}{2\pi} = \frac{r^2}{2} B_z$$

$$\frac{\partial}{\partial r} (\chi A\varphi) = r B_z$$

$$\frac{\partial u}{\partial z}$$

$$\chi A\varphi$$

$$\begin{cases} r' \ll 1 \\ r\varphi' \ll 1 \end{cases}$$

$$\Rightarrow \sqrt{1 + r'^2 + r^2 \varphi'^2} \approx 1$$

$$\frac{\partial}{\partial r} (\chi A\varphi)$$

$$\sqrt{\mu_z} r^2 \varphi' - \sqrt{\frac{\eta}{2}} \frac{r^2}{2} B_z = \text{const} = 0$$

$$V_k = 0$$

$$B_k = 0$$

$$\frac{d}{dz} (\sqrt{\mu_z} r') + \frac{r \mu_z''}{4\sqrt{\mu_z}} - \sqrt{\mu_z} r \varphi'^2 + \sqrt{\frac{\eta}{2}} \varphi' = B_z = 0$$

$$\begin{cases} \varphi' = \sqrt{\frac{\eta}{8\mu_z}} B_z \quad (1) \end{cases}$$

$$\begin{cases} \frac{d}{dz} (r' \sqrt{\mu_z}) + \frac{r \mu_z''}{4\sqrt{\mu_z}} + \frac{\eta B_z^2 r}{8\sqrt{\mu_z}} = 0 \quad (2) \end{cases}$$

Предположим: 1° Статич. поле

2° Аксиальная симметрия

3° Мерцает. приближе

4° Параксимальность.

5° $\rho \approx 0$, $j \approx 0$

плот-ть заряда плот-ть тока

6° $B_k = 0$, $V_k = 0$

на катоде



Каков угол β в
пункте $z = b$?

$$\Delta\varphi = \int_{z_1}^{z_2} \sqrt{\frac{\eta}{8\mu_z}} B_z dz \Rightarrow$$

зав-т только от z

\Rightarrow угол должен сохр-ся $\Rightarrow \alpha = \beta$

Т.е. первое ур-ие опис-ет поворот всей сист-мы на некот. угол $\Delta\varphi$.

Если $\Delta\varphi = 0$, поворота нет, тр-ция будет плоской.

Линза должна иметь св-ва стигматичности и подобия. Будут ли они, зав-т только от 2-го ур-ия (т.к. первое отвечает только за поворот)

2-е ур-ие - линейное, однородное. Уже из этого м. док-ть, что изобр-ие б. стигматич. и подобным.

Уравнение парааксиальных тр-ций в электростатич. поле. Классифицир-ция эл. стат. линз.

Пологаем далее, что $B_z = 0$; $\varphi' = 0$
 $\varphi = \text{const} \Rightarrow$ д.б. плоское.

$$\frac{d}{dz} (\chi \sqrt{u_z}) + \frac{2u_z''}{4\sqrt{u_z}} = 0$$

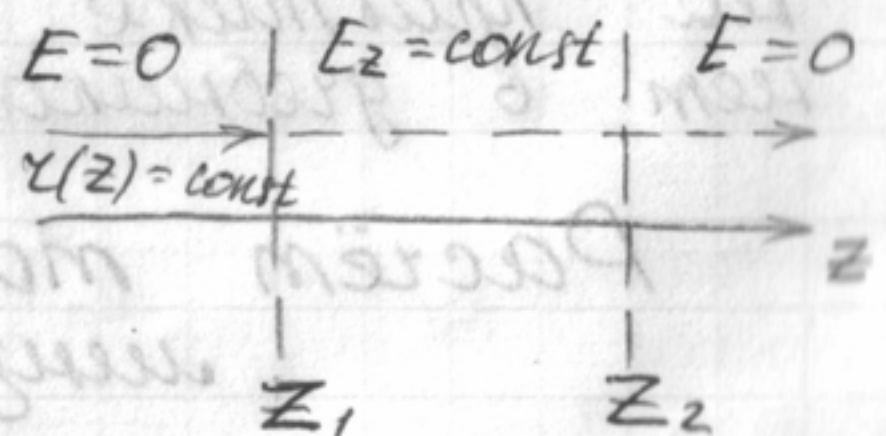
Какими св-ми д.б. обладать эл. поле, чтобы была линза?

Утверждаем, что оно д.б. неоднородным.
(т.е. $u_z'' \neq 0$)

Проверим!

Рассм. однород. поле: $E_z = -u_z' = \text{const}$

$$u_z'' = 0$$



Цель: пустим луч
||-но опт. осей.

Если отклонился \Rightarrow
 \rightarrow это линза

Если пустим || осей,
то он так и пойдет:
 $u_z'' = 0$; $\frac{d}{dz} (\chi' \sqrt{u_z}) = 0$

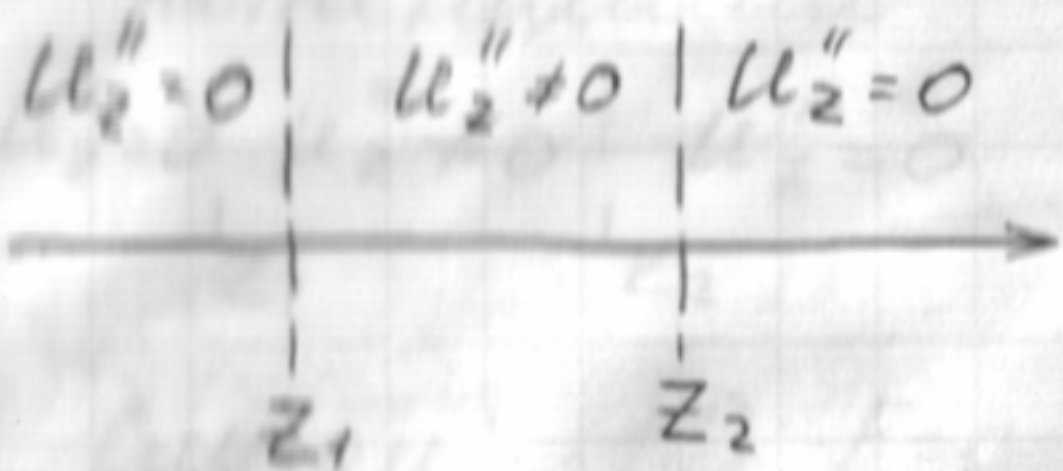
$$\chi' \sqrt{u_z} = \text{const}$$

По шнуре: $\chi' = 0 \Rightarrow \text{const} = 0$

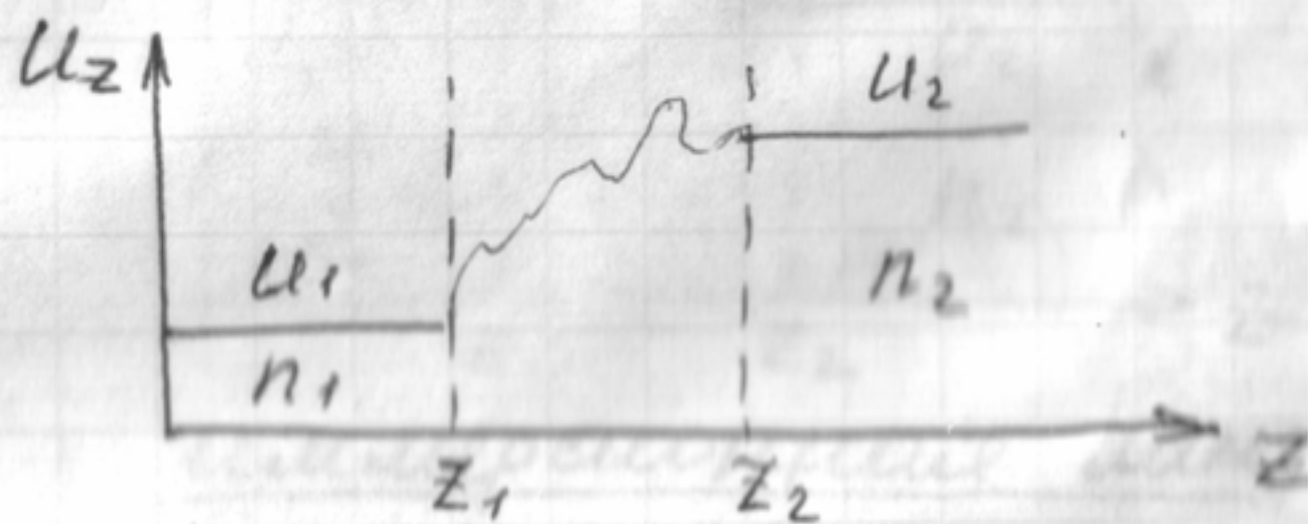
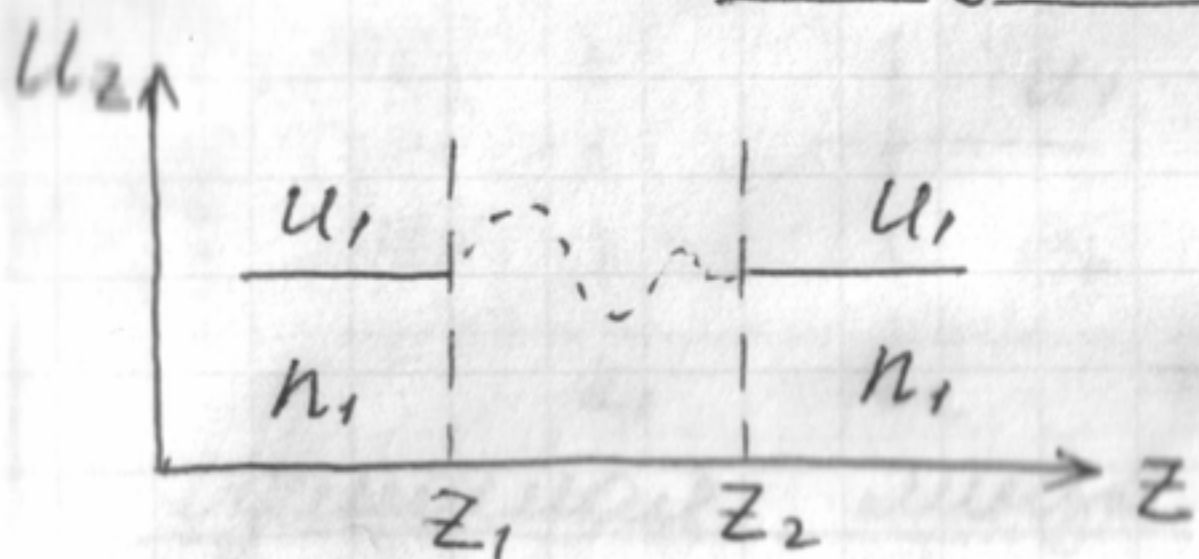
Линза шнур: $\chi' \sqrt{\mu_2} = 0$; $\chi' = 0 \Rightarrow \chi = \text{const}$

Вывод: если поле - однород., луч не отклоняется.

Классификация дается по виду осевого потенциала.

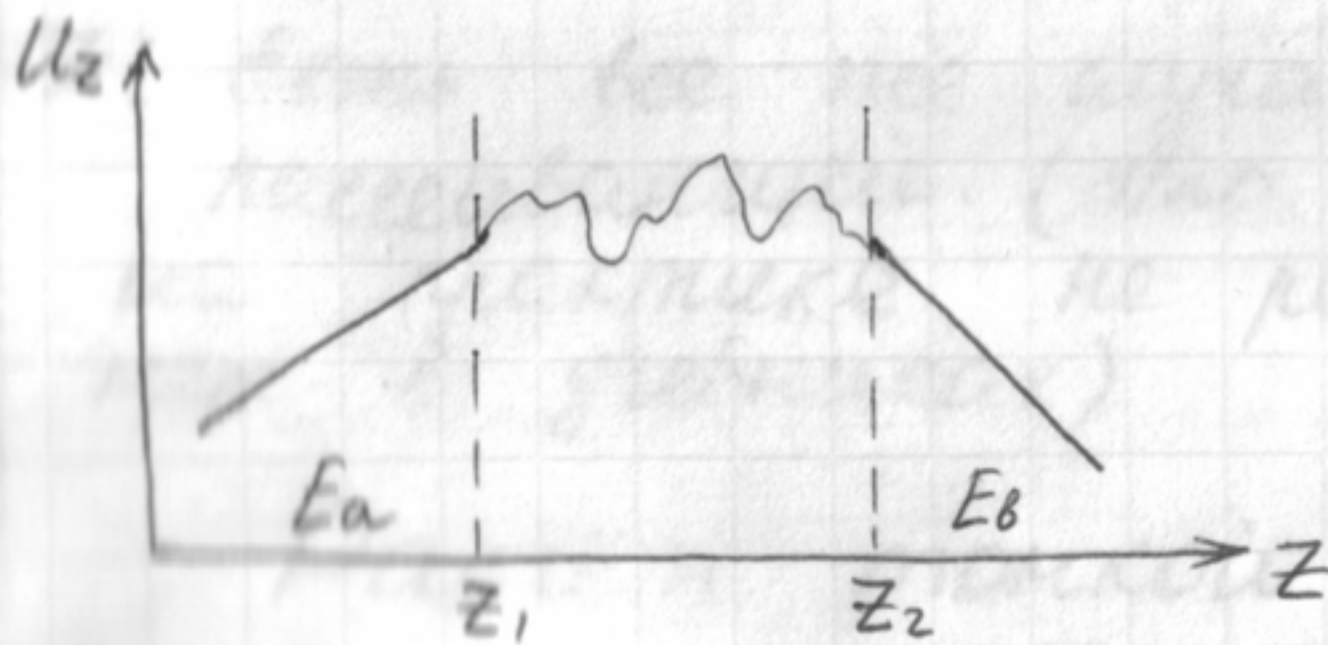


Случай: 1° $E = 0$ (вне линзы)
Линза с огранич. обл-ю поле.



Одиночная линза

2° $E = \text{const}$



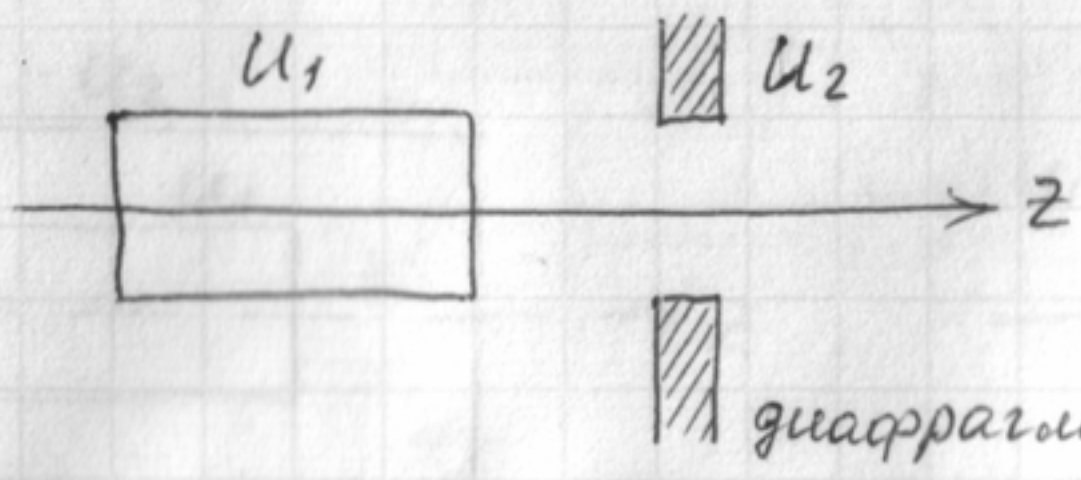
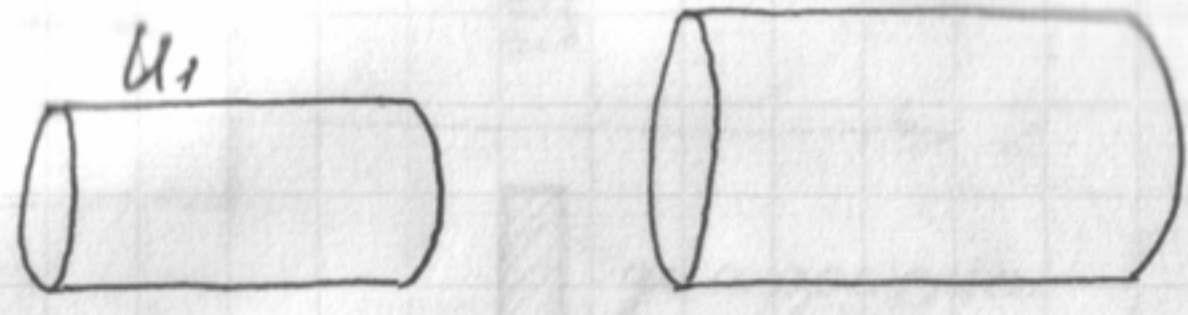
Линза - диафрагма



Иммерсионный объектив

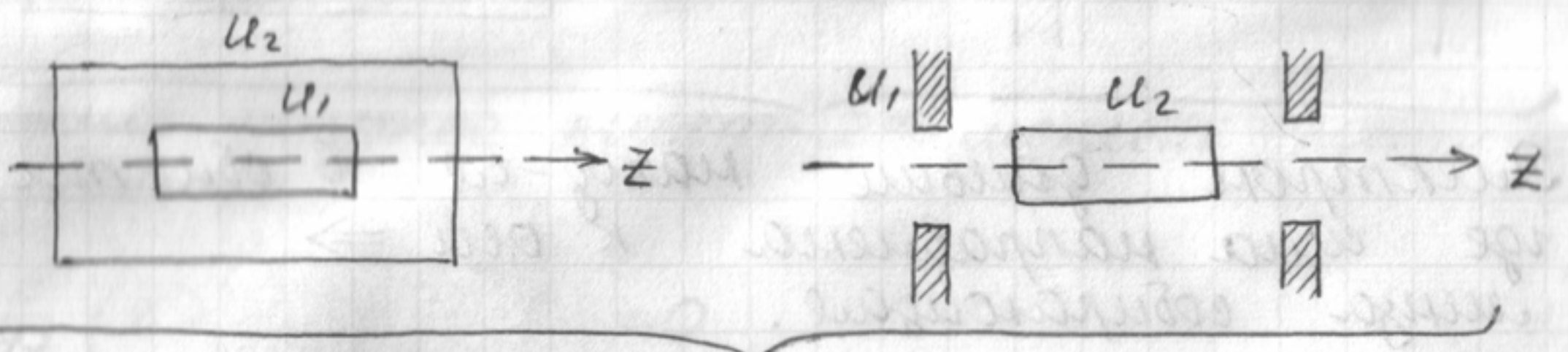
Линзы с ограниченной обл-ю попер.

Пр: 1)



линейс. линзы

2)

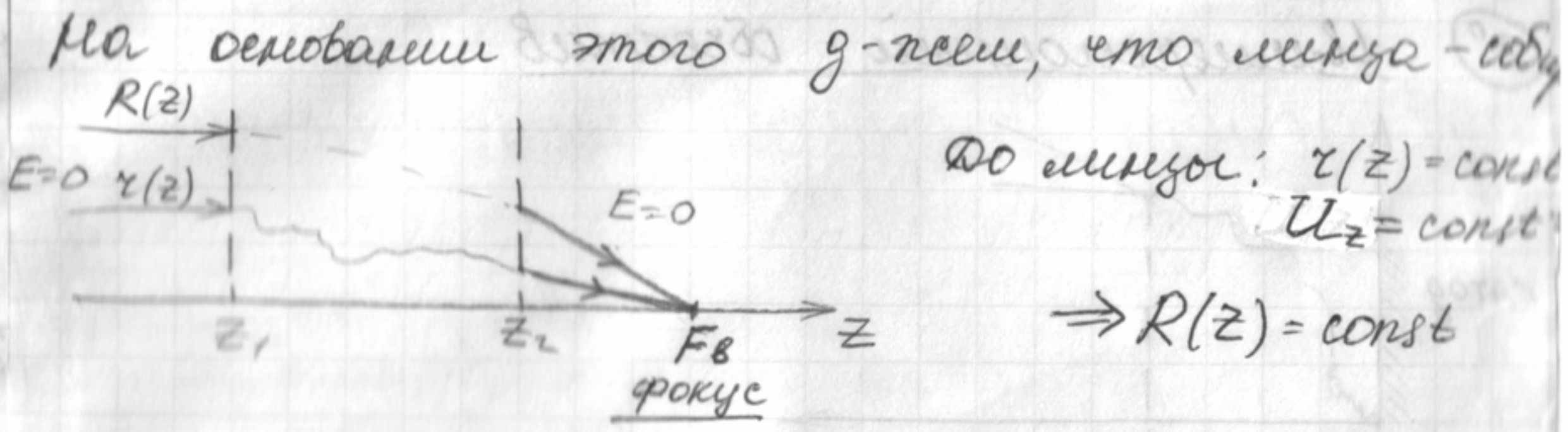


Однолучные линзы.

Собирающие это линзы или рассеив? Оказ., все линзы с огранич. обл-ю попер - собирающие.

Доказ-нем:
$$\frac{d}{dz} (\chi' \sqrt{u_z}) + \frac{\chi u_z''}{4 \sqrt{u_z}} = 0$$

Введем: $R(z) = \chi(z) \sqrt{u_z} \Rightarrow \frac{d^2 R(z)}{dz^2} + \frac{3}{16} \left(\frac{u_z'}{u_z} \right)^2 R = 0 \Rightarrow$
 $\Rightarrow \underline{R'' < 0}$

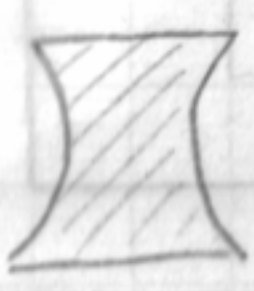


Линза линзы: $u = \text{const} \Rightarrow E = 0$
 $\chi(z)$ - миним. ф-ция } \Rightarrow
 $\rightarrow R(z)$ - макс. мин. ф-ция
 $\chi(z)$ - пропорц. $R(z) \Rightarrow$ макс попадет в F_b
 линза - собирающая, и т.д.



$u_2 > u_1$
 Лучевую мух
 пойдёт к оси?
 $v_1 = \sqrt{2\eta u_1}$ $t_1 \sim \frac{1}{v_1}$
 $v_2 = \sqrt{2\eta u_2}$ $t_2 \sim \frac{1}{v_2}$

эквипот-ли $F_2 > 0$



Электрон дальше мажод-се в оби-ти,
 где шна направлена к оси \Rightarrow
 линза собирающая.

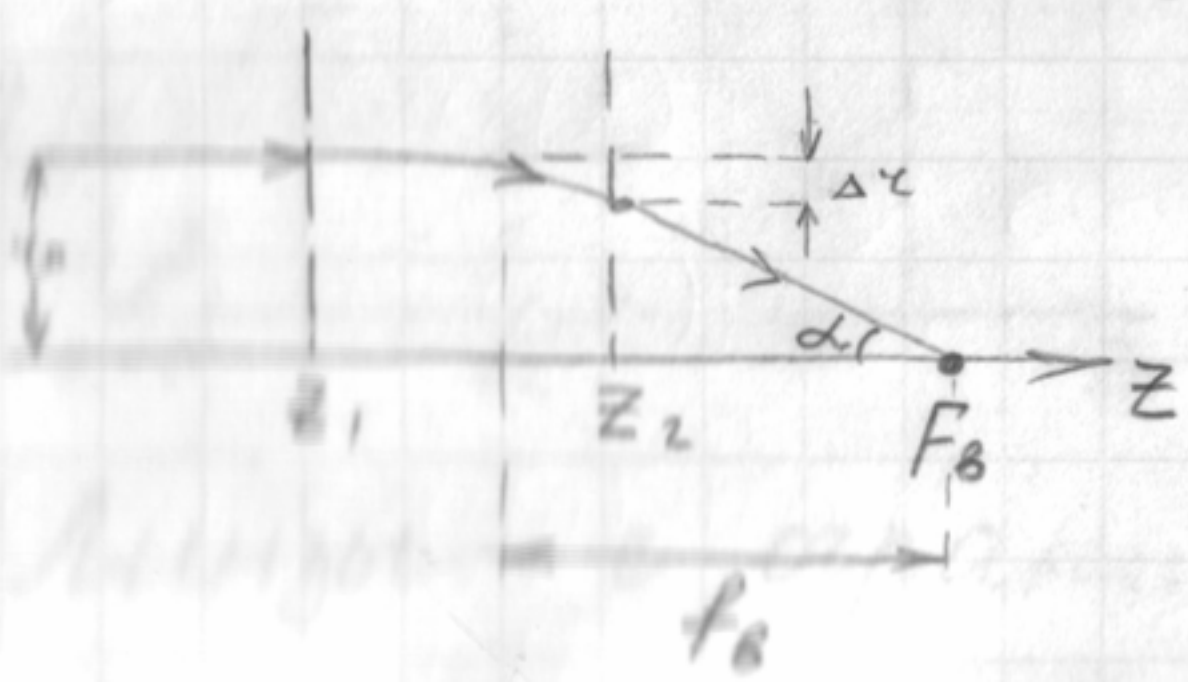
Z: Есть все же случаи, когда линза
 м.б. рассеивающей!

(Это очень редкий случай, на практике
 не реализуется обычно. Нет в учебниках)

Найти ошибку в док-ве и
 нарисовать тр-цию \vec{e} , чтобы
 она стала рассеивающей \Rightarrow

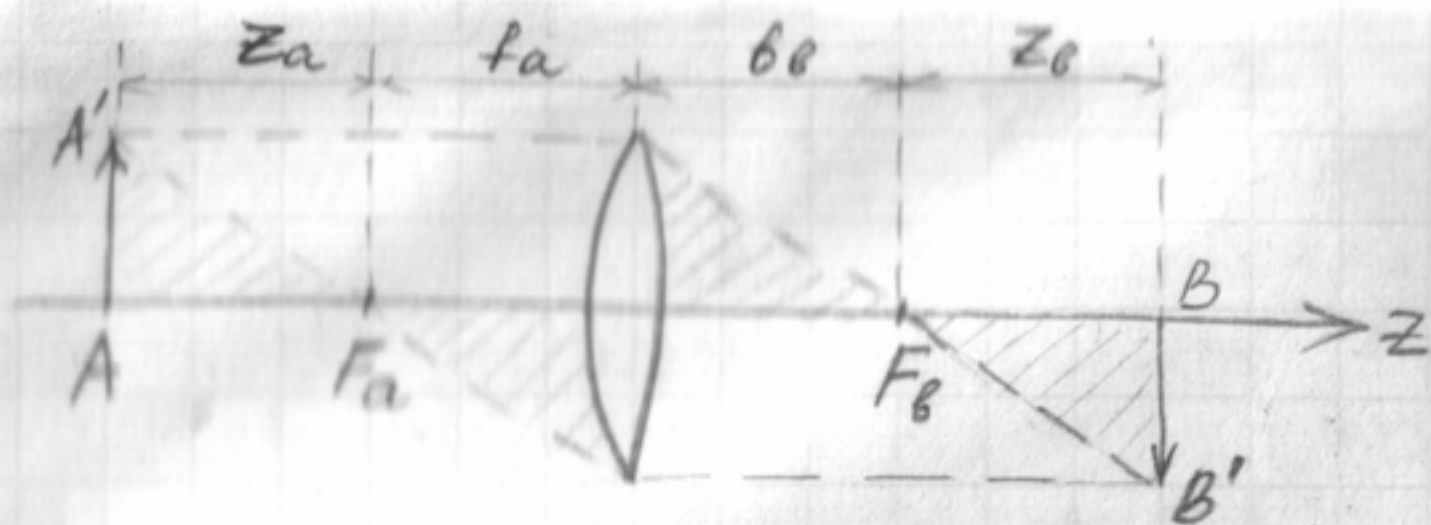
\Rightarrow освободимся от
 колка и зачета с 5

Расчёт тонкой иммерсионной линзы.



O: Линза маж. ТОНКОЙ
 если радиус кривизны
 луча внутри неё
 мнемется мало
 $(\Delta z \ll r_0)$

$|z_1 - z_2| \ll f_0$ - фокусное расстояние



Из подобия треуголь-ков: $\frac{AA'}{f_b} = \frac{BB'}{z_b}$; $\frac{AA'}{z_a} = \frac{BB'}{f_a}$
 увеличение: $M = \frac{BB'}{AA'} = \frac{z_b}{f_b} = \frac{f_a}{z_a} \Rightarrow$

$$\Rightarrow \boxed{z_a z_b = f_a f_b} \quad \text{для оптич. линзы}$$

Знаем. фокусное расет-я \Rightarrow можем постро-ть
 изображение.

$$\frac{d}{dz} (\chi' \sqrt{u_z}) + \frac{\chi u_z''}{4 \sqrt{u_z}} = 0$$

$$\frac{d}{dz} (\chi' \sqrt{u_z}) = - \frac{\chi u_z''}{4 \sqrt{u_z}} \quad \int \text{по оси-ти линзы} \Rightarrow$$

$$\Rightarrow \int_{z_1}^{z_2} d[\chi' \sqrt{u_z}] = - \frac{1}{4} \int_{z_1}^{z_2} \frac{\chi u_z'' dz}{\sqrt{u_z}} \approx - \frac{\chi_0}{4} \int_{z_1}^{z_2} \frac{u_z''}{\sqrt{u_z}} dz$$

линза
тонкая

$$\chi' \sqrt{u_z} \Big|_{z_1}^{z_2} = - \frac{\chi_0}{f_b}$$

$$\chi'(z_2) = - \frac{\chi_0}{f_b} \quad (\chi_0 < \text{максона})$$

$$\boxed{\frac{1}{f_{a,b}} = \frac{1}{4 \sqrt{u_{a,b}}} \int_{z_1}^{z_2} \frac{u_z''}{\sqrt{u_z}} dz}$$

Т.к. вне линзы поле = 0, то м. написать:

$$\frac{1}{f_{a,b}} = \frac{1}{4 \sqrt{u_{a,b}}} \int_{-\infty}^{\infty} \frac{u_z'' dz}{\sqrt{u_z}} = \left\{ \begin{array}{l} \text{взев по частям, учти,} \\ \text{что } u_z'(\pm\infty) = 0 \text{ (поле=0)} \end{array} \right\}$$

проще брать такой,
 ошибка небольшая (т.к. поле
 спадает вне линзы, а не резко = 0)

$$\Rightarrow \frac{1}{f \sqrt{u_{a,b}}} \int_{-\infty}^{\infty} \frac{u_z''}{u_z^{3/2}} dz = \frac{1}{f_{a,b}}$$

$$(\&) \quad \boxed{\frac{f_a}{f_b} = \frac{\sqrt{u_a}}{\sqrt{u_b}} = \frac{n_a}{n_b}} \quad \text{- для тонкой линзы}$$

О: F_B - фокус прост-ва изображений
 (та точка, где пересекаются все обратные
 лучи из прост-ва изобр-ий)

$$(1):(3) \Rightarrow \frac{\gamma_2(a)}{\gamma_2'(b)} = \frac{\gamma_1(a)}{\gamma_1'(b)} \Rightarrow$$

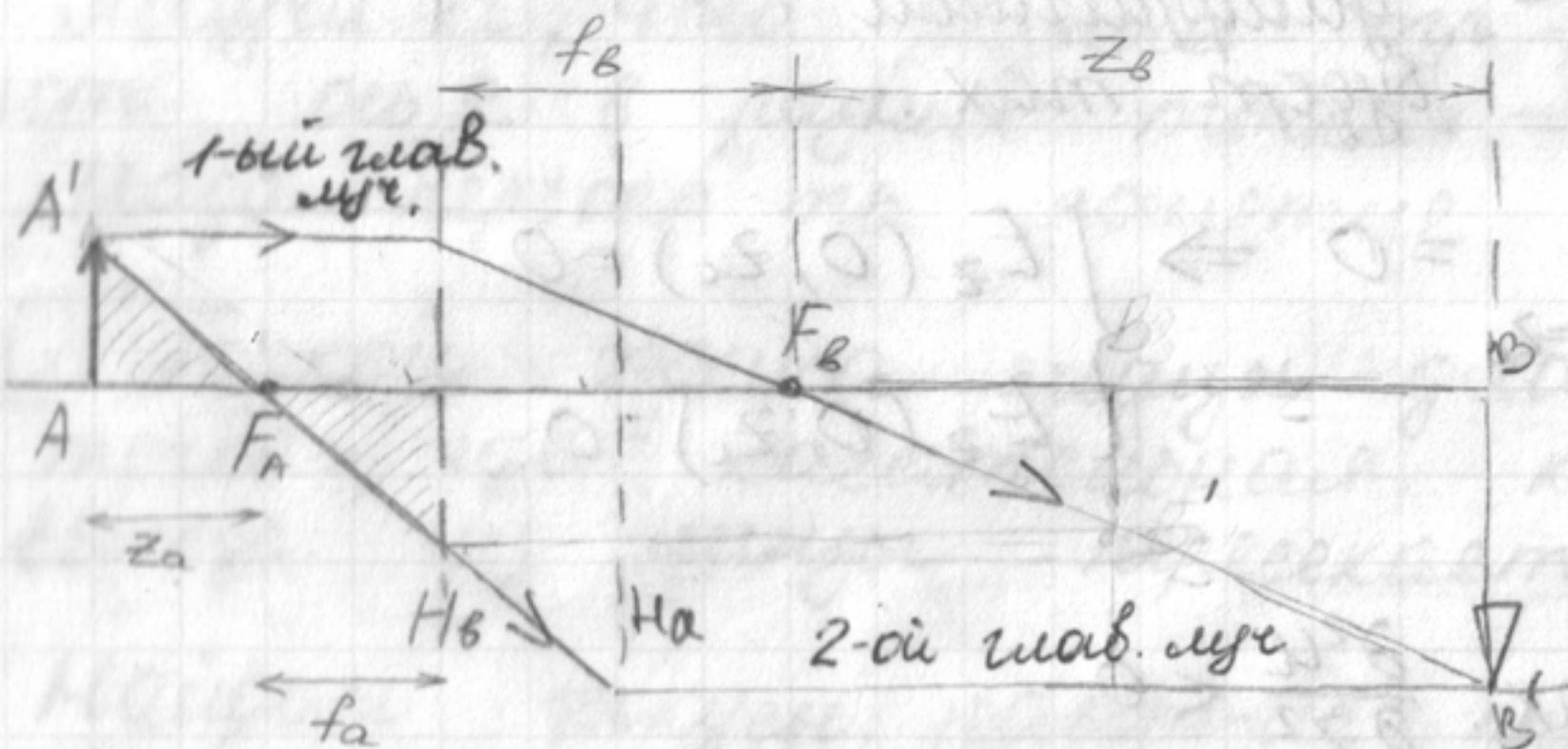
\Rightarrow Прямое продолжение луча из пр-ва
 предметов и обратное продолжение из пр-ва
 изобр-ий пересекутся в одной плоскости -
 главной плоскости (H_B)

пустим обрат-
 но // -но отп.
 оси - второй
 главной луч

Луч $\gamma_1(z)$ - первый главной луч

Эти величины позволяют найти луч
 вне линзы.

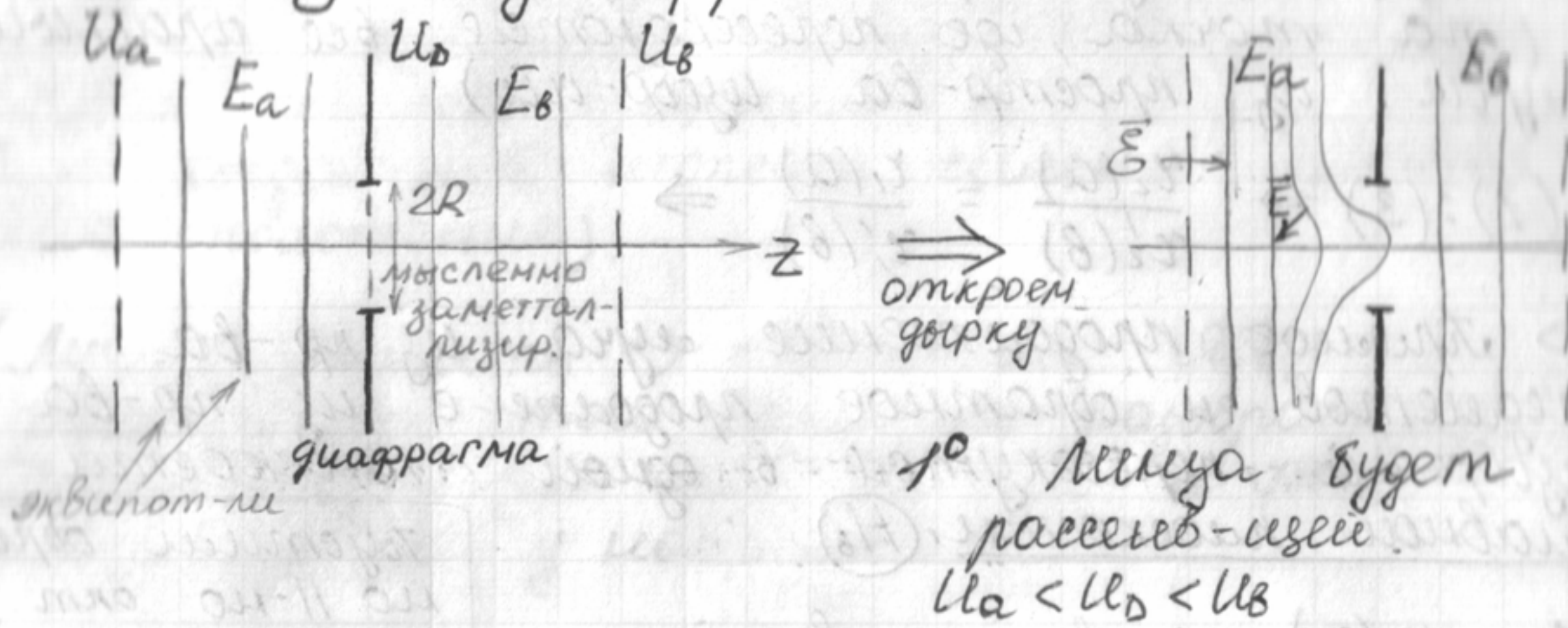
$\left. \begin{matrix} F_A, M_A \\ F_B, M_B \end{matrix} \right\}$ координатные элементы линзы.
 они позволяют построить изобр-ие.



Увеличение: $M = \frac{f_A}{z_A} = \frac{z_B}{f_B} \Rightarrow \boxed{z_A z_B = f_A f_B}$

(но здесь уже фокусные расстояния другие -
 в теории толстых линз фокусное
расст-ие - расст-ие от фокуса до главной
плоскости, а не до середины линзы, как
 в тонких

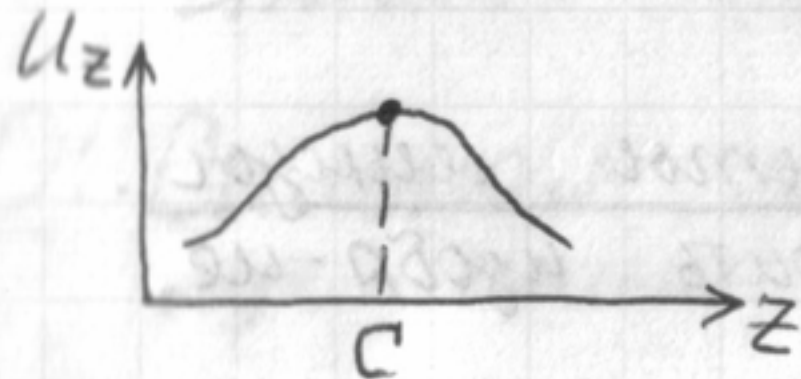
Линзы - диафрагмы.



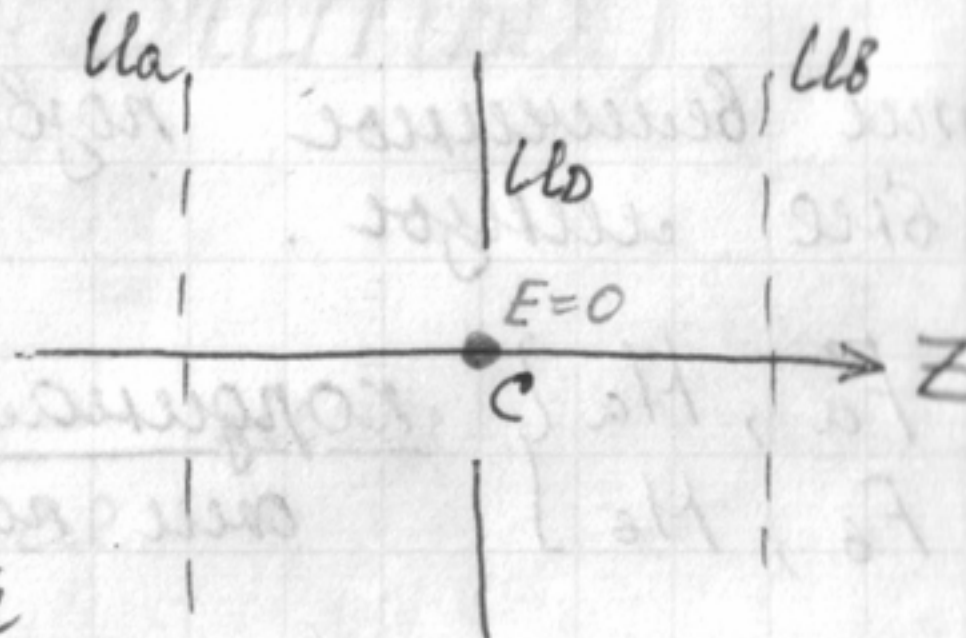
1° Линза будет рассеивающей.
 $U_a < U_b < U_c$

2° $U_b > U_a, U_c$

Зав-ть осевого пот-ца от z :



ясно, что где-то под диафрагмой будет max.



$$\text{max} \Rightarrow \left. \frac{\partial u}{\partial z} \right|_{z=z_c} = 0 \Rightarrow \begin{cases} E_z(0; z_c) = 0 \\ E_z(0; z_c) = 0 \end{cases}$$

$$z=0: \frac{\partial u}{\partial z} = 0$$

$$\text{В точке max: } \frac{\partial^2 u}{\partial z^2} < 0 \quad (\text{в т. с})$$

$$\text{Ур-ие Лапласа: } \frac{1}{r} \frac{\partial}{\partial r} \left(r \frac{\partial u}{\partial r} \right) + \frac{\partial^2 u}{\partial z^2} = 0 \Rightarrow$$

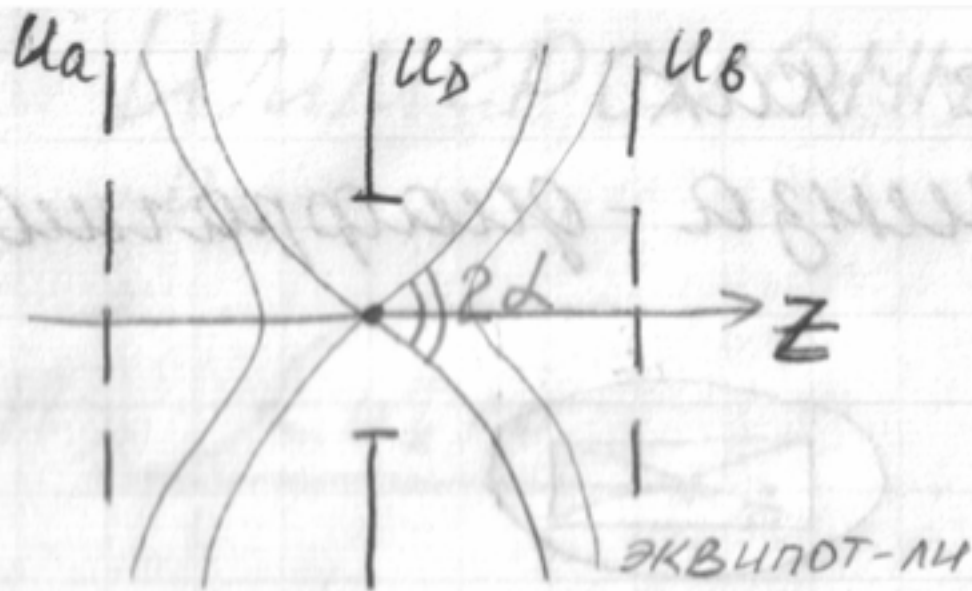
$$\Rightarrow \frac{\partial}{\partial r} \left(r \frac{\partial u}{\partial r} \right) > 0; \quad \frac{\partial u}{\partial r} + r \frac{\partial^2 u}{\partial r^2} > 0 \Rightarrow$$

$$\Rightarrow \frac{\partial^2 u}{\partial z^2} > 0$$

U_{max} , в точке C:

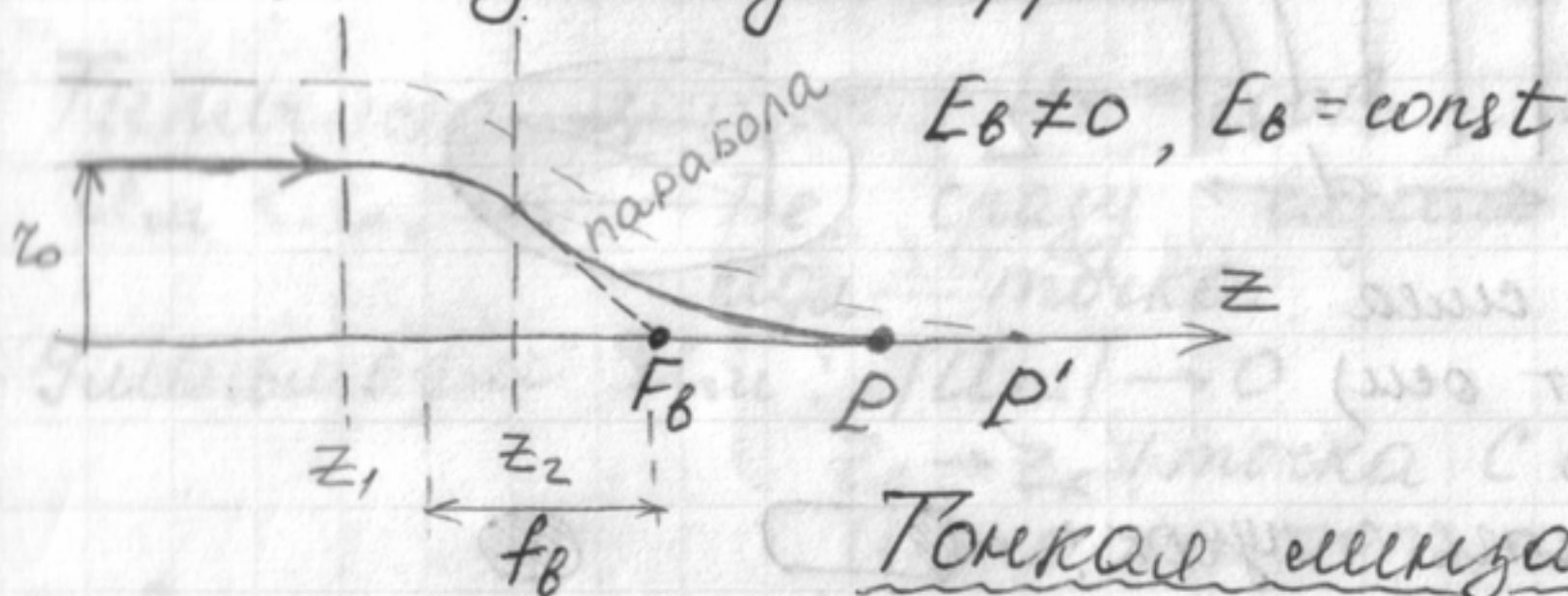
$\frac{\partial u}{\partial r} = 0$	$\frac{\partial^2 u}{\partial r^2} > 0$
$\frac{\partial u}{\partial z} = 0$	$\frac{\partial^2 u}{\partial z^2} < 0$

т.е. это седловая точка



Задача: показать, что в окрестности седи. т. (С), эквипот-ли имеют вид конуса, и угол при вершине конуса $2\alpha = 109^\circ 29'$

Фокусное рассеяние тонкой линзы — квадратично.



Тонкая линза: $\Delta z \ll z_0$

Получили, что разные тр-ли пересекают ось z в разных точках \Rightarrow т. P — не фокус. Надо переопр-ть понятие фокуса.

О: Точкой фокуса линзы — квадратично, наз. точка, где касательная к тр-ли на выходе из линзы пересекает оптич. ось

Найдем фокусн. рассеяние: про-д ур-ие дв-ч.

$$\int_{z_1}^{z_2} d(\sqrt{u_z} \frac{dz}{dz}) = - \int_{z_1}^{z_2} \frac{z u_z''}{4 \sqrt{u_z}}$$

Линза тонкая \Rightarrow можно считать $z = z_0$, и считать $u_z \approx u_0$.

$$u_0 \frac{dz}{dz} \Big|_{z_1}^{z_2} = - \frac{z_0}{4} u_z' \Big|_{z_1}^{z_2} = \frac{z_0}{4} (E_b - E_a)$$

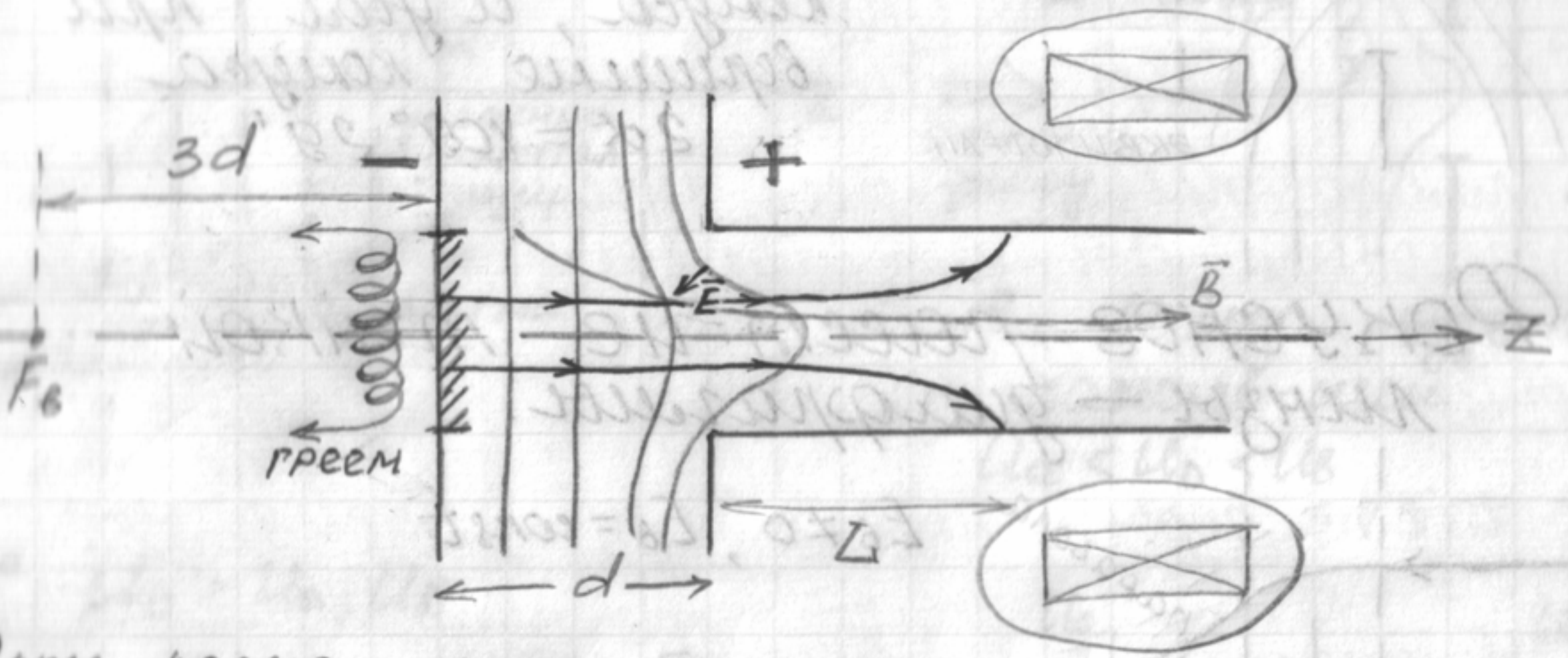
$$\frac{dz}{dz} \Big|_{z_1} = 0$$

$$\frac{dz}{dz} \Big|_{z_2} = - \frac{z_0}{f_B}$$

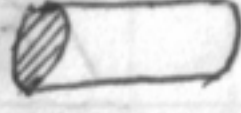
$$f_B = \frac{4 u_0}{E_a - E_b}$$

Линза — квадр. м.д. и рассеив. и соб. (если $f_B > 0$ — собир., $f_B < 0$ — рассеив. смотря какое $(E_a - E_b)$)

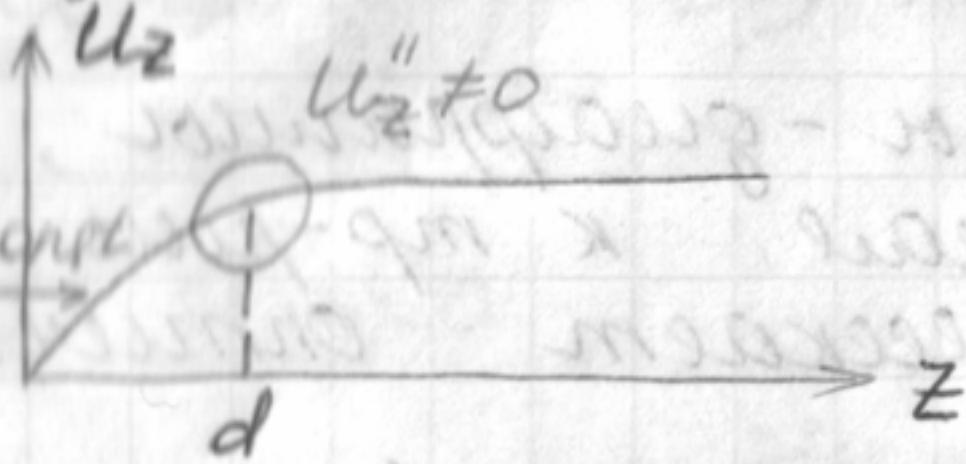
Анодное отверстие как рассеивающая линза - диаграмма



Есть радиал сила $F_r > 0$ (напр. от оси)

Надо получить пучок:  

Но если длинной канал, то все эл-мы сядут на стенки, на выход ничего не попадет.



Т.е. это линза - диаграмма, у которой

$$U_D = U_a, E_D = 0$$

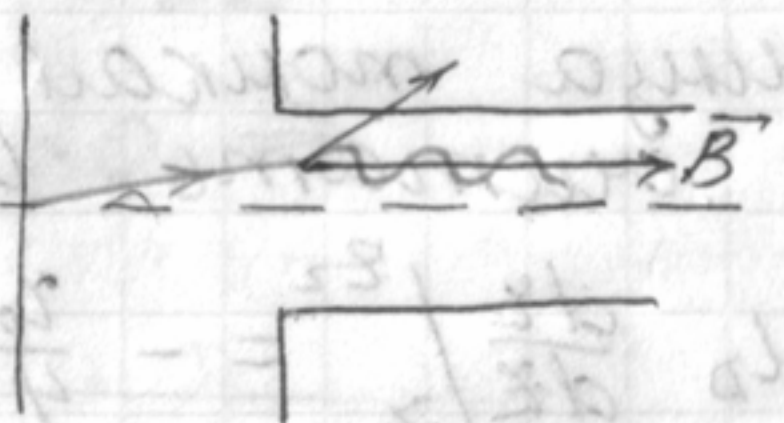
$$E_a = -\frac{U_a}{d}$$

Ее фокусное расст-е: $f_b = \frac{4U_a}{-U_a/d} = -4d$

Ставит еще соленоиды:

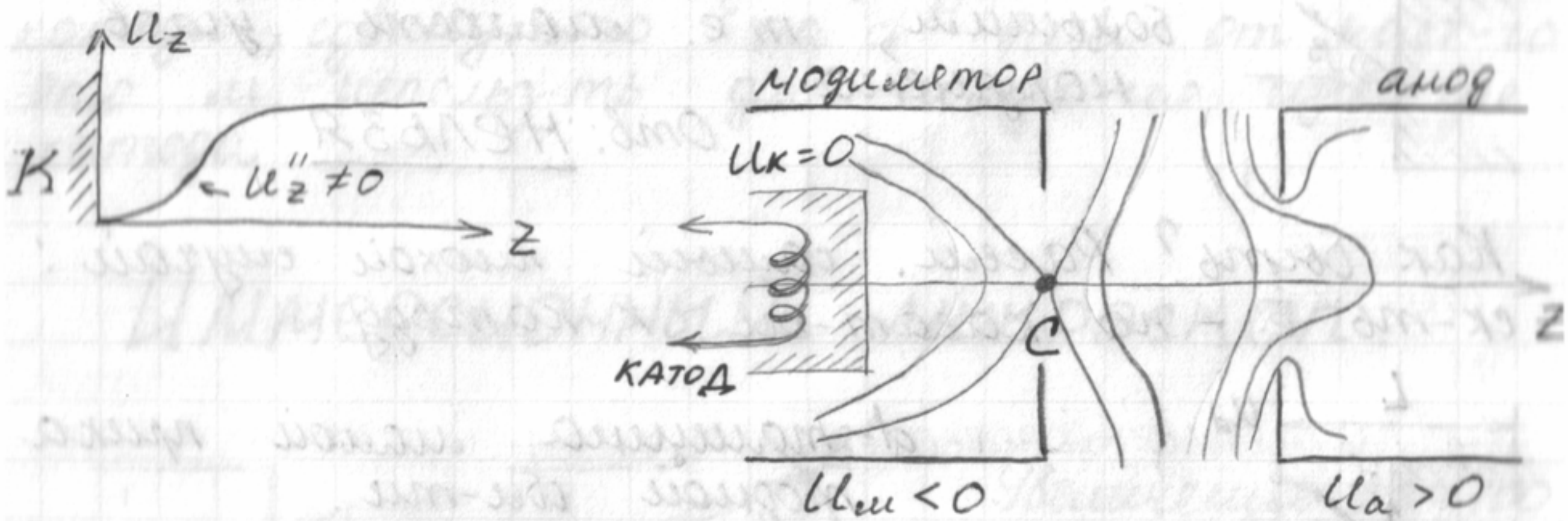
$\chi_{\perp} \sim \frac{1}{B}$

F_b



Рассчитают χ_{\perp} т.о., что пучок в канал проходит.

ИММЕРСИОННЫЕ ОБЪЕКТИВЫ.



Типичные цифры: $U_a = 300\text{В}$; $U_m = -10\text{В}$
 $U_m < U_k, U_a$. Т.е. сразу видим, что у нас
 есть точка.

Уменьшаем U_m : $|U_m| \rightarrow 0$

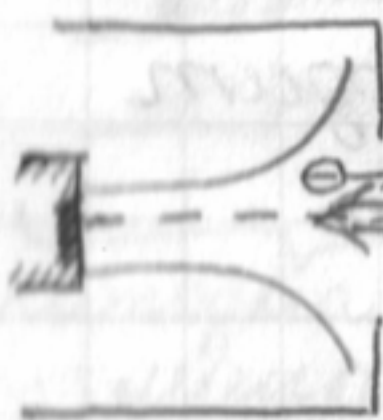
$z_c \rightarrow z_k$ (точка С едет к катоду)

$U_c \rightarrow 0$ (ее пот-я падает)

и в конце концов:

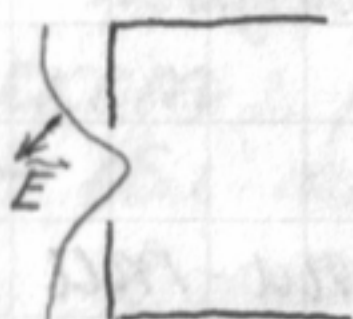


Дальше!



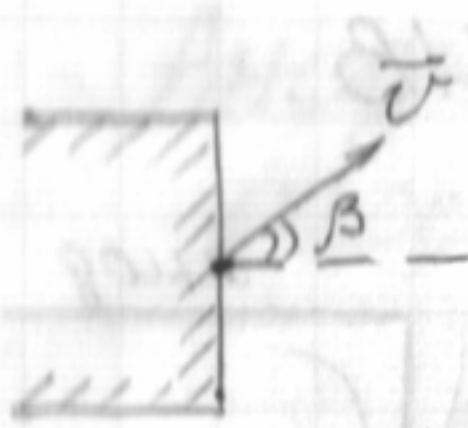
Вначале, на всем катоде было
 поле тормозящее. А теперь,
 когда эквив-ли разошлись,
 поле E стало ускоряющим,
 т.е. появился ток, и он зав-т
 от пот-я модулятора.

Т.е. и меньше яркость луча (в TV, ...)



В целом получится:
 собир. часть сильнее (там
 поле меньше, ск-ть пролет
 \bar{e} меньше), в рассеивающей
 части - \bar{e} летит быстрее
 \Rightarrow в целом луча собираются.

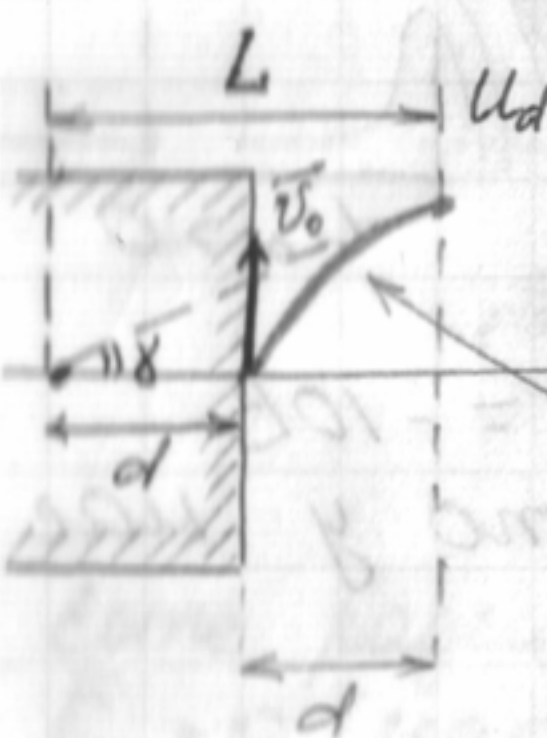
Можем ли в случае иммерс. объектива
 понов-ся ур-ем паракс. тр-ий?



Угол выхода ч-цы с катода β и.д. большим, т.е. малость углов нарушена.

Отв: НЕЛЬЗЯ

Как быть? Рассм. самый плохой случай: ск-ть \bar{e} - по касат-ой к катоду



d - толщина малой прикатодной об-ти.

z Всегда и. найти такое d , что будет $E = const$

$$\left. \begin{aligned} z &= \frac{at^2}{2} = \frac{e_0 E}{2m_0} t^2 \\ \tau &= v_0 t \end{aligned} \right\} z = \frac{e_0 E \tau^2}{2m_0 v_0^2} - \text{парабола}$$

Угол касательной в (-) вылета:

$$\text{tg } \delta = \left(\frac{dz}{d\tau} \right)^{-1} \Big|_{z=d} = \sqrt{\frac{m_0 v_0^2}{2E_0 e_0 d}}$$

$$\frac{m_0 v_0^2}{2} = kT ; E_0 d = U_d$$

$$\text{tg } \delta = \sqrt{\frac{kT}{e_0 U_d}}$$

- угол, под котор. \bar{e} выходит из однород. поле.

$$] d \approx 0,1 \text{ дном.} \Rightarrow U_d \approx 1 \text{ В}$$



$$\frac{kT}{e} \approx 0,1 \text{ В}$$

$$\text{tg } \delta \approx 0,3 \ll 1$$

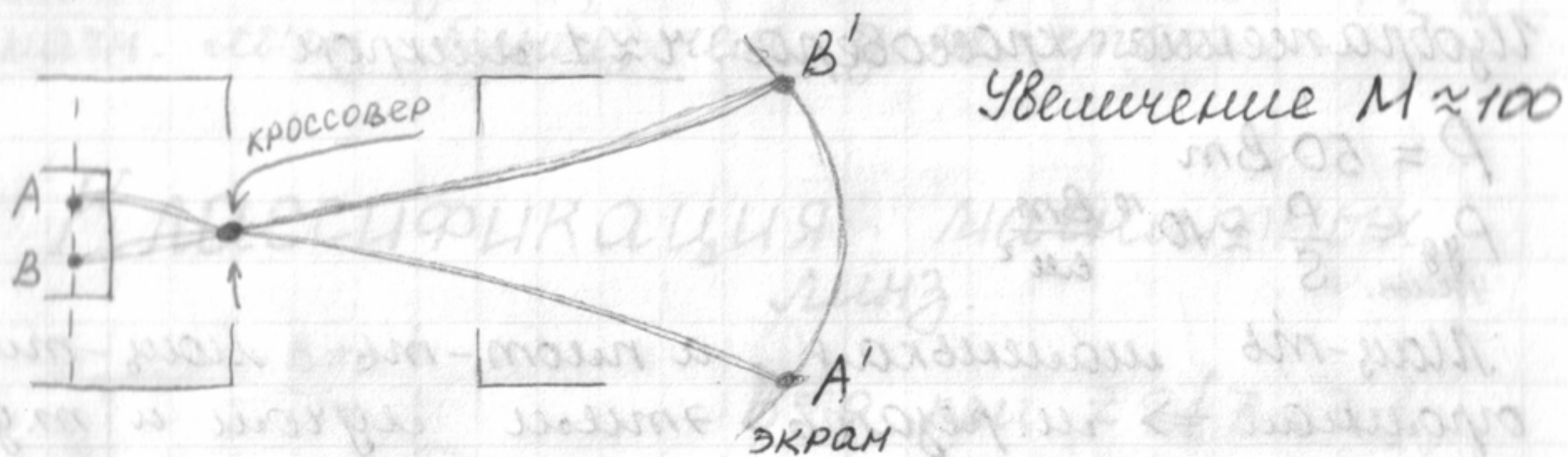
Т.е. угол начинает с ну-ти d можем полог-ар паракс. прибли-ам.

где касат-я пересекается с осью z? ($L=?$)

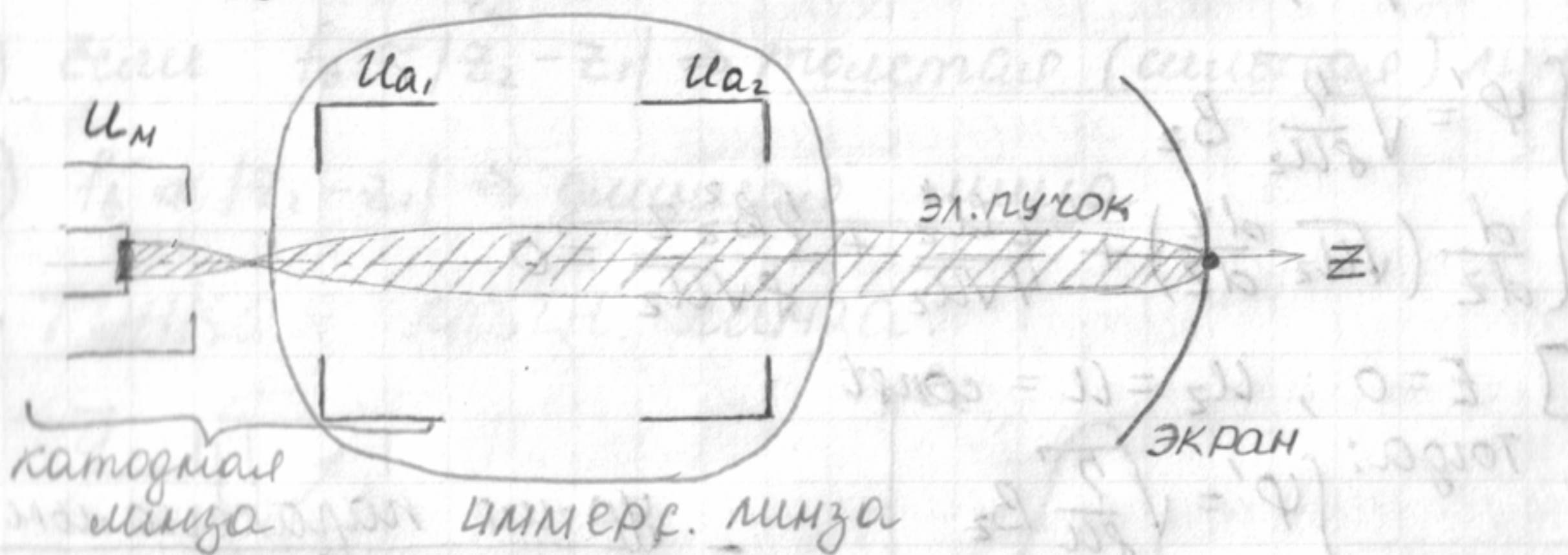
$$L = \frac{\tau/2 = d}{\text{tg } \delta} = 2d$$

Т.е. e^- как бы выходит из мнимого катода, сдвинутого на d влево от наст-го катода. Это м. использ-ть для получ-ия цобр-ия катода.

ИММЕРСИОННЫЙ МИКРОСКОП.



Проекторы эл-но-лучевых трубок (эл-ные проекторы).



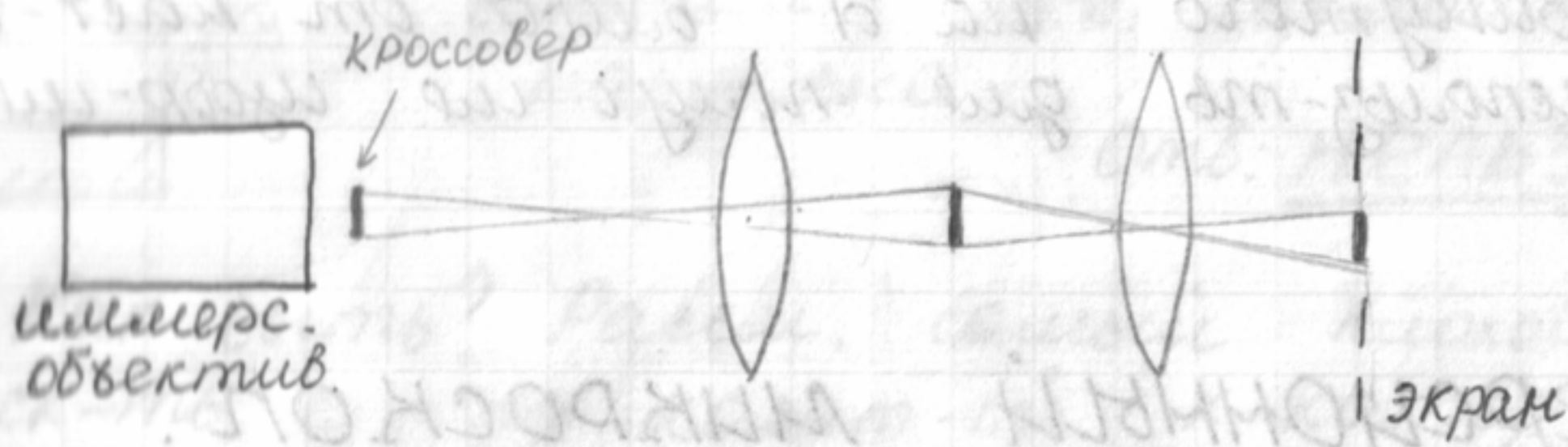
Хотим получить пучок min толщины (точку на экране). На экране получаем цобр-ие катода. Но он имеет некот. размер!

Кроссовер — обит-ть, где пучок почти сохр-ся в точку.

Т.е. получить надо цобр-ие кроссовера (настраивают линзу соответ-ным образом)

Линза: надо сделать яр-ть луча (т.е. пот-ю модулятора) \Rightarrow меньшей св-ва катод. линзы, т.е. сбиваем фокусировку (пятнышко вместо точки)

Электронно-лучевая технология.



Цообразование кроссовера: $\gamma \approx 1$ микрон

$$P = 50 \text{ Вт}$$

$$P_{\text{уд}} = \frac{P}{S} \approx 10^{10} \frac{\text{Вт}}{\text{см}^2}$$

Мощ-ть маленькая, а плот-ть мощ-ти огромная \Rightarrow м. резать этии лучом и т.д.

Уравнение параксиальных тр-рей в магнитном поле.

$$\begin{cases} \varphi' = \sqrt{\frac{\eta}{8U_z}} B_z \\ \frac{d}{dz} \left(\sqrt{U_z} \frac{d\chi}{dz} \right) + \frac{\eta U_z''}{4\sqrt{U_z}} + \frac{\eta B_z^2 z}{8\sqrt{U_z}} = 0 \end{cases}$$

$$\left. \begin{array}{l} E=0; \\ U_z = U = \text{const} \end{array} \right\}$$

Тогда:

$$\begin{cases} \varphi' = \sqrt{\frac{\eta}{8U}} B_z \\ \frac{d^2\chi}{dz^2} + \frac{\eta B_z^2 z}{8U} = 0 \end{cases} \quad \text{— ур-ие параксиальном. тр-рей в м.п.}$$

1° Первое ур-ие даёт поворот изображения

2° Любое маг. поле B обладает шимзовым дейс-ем (отклоняет тр-рей)

3° $\frac{d^2\chi}{dz^2} < 0 \Rightarrow$ линза собирающая

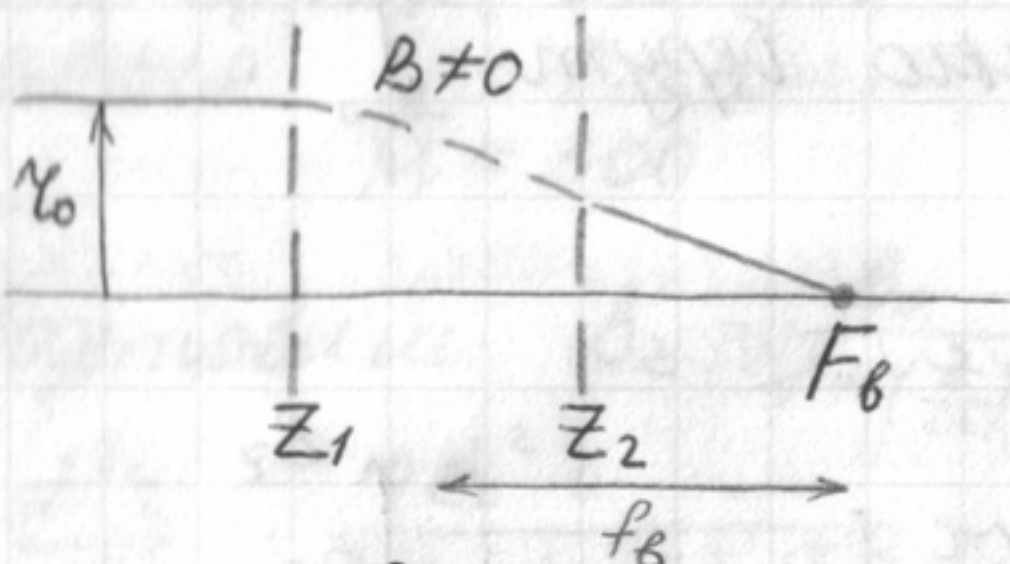
4° св-во фокусировки не зависит от знака м.п. B_z (т.к. входит B_z^2)

5° Если $\frac{B_z^2}{U} = \text{const}$, то ур-е не решается.

⊕ магн. линз по сравн. с эл.-стат. линзами

- 1) В эл. стат. линзах нужна для сильного пучка большая разн-ть пот-лов \Rightarrow пробой
- 2) В эл. стат. линзах электроды надо помещать в вакууме.
А в магн. линзах - не обязательно.
можно показать, что оптич. сша ($\frac{1}{f}$) у магн. линз больше, чем у эл.-стат.

Классификация магнитных линз.



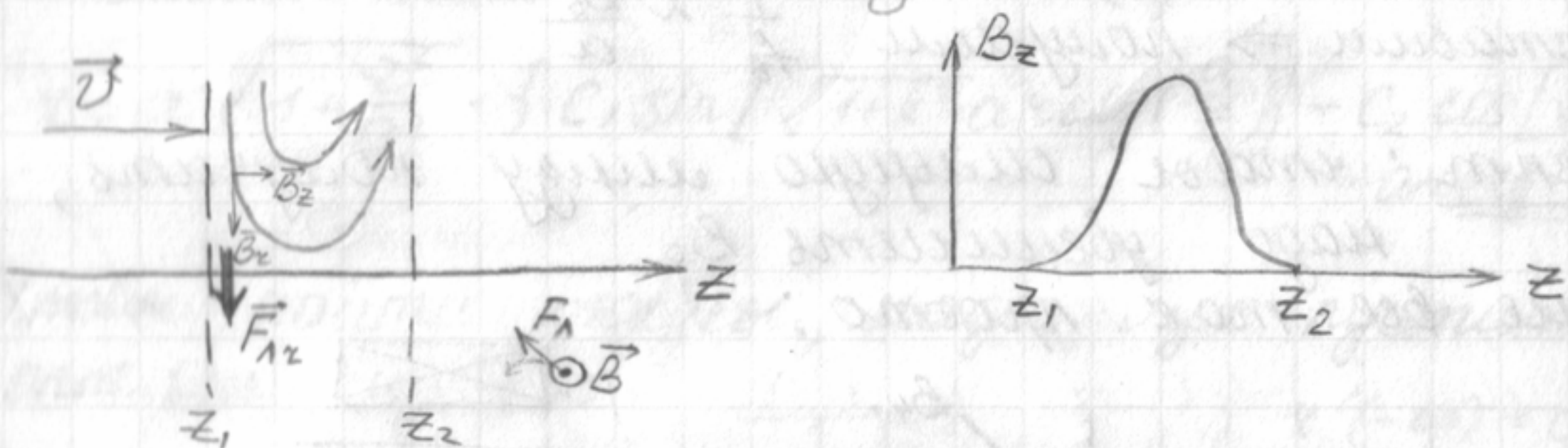
$B \neq 0$ при $z \in [z_1; z_2]$

1) Если $f_B \gg |z_2 - z_1| \Rightarrow$
 \Rightarrow тонкая линза (короткая)

2) Если $f_B \approx |z_2 - z_1| \Rightarrow$ толстая (сильная) линза

3) $f_B \ll |z_2 - z_1| \Rightarrow$ длинная линза

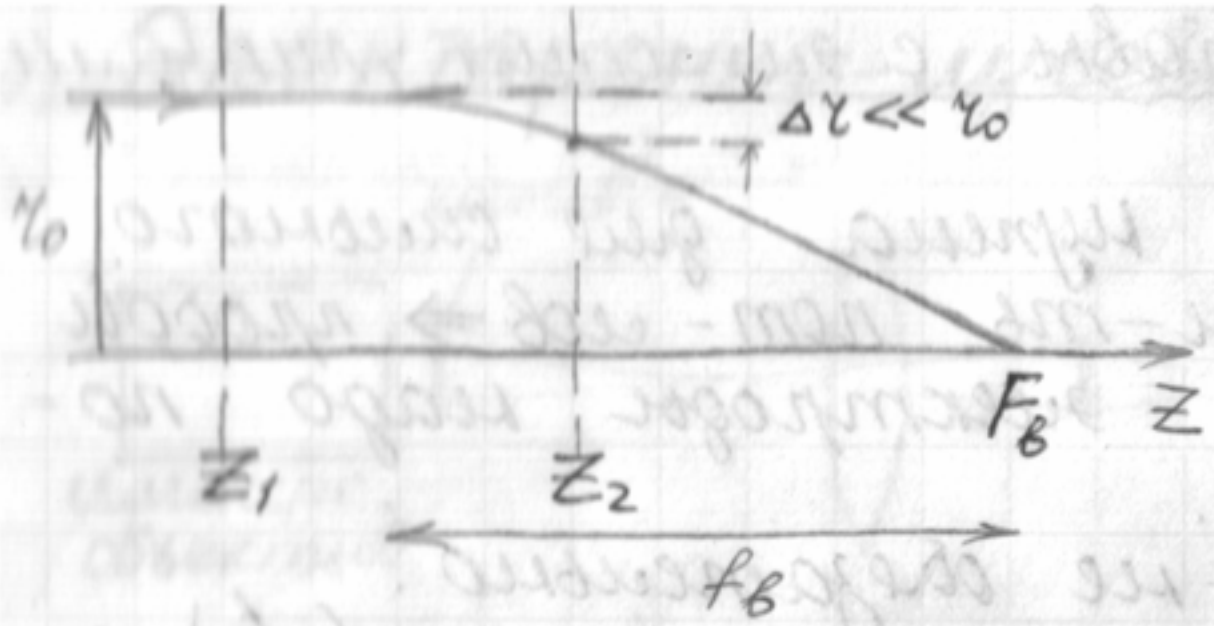
• Тонкая магн. линза:



Копил-тые \vec{v}_z и \vec{B}_z дают $\vec{F}_{L\varphi} \neq 0$

$\vec{F}_{L\varphi}$ и \vec{v}_z дают $F_{Lz} < 0$

$\dot{\varphi} = \frac{q\psi}{2\pi r^2} > 0$ - \vec{e} крутится всё время в одну и ту же сторону \Rightarrow
(т. Буша) $\Rightarrow F_{Lz} < 0$ - все время толкает \vec{e} к оси



$$\int_{z_1}^{z_2} \frac{d^2 y}{dz^2} dz = - \int_{z_1}^{z_2} \frac{\mu B_z^2}{2U} dz$$

$$y \approx y_0 \quad \frac{dy}{dz} \Big|_{z_1}^{z_2} = - \frac{\mu y_0}{2U} \int_{z_1}^{z_2} B_z^2 dz$$

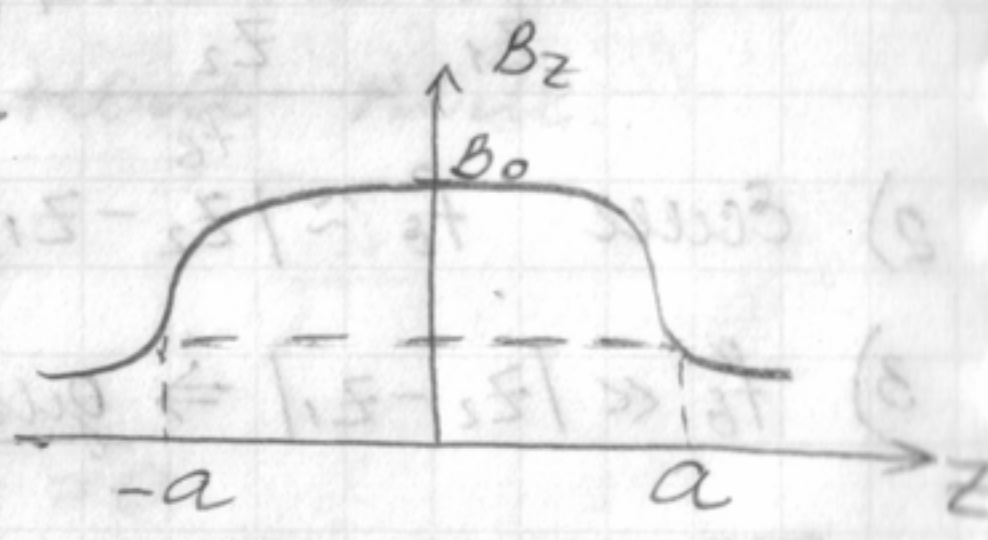
$$\frac{dy}{dz} \Big|_{z_1} = 0 \quad ; \quad \frac{dy}{dz} \Big|_{z_2} = - \frac{y_0}{f_B}$$

$$\frac{1}{f_B} = \frac{\mu}{2U} \int_{z_1}^{z_2} B_z^2 dz \quad \text{Обычно берут } \int_{-\infty}^{\infty}$$

$$\boxed{\frac{1}{f_B} = \frac{\mu}{2U} \int_{-\infty}^{\infty} B_z^2 dz}$$

• Сильные магн. линзы:

$$B_z = \frac{B_0}{1 + (\frac{z}{a})^2} \quad \text{— аппроксимация}$$

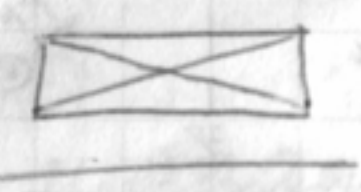
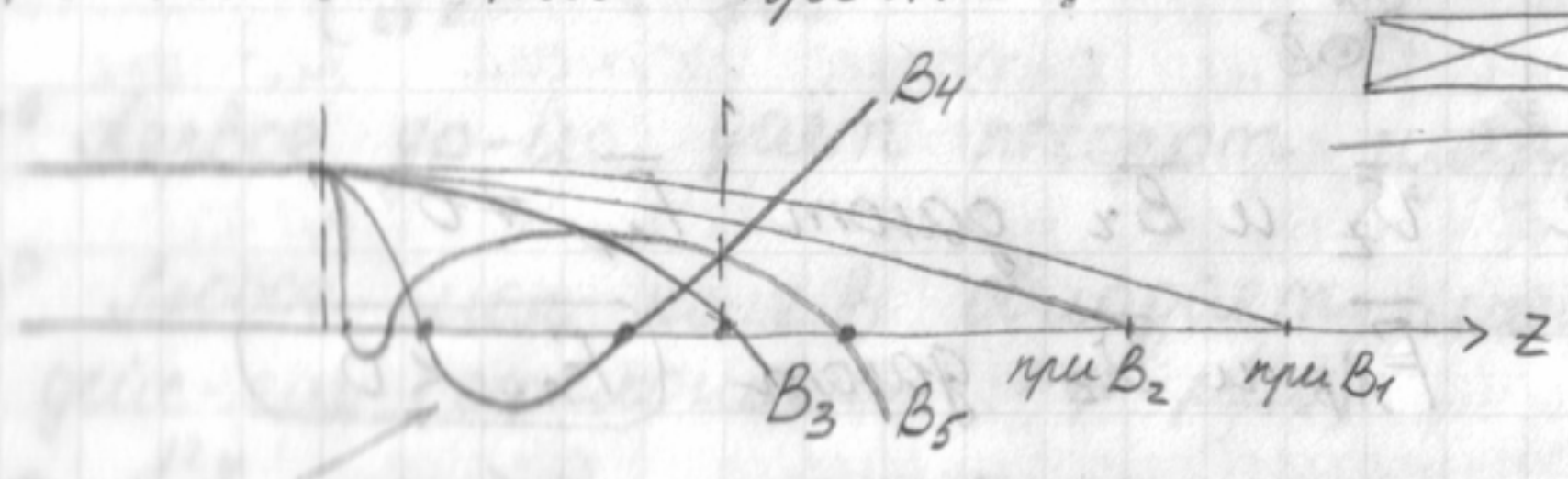


(аппроксимируем реальное распр-ие поле)

Подставим \Rightarrow получим $\frac{1}{f_B} \sim \frac{B_0^2}{a}$

Рецепт: чтобы сильнее линзу получить, надо увеличить B_0 .

Но не все так просто:



$$B_1 < B_2 < B_3$$

$$F_2 < 0$$

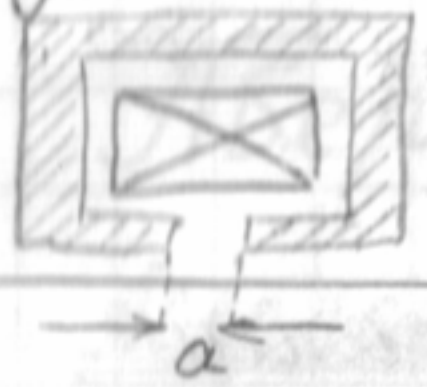
Т.к. F_2 всегда $<$ оси \Rightarrow будет рассеив. линза
 при B_4 — в фокусе, при B_5 — три и т.д.
 (многократная фокусировка)

Почему она мне вредна?

Последний фокус (при B_0) - либо на краю (z_2)
либо сразу за ним. Нач. с нек. знач-я м.п.
больше опт. сша не растет.

Надо уменьшить a .

Окружим соленоид ферромагнетиком:



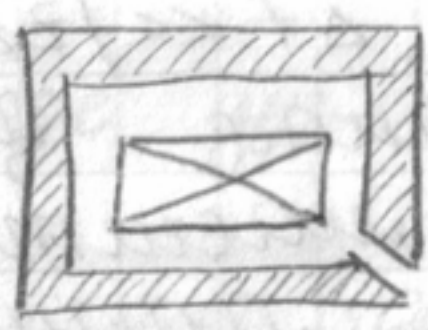
ферром-к

поле выходит только в дощку,
остальное - экранир-се.

(бронированная шина)

Можно сделать так:

здесь вообще можно
добиться $f_0 \approx 1$ мм
 $M \approx 300$



Подставим $B_z = \frac{B_0}{1 + (\frac{z}{a})^2}$ в ур-ие:

$$\frac{d^2 \psi}{dz^2} + \frac{\gamma B_0^2 z}{8\mu [1 + (z/a)^2]} = 0$$

Введем $y = \frac{\psi}{a}$, $x = \frac{z}{a}$, $k^2 = \frac{\gamma B_0^2 a^2}{8\mu} \Rightarrow$

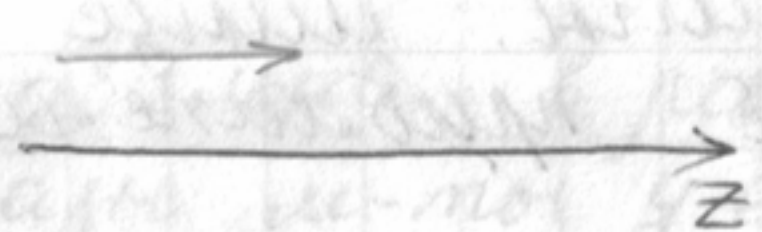
$$\Rightarrow y'' = - \frac{k^2 y}{(1+x^2)^2}$$

Реш-ие м.б. запише.
в виде:

можем свести к з.о.

$$\psi = a \sqrt{1 + \frac{z^2}{a^2}} \cdot \left\{ C_1 \sin \left[\sqrt{1+k^2} a \operatorname{arctg} \left(\frac{a}{z} \right) \right] + C_2 \cos \left[\sqrt{1+k^2} \cdot a \operatorname{arctg} \left(\frac{a}{z} \right) \right] \right\}$$

Чтобы найти фокусы, надо луч пустить ||-но
опт. осе $\psi \rightarrow \infty$



$$\psi'(-\infty) = 0$$

$$\psi(-\infty) = \psi_0$$

$$f_2 = -f_1 = \frac{a}{\sin \left[n \frac{\pi}{\sqrt{1+k^2}} \right]}, \text{ где } n = 1, 2, \dots$$

$$n_{\max} < \sqrt{1+k^2}$$

Если $k^2 < 3 \Rightarrow n_{\max} = 1$ - один фокус

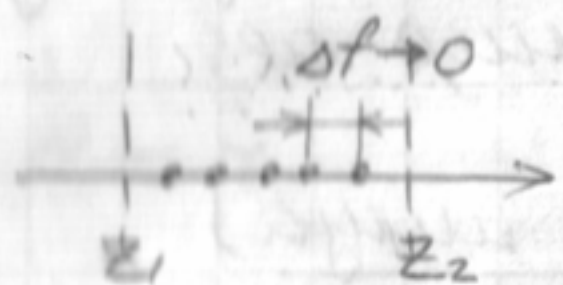
$3 < k^2 < 8 \Rightarrow n_{\max} = 2$ - два

$8 < k^2 < 15 \Rightarrow n_{\max} = 3$, и т.д.

Т.е. яви-я многократ. фокусировки отсущт-вует, когда $k^2 < 3$. Т.е. увеличивать м.п. надо, пока не достигнем этого.

• Длинные магнитные линзы.

$B_0 \rightarrow \infty$, Фокусов очень много, $n_{max} \rightarrow \infty$



$$f_0 \ll |z_2 - z_1|$$

Рассет-ие м.п. между сосед. фокусами

$$\Delta f \ll |z_2 - z_1|$$

Т.е. это длинная маг. линза.

Δf - отр-ет масштаб эл-ой тр-ции

$|z_2 - z_1|$ - опред. масштаб м.п.



В длинной маг. линзе масштаб эл-ой тр-ции \ll масштаба маг. поля

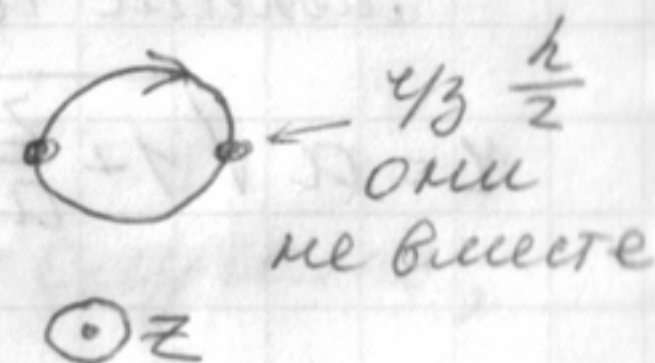
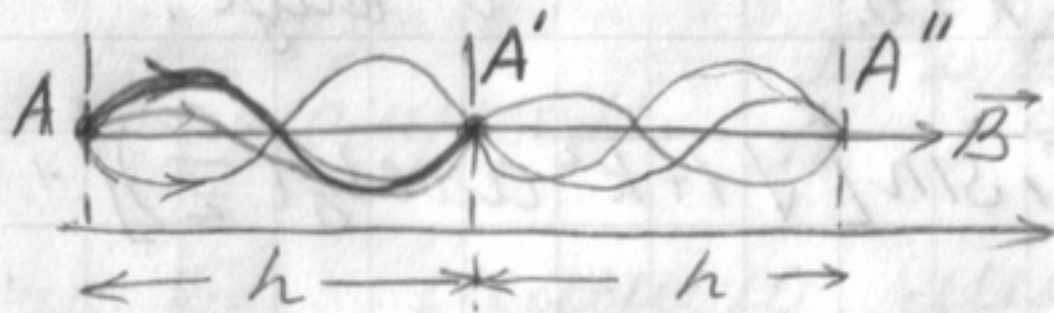
$$\chi' \ll 1, \quad \chi\varphi' \ll 1$$

циклотр. период

$$v = v_z; \text{ шаг тр-ции } h = v_{||} T_c = v T_c = \sqrt{2\eta} u \frac{2\pi}{\omega B} -$$

-одинакова для всех \bar{e}

эл-м.п. выходит по разным углам



Линейн. перенос цитр-ции; $M = 1$

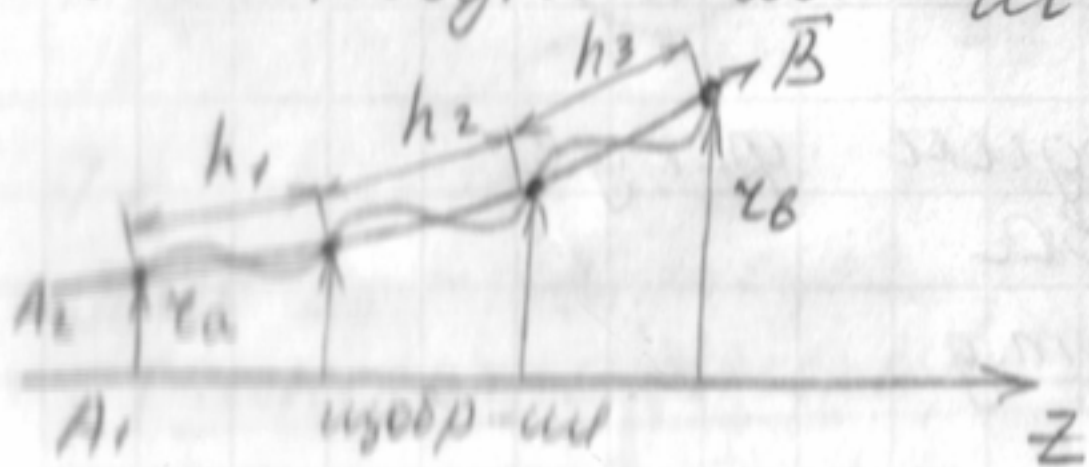
В длинной маг. линзе поле слабееоднор. \Rightarrow

\Rightarrow вып. аднаб. приближе-ие; $T_c \cdot \left| \frac{dB}{dt} \right| \ll B$

В слабееодн. поле

$$\frac{d\vec{R}}{dt} = v_{||} \frac{\vec{B}}{B} + \frac{[\vec{E} \times \vec{B}]}{B^2} = 0$$

град дрейфа = 0



$$M = ?$$

Приравняем потоки: $\Psi = \text{const}$

$$\Psi = \pi \gamma_a^2 V_a = \pi \gamma_b^2 V_b$$

$$M = \sqrt{\frac{V_a}{V_b}} = \frac{\gamma_b}{\gamma_a} \quad \text{- коэффициент увеличения}$$

Аберрации ЭЛЕКТРОННЫХ ЛМЗ.

О: Аберрации - искажение изображения

Предполагаем при выводе ур-й паракс. тр-ры

- 1° маложеретичность
- 2° $\rho = 0$ - пренебрегаем простр. зарядом
- 3° параксальность
- 4° Акс. симм-я задачи: $\frac{\partial}{\partial \varphi} = 0$

Нарушение \forall из уел-й приводит к аберрации

- 1° \rightarrow хроматич. аб-ция
- 2° \rightarrow аб-ция постр-го заряда
- 3° \rightarrow аб-ция
- 4° \rightarrow геометрическая

Хроматическая аберрация:

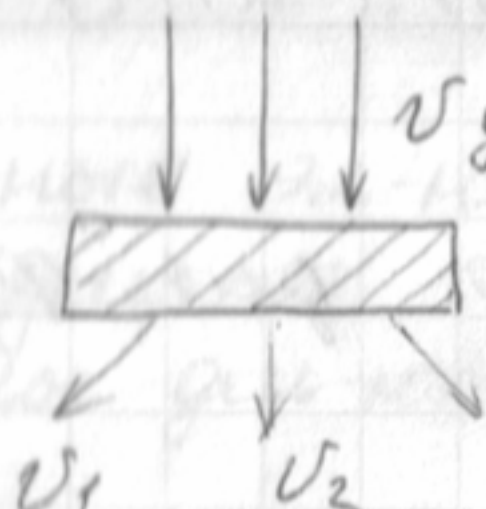
Причины: 1) разн. скор-ти: у разных \bar{e} -разм.

коэф-т увеличения $n = \sqrt{u + u_0}$

$$2) \frac{d^2 \chi}{dz^2} + \frac{2V_z^2 \chi}{\rho(u)} = 0$$

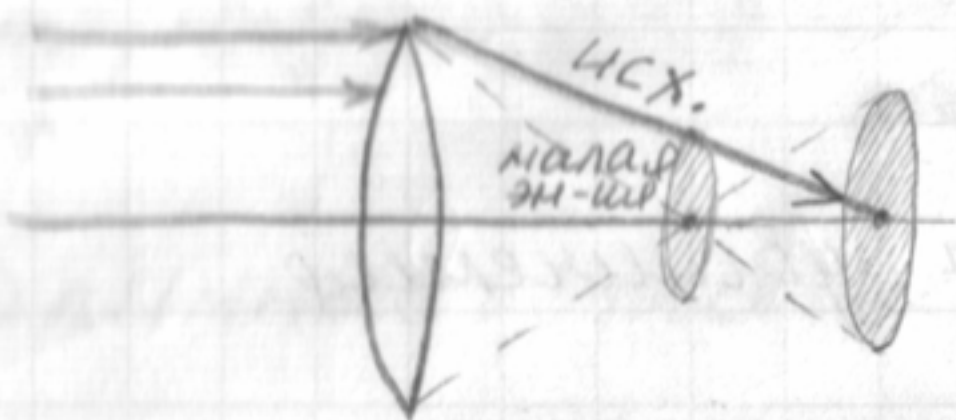
$\rho(u)$ - неустойчива в реальн. уел-ях
 \Rightarrow в разн. м-тах у \bar{e} -разм. ЭМ-д

3)



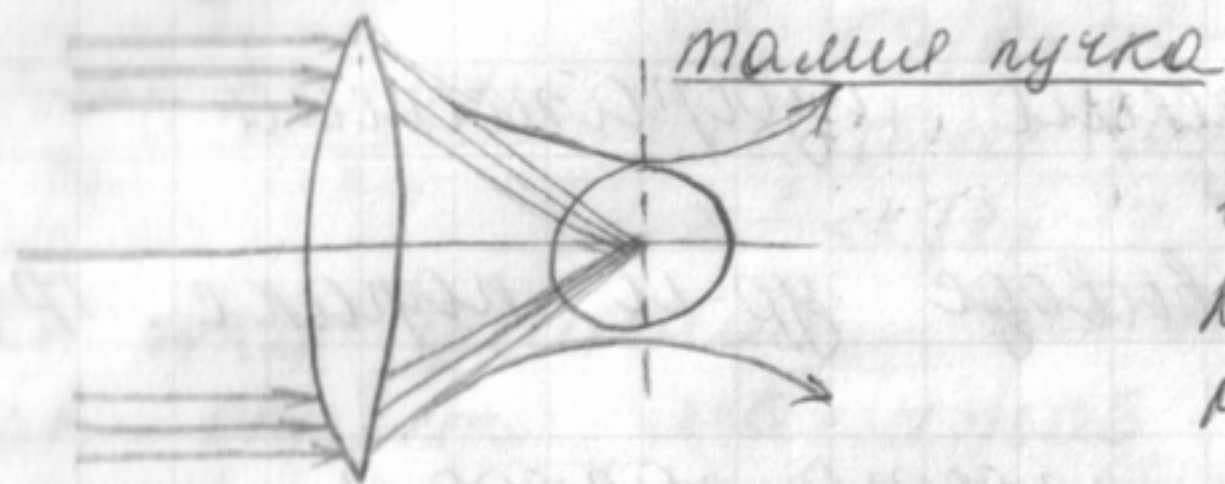
на выходе разные скор-ти.

Как хром. aberrации влияют на изображение?



Вместо точки - кресток.

• Аберрации полей пространств зарядов: ЭДП



В обл-ти, куда св-ся все \bar{e} , возникает сильное кулон. поле. Оно отклоняет тр-ции.

• Геометр. аб-ции:

Причины: - паразит-ие аксиал. св-ия - можно убрать.

- паразит-ие параке-ти - есть всегда, от него до конца не избавиться!

Были предп-ие: $\chi' \ll 1$, $\chi\Phi' \ll 1$

$$B_z(\chi, z) \approx B_z(0, z)$$

$$U(\chi, z) \approx U(0, z) = U_z$$

Надо $\sqrt{1 + \chi'^2 + \chi^2\Phi'^2}$ - в мед:

$$\sqrt{1+x} = 1 + \frac{x}{2}$$

Лучше точнее в мед: $B_z(\chi, z) \approx B_z(z) + \chi^2 B_1(z)$

и напр-ия $U_z(\chi, z) = U_z(z) + \chi^2 U_1(z)$

$B_z \rightarrow$ в мед

Написать ур. Эйлера - Остроград. для функ-ла, решать его.

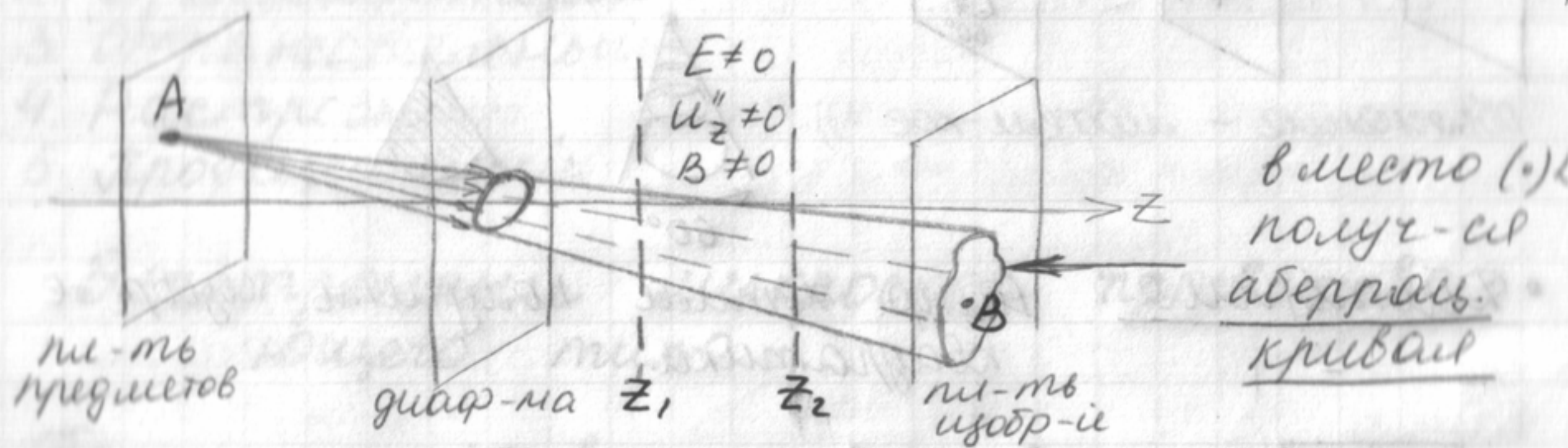
Пр: $\sin x = ?$

$\sin x = x$, а точнее:

$$\sin x = x - \frac{x^3}{6} + \dots$$

Если раскинем-ем до 3-ей степени — теория аб-ции 3^{го} порядка, до 5^{го} пор-ка и т.д.

Рассм. резу-ты теории аб-ции 3^{го} порядка:



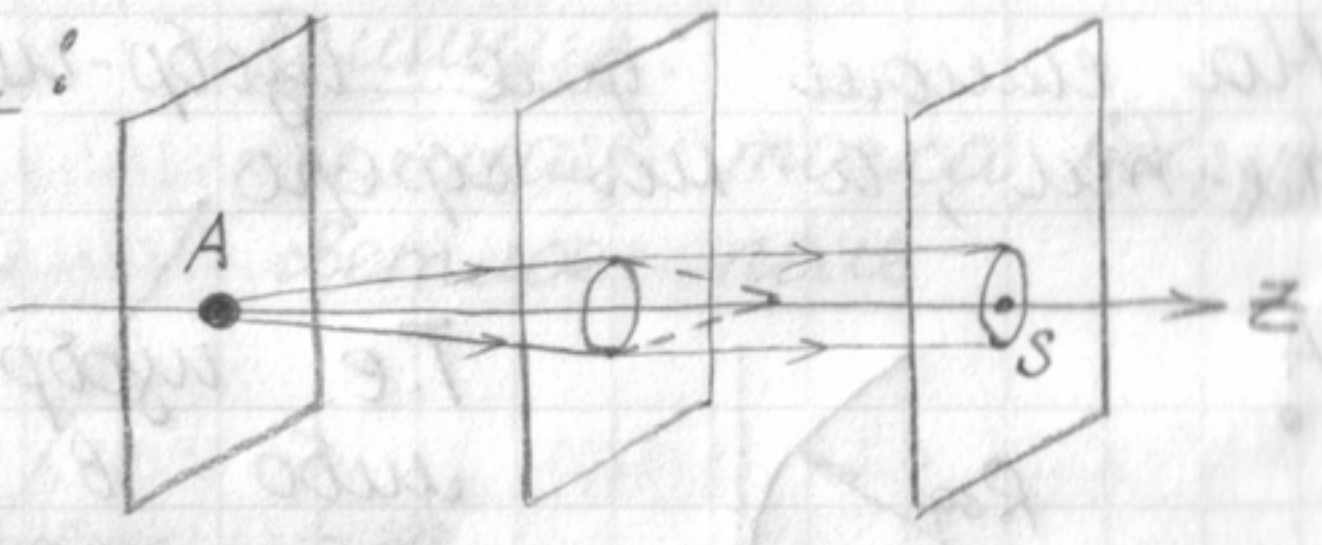
Теория аб-ции заменяется этими кривыми

Основ. виды абберации:

- 1) Сферич. аб-ция
- 2) Астигматизм
- 3) Кома (Золотая)
- 4) Дисторсия
- 5) Кривизна поля изображения.

Сфер. абберация:

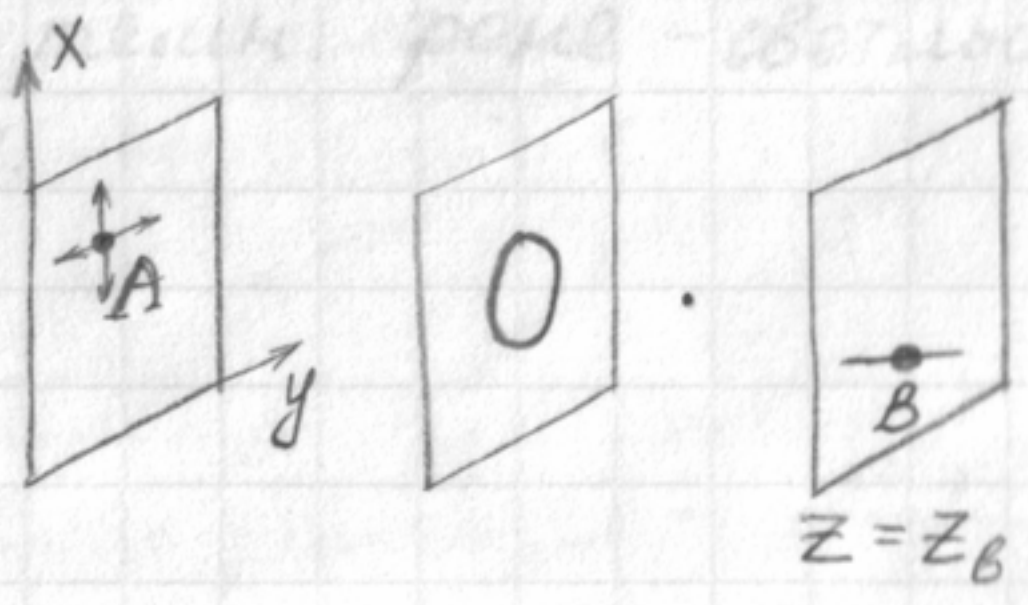
A — на оси.
 Всё равно на экране — окр-ть



Сила-меньше; $F_z = -a, z - a_3 z^3$
 На \bar{e} кот. ближе к оси, действует меньше сила!

Астигматизм:

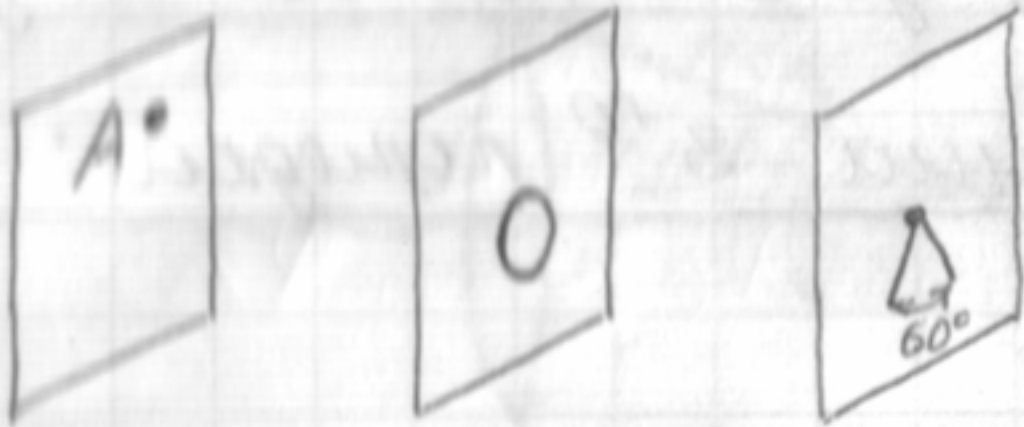
Разные эл-ные тр-ри фокусиру-ся по-разному (силы дей-ют разные)



Вместо точки B — черточка

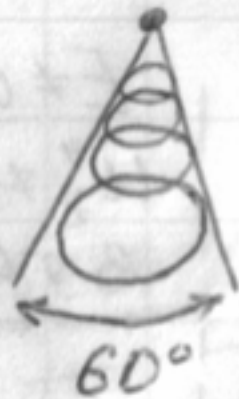
$z = z_0 + \delta$; δ — малая добавка. Сдвигаем пл-ть влево \Rightarrow — о о о |

КОМА ("заметал" - англ.)

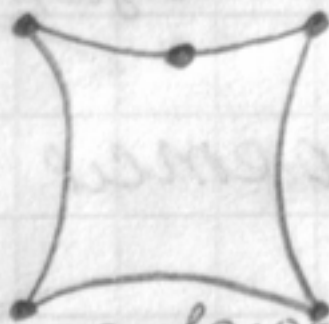
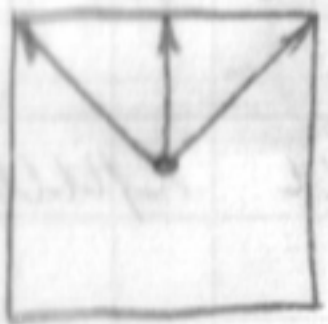


На экране - семейство окр-тей, вписанных в $\angle 60^\circ$

объяснение - матем-код =))



Дисторсия: напр. хотим получить изобр-е квадратика



ИЛИ

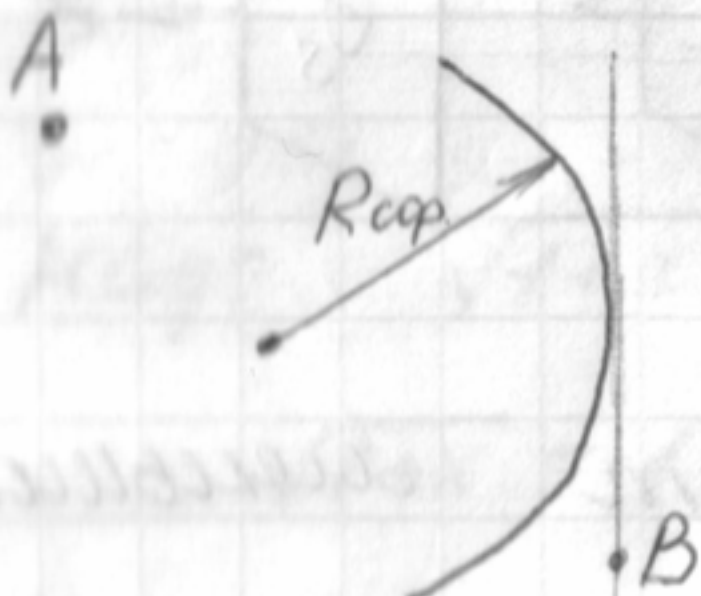


запаздывают точки по мере увеличе-я радиуса (подушкообразная дисторсия)

опережают (бочкообразная дисторсия)

Кривизна полярное изображение:

На самом деле изобр-е получается не на п-ти, а на сфере.



Т.е. изобр-е размыто либо в центре, либо по краям.

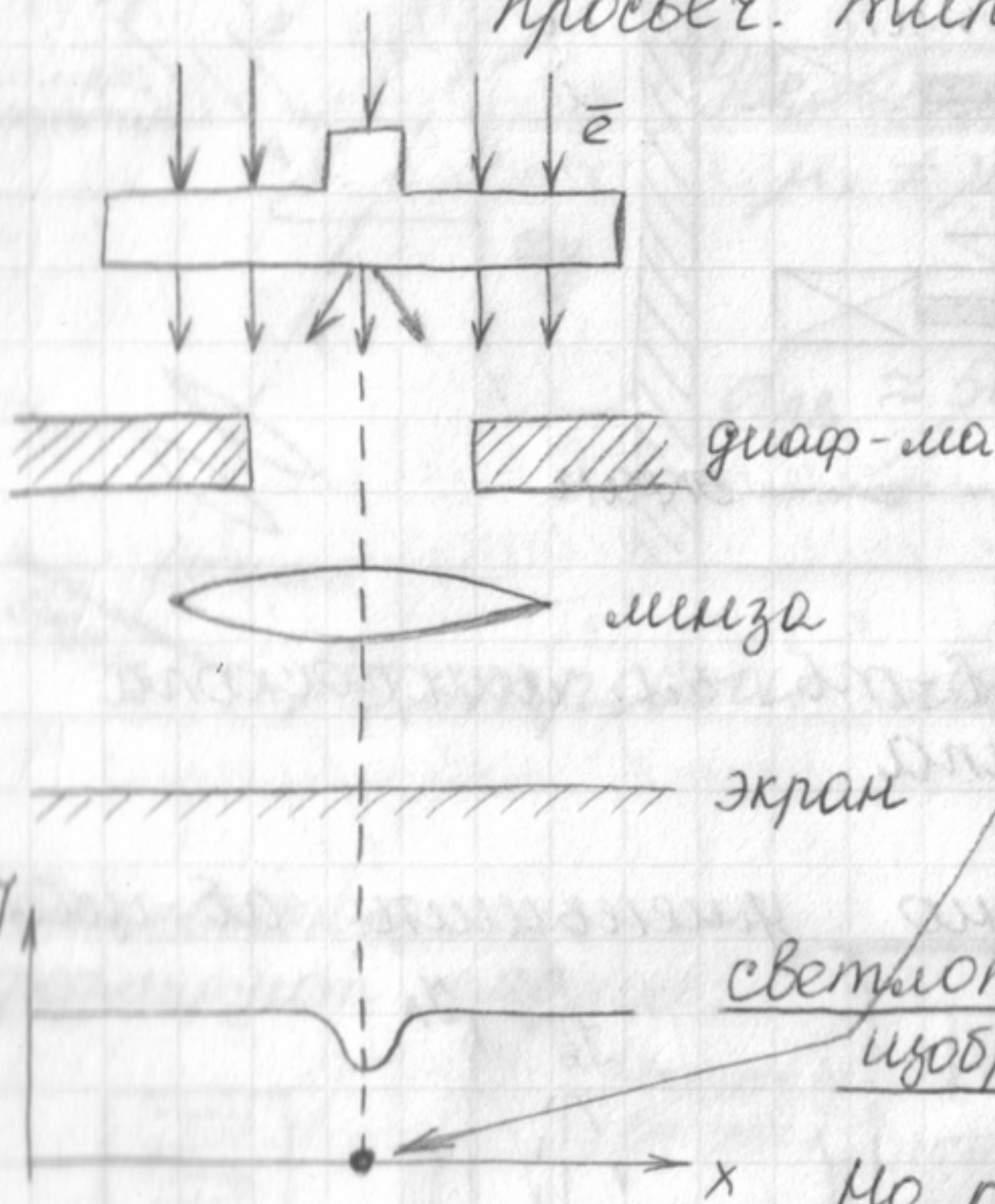
$$R_{сф} \sim M^2$$

<< ЭЛЕКТРОННЫЕ МИКРОСКОПЫ

1. Эмиссионный
2. Просвечивающий
3. Отрапательный
4. Растровый
5. Проекционный

Электронный микроскоп просвечивающего типа.

- Принцип действия эл-ного микроскопа просвеч. типа.



Пластина с неоднородностью. Там, где тонкая часть, e^- прошиваются её масквози а на утолщениии — происх. рассеяние.

Принцип: темная точка, вокруг светлое поле

Но оно не контрастное. Лучше наоборот — на темн. фоне — светлые точки сдвинем диафрагму:



Вопрос: где aberrации worse?

(в светоположном или темноположном)

В темноположном, т.к.

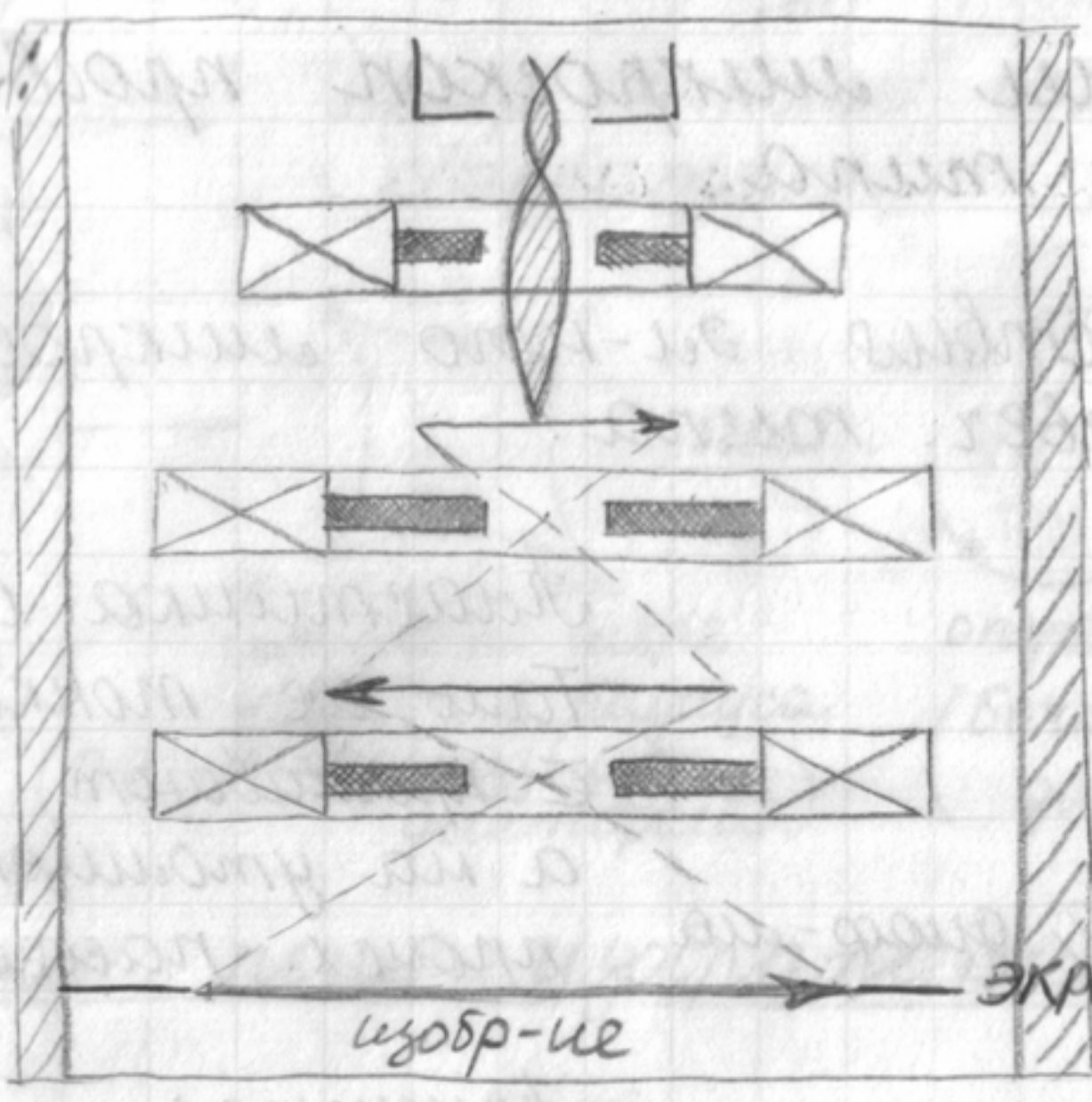
- углы больше (сильнее нарушена малость углов $\Delta\Phi_{\text{тепл}} > \Delta\Phi_{\text{светл.}}$)

- рассеяние связано с потерей э-нов, в темнополож. потери worse \Rightarrow хроматич. аб-ции worse.

Схема:

внутри - вакуум

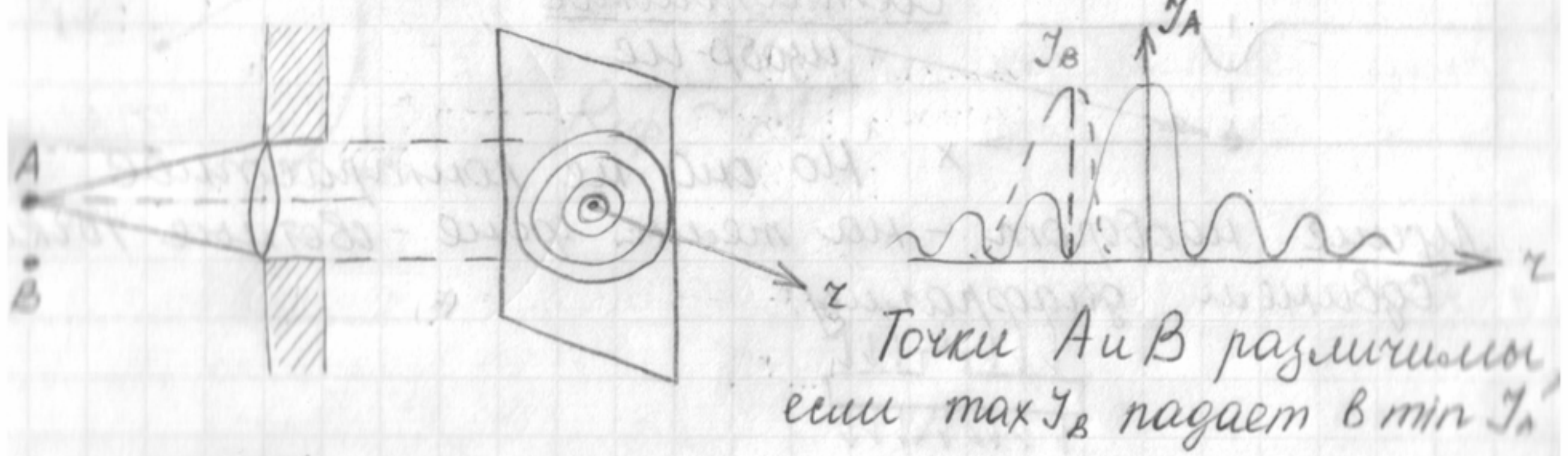
вакуумная колонна



Углы малые: $\Delta\Phi \approx 1^\circ$

Разрешающая способ-ть Эл. микроскопа просвечив. типа

До каких пор можно уменьшить аб-ции?



$d_{AB} = \frac{0,61 \lambda}{\sin u}$ - раст-ие, чтобы точки были различимы

$\lambda = \frac{h}{mv}$ - длина волны дебройля

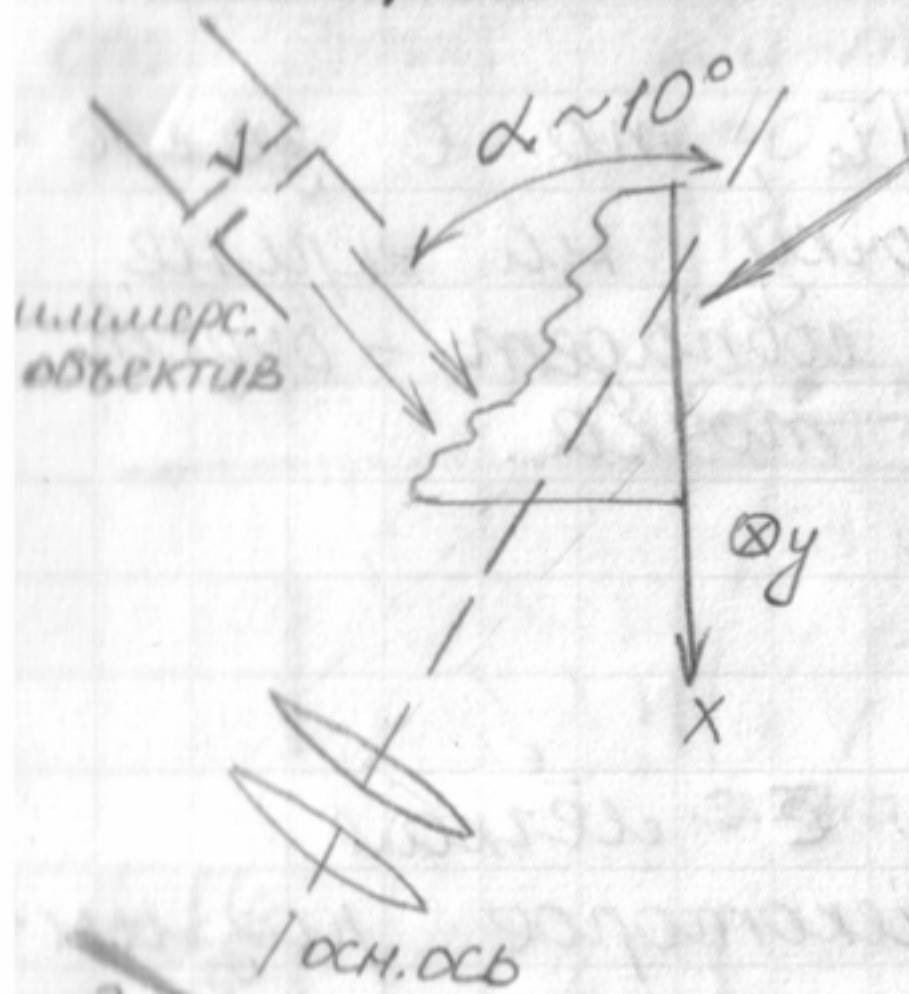
$$U = 100 \text{ кВ} \quad \gamma = \frac{16}{\sqrt{U \text{ кВ}}} = 1,6$$

$$v \approx \frac{c}{\gamma} \approx 2 \cdot 10^8$$

$$\lambda = 3 \cdot 10^{-12} \text{ м} = \underline{0,03 \text{ \AA}}$$

- очень маленькая. Вроде бы можем разширить вплоть до 1 атома! Но нет, входит $\sin \alpha$ а U -маленький угол ($\sin \alpha \sim 0,01$) \Rightarrow лучше, что m . получим: $d_{AB} \approx 3 \div 4 \text{ \AA}$.
 До этих пор есть смысл бороться с аб-цией

Отрапательный микроскоп.



непрозрач. объект

Увеличение по x и y разное:
 $\mu_x \neq \mu_y$ - меритность, шоб-е искаже-сь.

$d_{AB} \approx 500 \text{ \AA}$ - для многих задач хватает

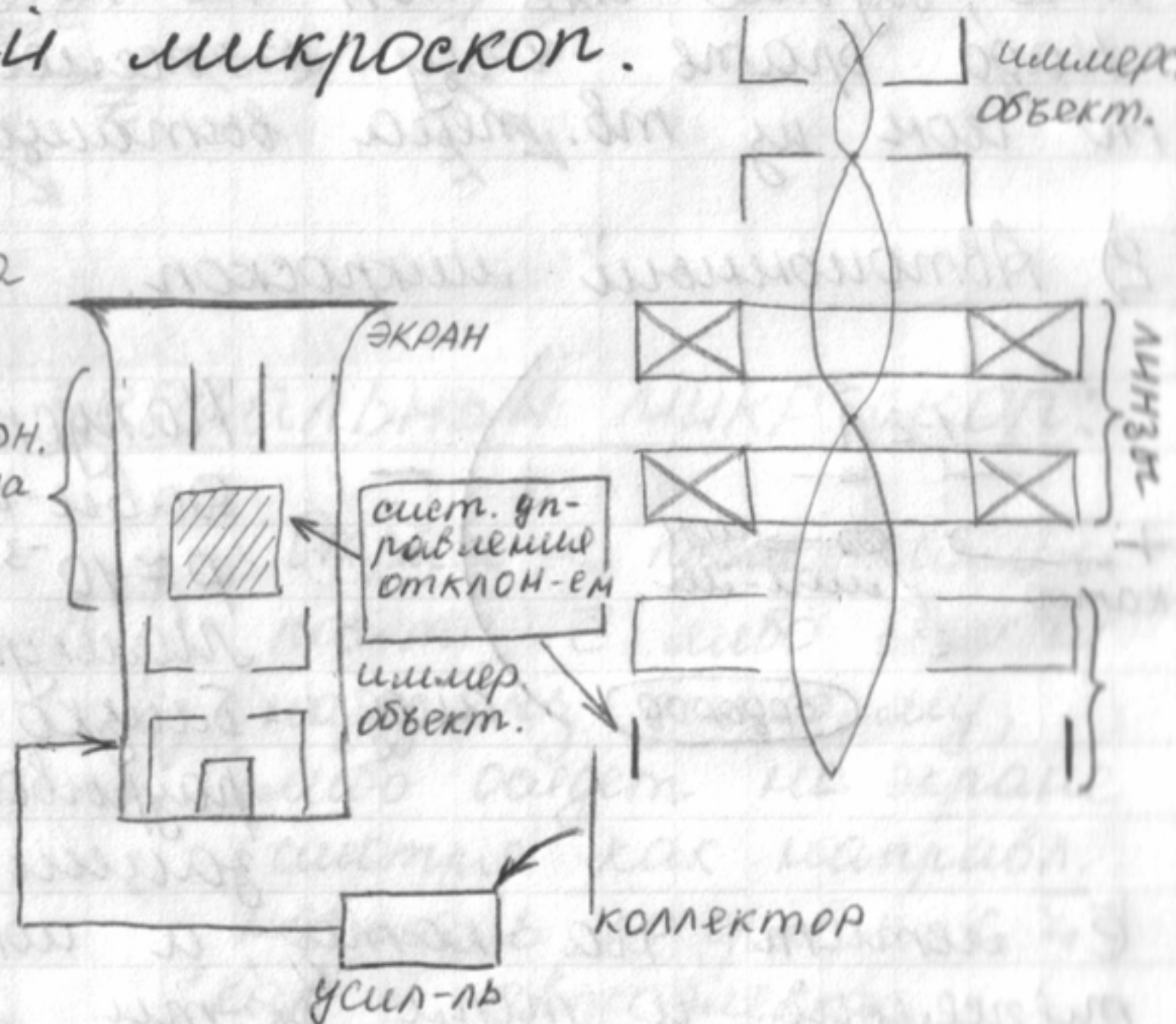
Растровый микроскоп.

Отклоняющ. сис-ма формируют следующие:



высверивают растр.

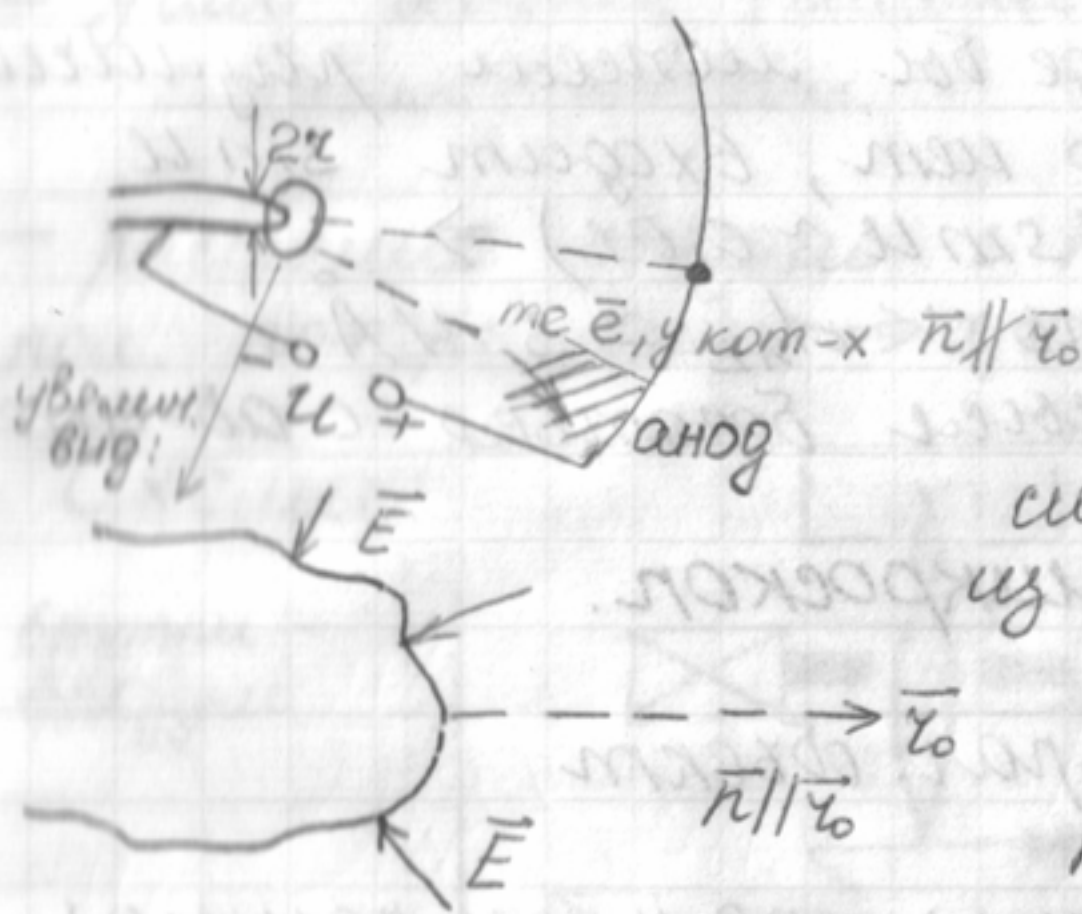
ОТКЛОН. СИС-МА



Системы отклонения синхронизованы.

Проециционные микроскопы: автоэлектронный автономный

1) Автоэлектронный:



Катод - точка.
и - отклоняющ. напр-ие

$$E = \frac{U}{z}; \quad z = 500 \text{ \AA}$$

$$E = 10^7 - 10^8 \text{ В/см}$$

Под действием такого сильн. полн-е вылетают из Me (автоэл-ая эмиссия)

Если $\vec{\pi} \parallel \vec{z}_0$, то \vec{e} засветит точку на экране, если не совпадет - будет темная точка.

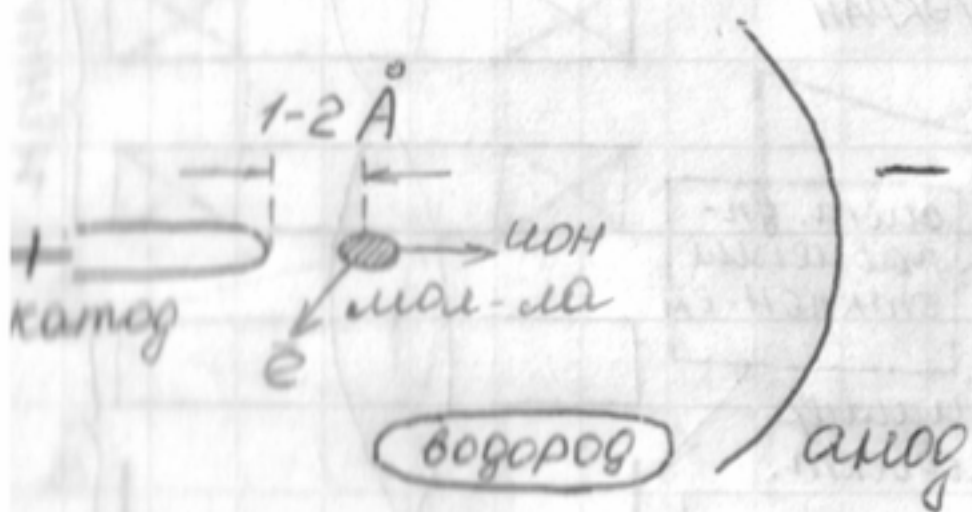
$$M \approx \frac{R}{z} \approx 10^5 - 10^6$$

$$d_{AB} \approx 10 \text{ \AA}$$

Что мешает еще увеличить? \vec{e} - легкая γ -ца, за счёт тепл. ск-тей - некоторое размытие, лучше $d_{AB} \sim 10 \text{ \AA}$ не получили.

Надо брать γ -цу тяжелее - цом. Но цом из тв. тела вытащить невозможно!

2) Автономный микроскоп.



Маленький водород.

Давление мало;

$$p \approx 10^{-3} \text{ мм рт. ст.}$$

Молекула и. подойти близко к катоду (на 1-2 \AA) разрушается из-за поляризации: $\vec{e} + \text{цон}$

\vec{e} летит на катод, а цон - к аноду, но он тепловой, и тепл. ск-ти мало влияют.

Лоб-то шире:



$\vec{\pi} \parallel \vec{z}_0 \Rightarrow$ светлая (.) на экр.

$\vec{\pi} \nparallel \vec{z}_0 \Rightarrow$ темная

З: Получаем изобр-ие шире (т.е. разрешение)

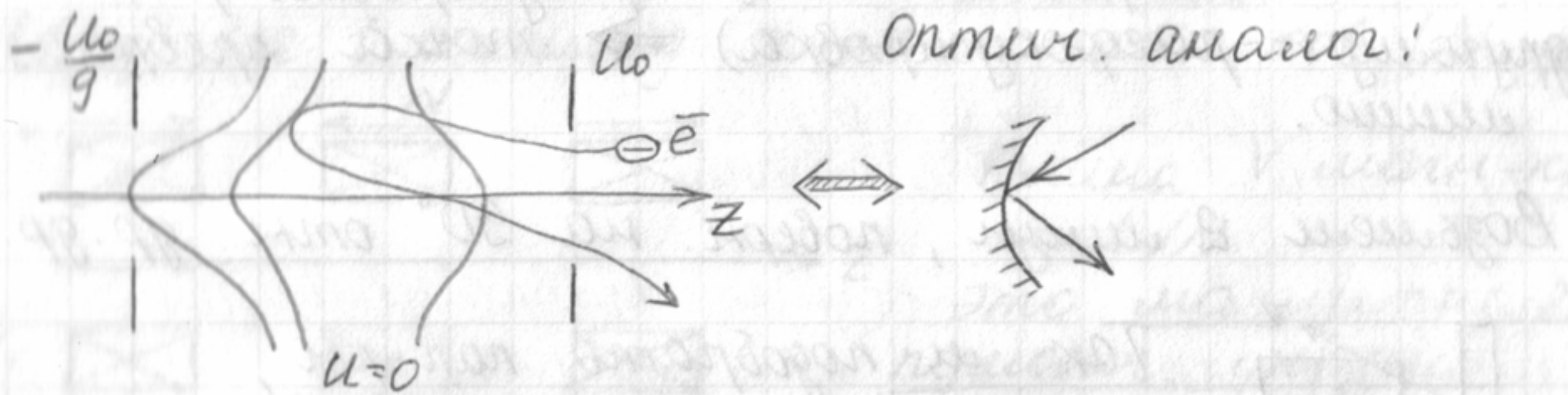
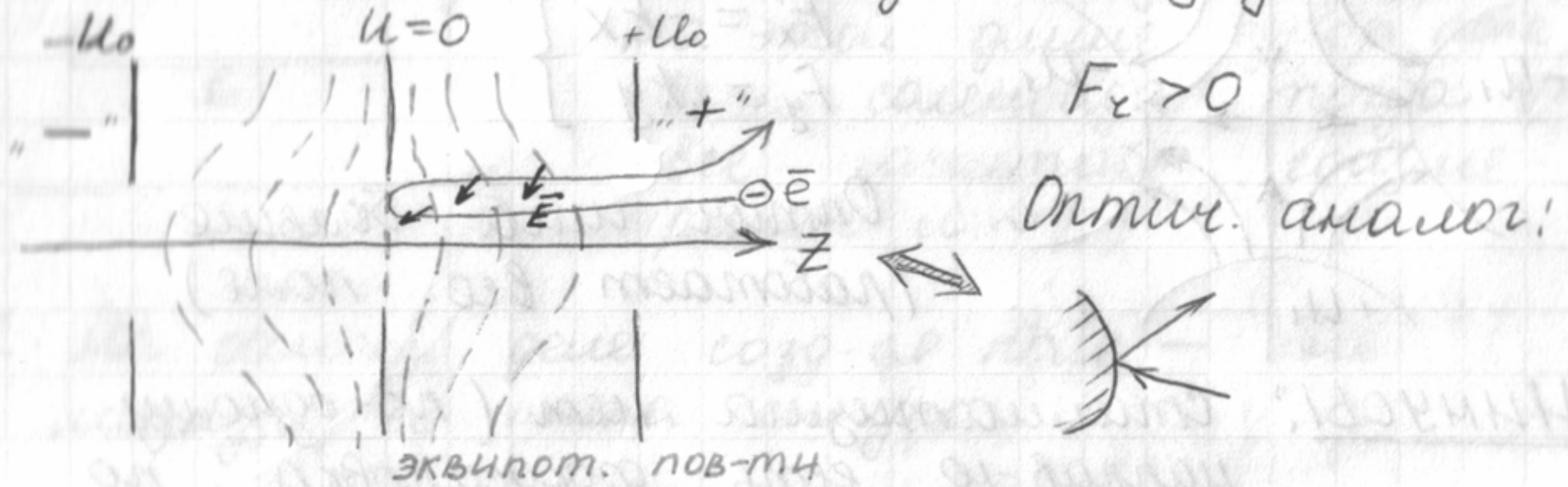
Другие эл-ты электр-но-оптич. теории.

1. Электронные зеркала.

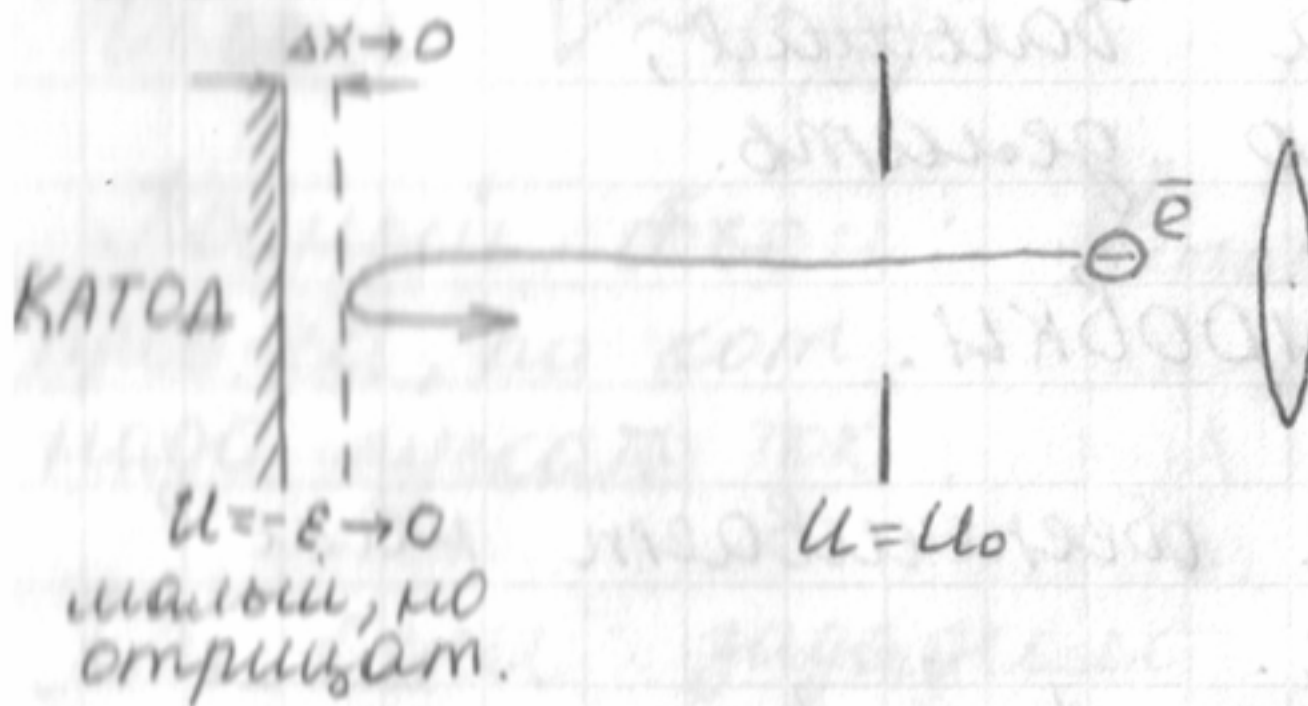
- Эл-ные устр-ва, имеющие напр-ль д-ль \vec{e} на противоположе.

$$U_x = 0 \quad v = \sqrt{2\eta U}$$

Идея: надо создать обл-ть, где пот-л $U < 0$ тогда \vec{e} , выйдя с катода, отразится от этой обл-ти и пойдет назад.



Электронный зеркальный микроскоп:



Отраж-е происх. вблизи пов-ти \vec{e} либо вылетит назад ч/з диаф-му, либо оседет на экране (смотрим как направл. нормали по сравн. с \vec{y}_0) (как в автоэлект. микроскопе)

Можем получить изоб-е экрана.

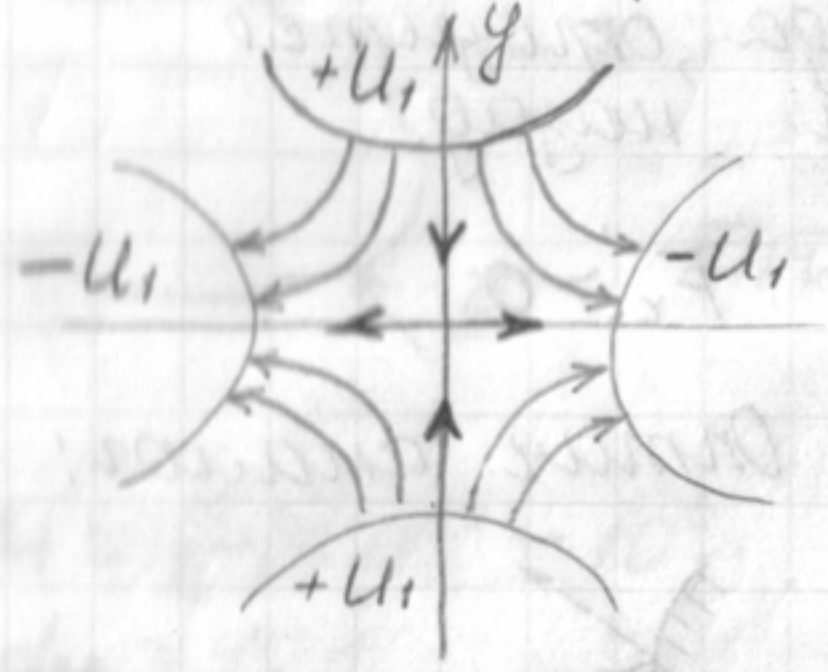
2. Квадрупольные линзы.

Физ. аксиал - шим. линз ($\frac{\partial \varphi}{\partial z} = 0$)
 радиал. комп-тос. полей малос: $E_z \ll E_x$
 $B_z \ll B_x$

Но именно радиал. комп-тос. отвечают за фокусировку. Т.е. работает эфф-но лишь малая часть полей.

В квадрупол. линзах продол. поле нет, оно скомпенсировано поперек пучка.

Силы, дей-щие на \vec{e} :

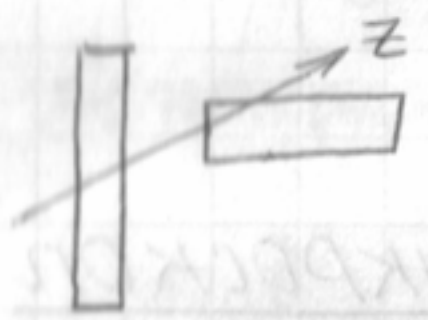


$$\left. \begin{aligned} F_x &= -kx \\ F_y &= ky \end{aligned} \right\}$$

Оптич. сила больше (работает все поле)

МИНУСЫ: Стигматизма нет (по-одному направ-но есть фокусировка, по другому - расфокусировка) \Rightarrow точка превращ. в линзу.

Возьмем 2 линзы, поверн. на 90° отн. др. др.



Так м. подобрать пар-ры, что фокусировка - по обеим осям.

Оптич. сила большая, но их сложно делать.

3. Система фокусировки.

Это такая с-ма, котор. обеспечивает нам заданную форму пучка.



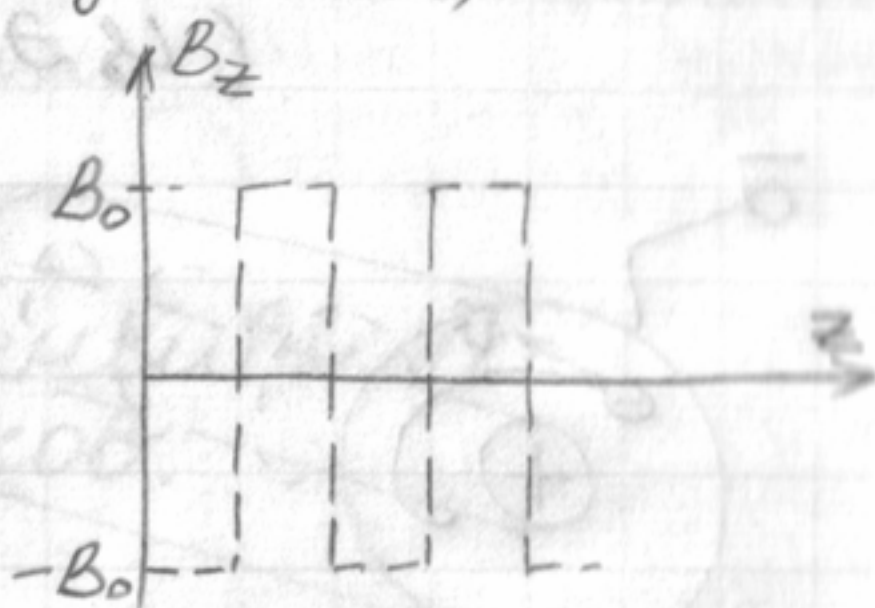
$V_0 \rightarrow \infty, L_B \gg h, z \perp$ - радиус \ll малос
 (т.к. $h, z \sim \frac{1}{V}$)

\Rightarrow вып-ся адиаб. приоб-ие

магнит. фокус-ка

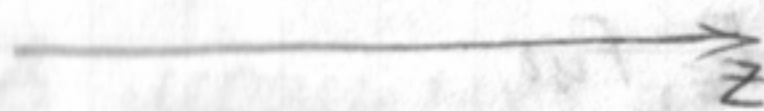
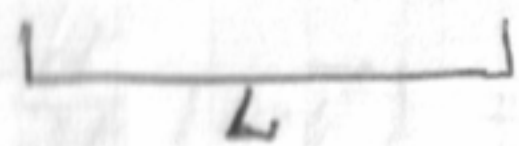
Идея: пучок примет форму маг. еллов. линии, какую линию сделаем, такой и пучок.

$$\frac{d^2 z}{dz^2} + \frac{\gamma B_z^2 z}{8\mu} = 0 \quad \text{— ур-ие паракс. траекторий}$$



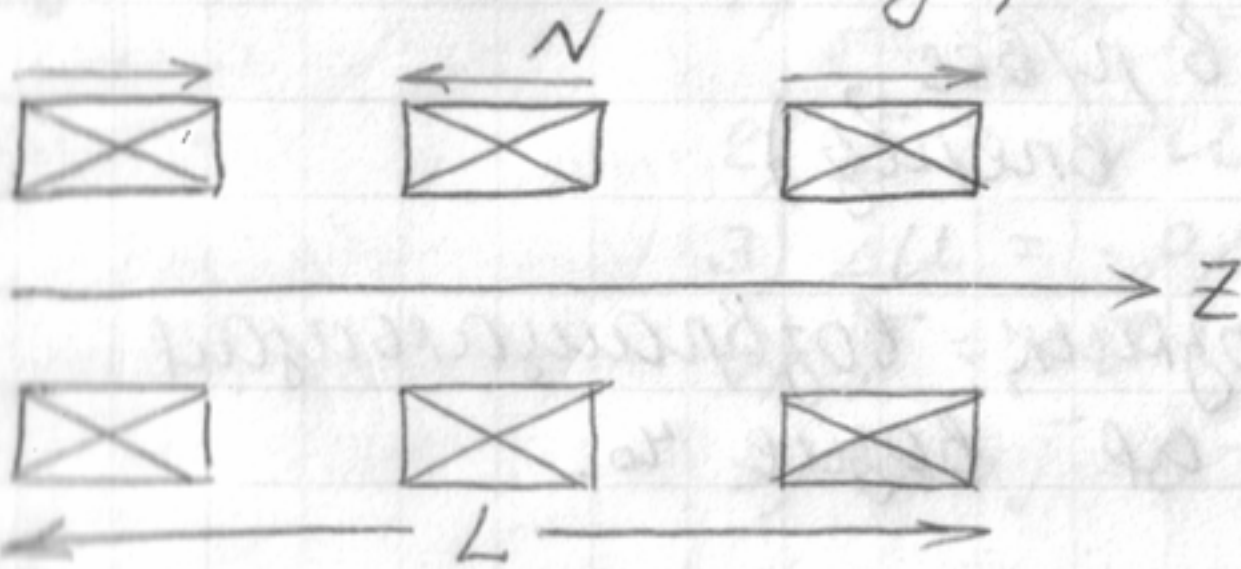
Фокусир. св-ва однород. поле и периодич. поле (меандра) одинаковы, но меандр более энергетич. выгоден

Хотим на длине L провести пучок (создать на этой длине однород. поле)
 Объем солемойда тогда $V \sim L^3$
 (все масштабы соизмеримы и $\sim L$)



z : На самом деле созд-ся поле — не меандр, а типа синуса.

Если не 1 солемойд, а много маг-ков (N шт)



Длина V маг-ка
 $= L/N$

это малитная
периодич. фокусиру.
система

Объем $V \sim \left(\frac{L}{N}\right)^3$

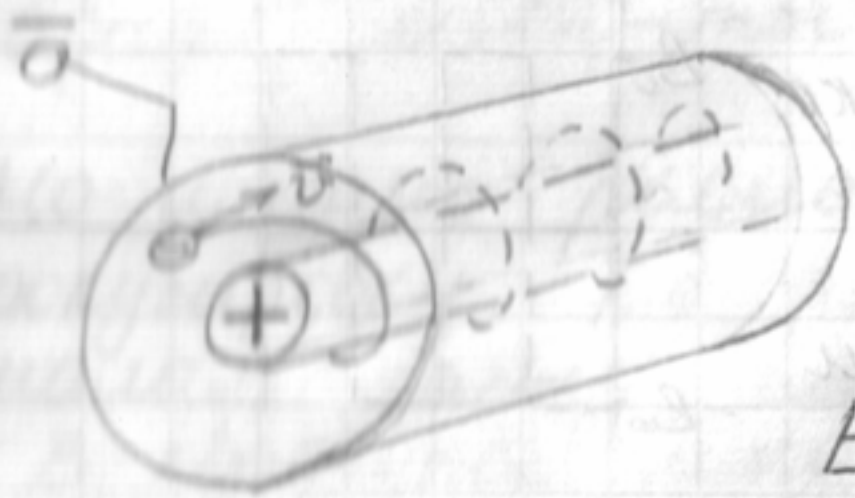
Полный объем: $V_{total} = \left(\frac{L}{N}\right)^3 \cdot N = \frac{L^3}{N^2}$

проб-ка, по кот. надо пускать ток

Т.е. если зададим меандр, выиграем по энергетике \approx в N^2 раз.

(Причина: не тратим э-ю на поле рассеивания — т.е. которое не в )

Система центробежной электростатической фокусировки (ЦЭФ)



Если у \bar{e} есть поперечная скорость, он полетит по спирали.

$F_z = 0 \Rightarrow$ можно рассм. в пл-ти $\perp z$

$E_r \sim \frac{1}{r}$ - сила со стор. этого поля + центробеж. сила

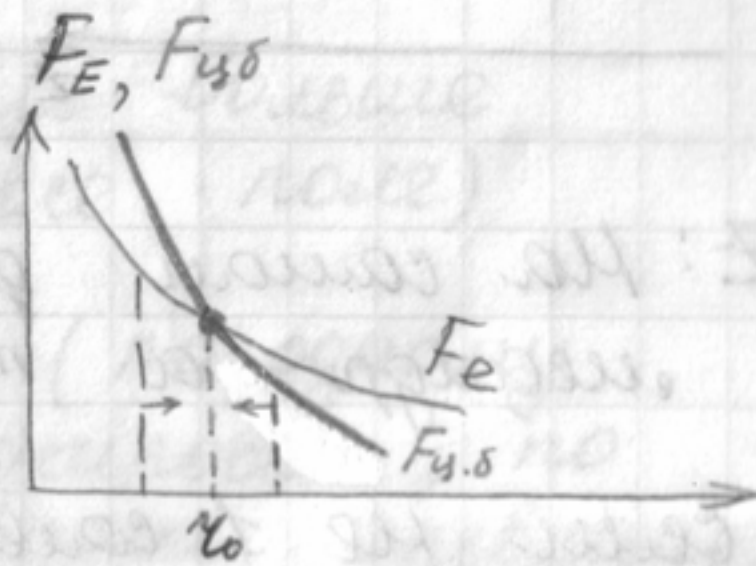
$$F_r = -\frac{A}{r} ; F_{цб} = \frac{m_0 v_{\phi}^2}{r} > 0$$

$$\frac{\partial}{\partial \phi} = 0 \Rightarrow p_{\phi} = const$$

$$p_{\phi} = m_0 r^2 \dot{\phi} = const$$

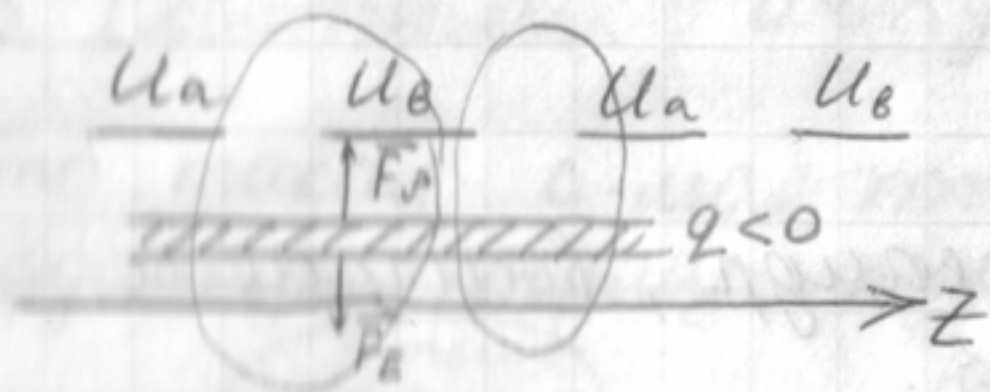
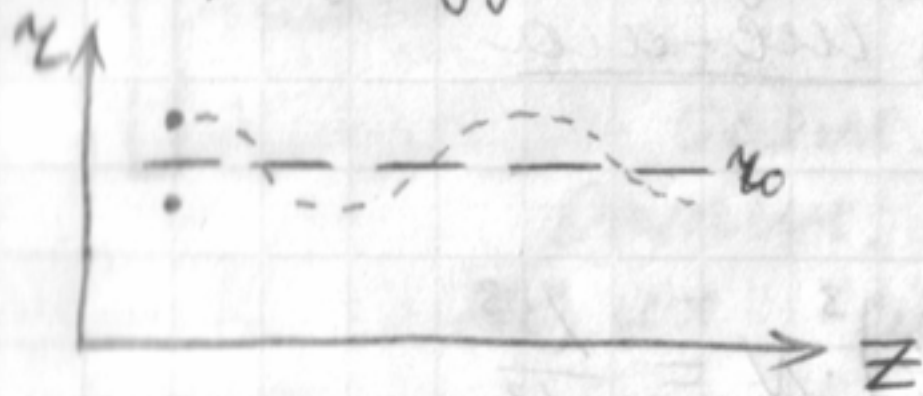
$$r \dot{\phi} = \frac{p_{\phi}}{m_0 r} = v_{\phi}$$

$$F_{цб} = \frac{m_0}{r} \left(\frac{p_{\phi}^2}{m_0^2 r^2} \right) \sim \frac{1}{r^3}$$



r_0 - равновес. радиус (силы равны $\Rightarrow \bar{e}$ - в р/весе, крутится и дв-ся вперед)

Если не в r_0 , то возник. возвращающая сила, \bar{e} будет колеб-ся возле r_0 .



Каждая пара z -эдов - ишмер. шина (собирающая) действует F_p , стремится посадить лучок на электроды, и

действует кулом. сила F_E (в среднем вниз)

Стар-лы пучка так подбираем, чтобы $F_p \approx F_E$. Тогда пучок дв-ся с постоянным радиусом вдоль оси Z.

Формирование интенсивных электронных пучков.

Для мизм токи были мизмские:
 $I \approx 1 \text{ mA} \Rightarrow E_p = 0$

Т.е. для расчета мизмы надо было решить

$$\frac{d}{dt} (m\vec{v}) = -e_0 \vec{E} - e_0 [\vec{v} \times \vec{B}]$$

В мощных эл. приборах: $I \sim 100 \text{ A} \div 100 \text{ kA}$
 $E_p \approx E_A$

Q: Интенс. эл. пучок - у кот. собствен. кулон поле пучка \approx полю электронов.

Надо решить: 1) $\frac{d}{dt} (m\vec{v}) = -e_0 \vec{E} - e_0 [\vec{v} \times \vec{B}]$

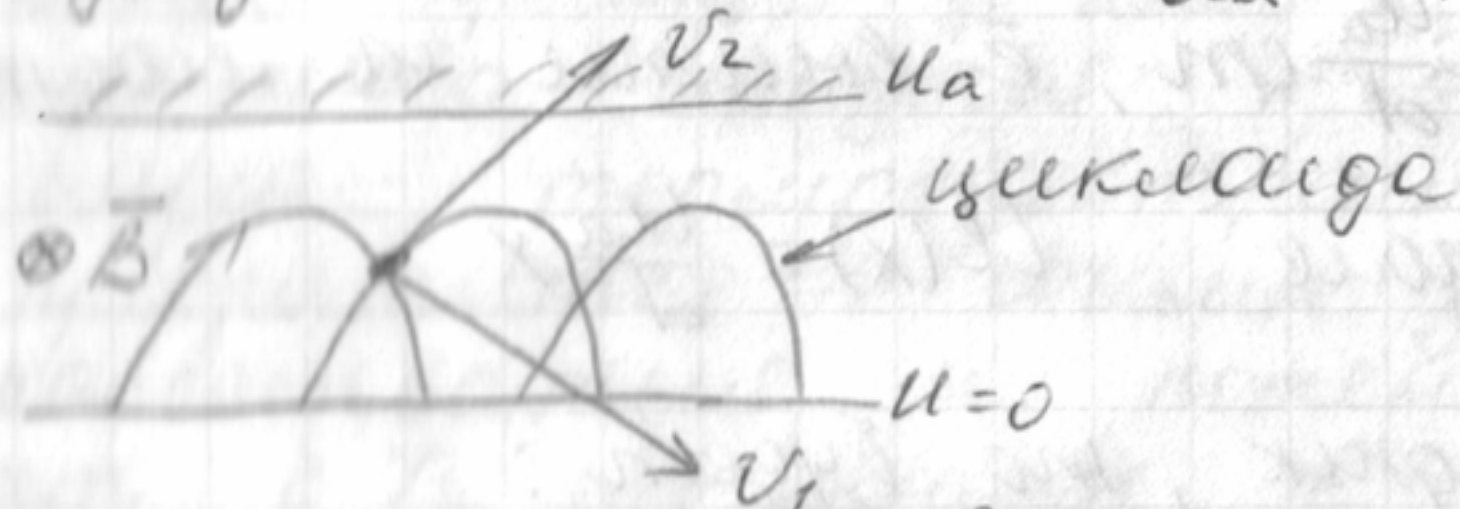
2) $\vec{E} = -\nabla \mu$

3) $\Delta \mu = -\rho / \epsilon_0$

4) $\vec{j} = \rho \vec{v}$

5) $\text{div} \vec{j} = 0$ (расси-ем статич. задачу)

Z1: $\vec{j} = \rho \vec{v}$? м.ли так писать всегда?



соот-ие несправ-во, т.к. в одной и той же (.) есть 2 скорости (двухпоточное соот-ие)
 здесь! $\vec{j} = \sum_{i=1}^N \rho_i \vec{v}_i$ - надо писать Σ по всем потокам.

но пишем $\vec{j} = \rho \vec{v}$, если что оговариваем.

22: Мы б. считать, что поле \vec{B} созд-ар какой-то внеш. сист-ой (поле внеш. магнетиков) хотя в общем случае:

$$\vec{B} = \vec{B}_{\text{внеш}} + \vec{B}_{\text{соб}}$$

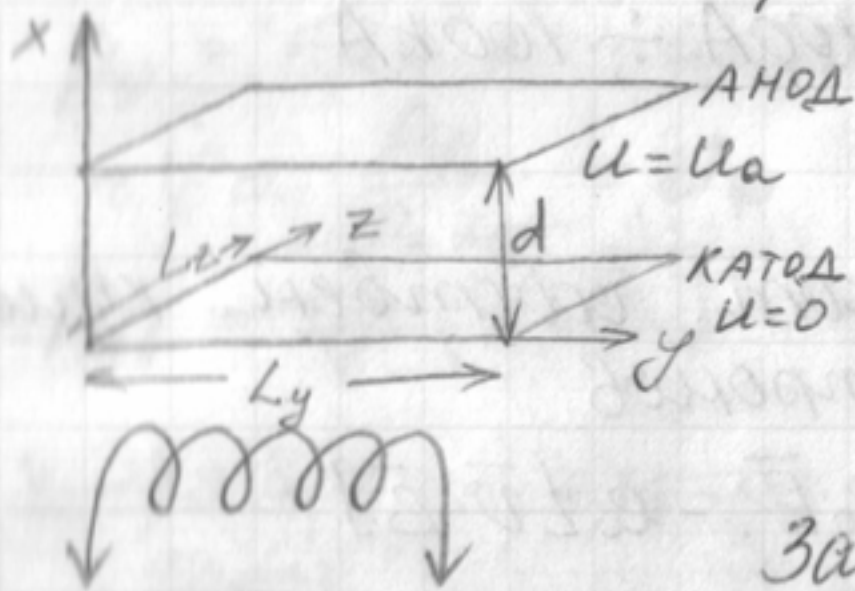
↑ собст. поле пучка
(пренебрегаем)

Когда нельзя пренебрегать соб. полем пучка?
когда γ -факт релятивистская

$$\frac{v}{c} \approx 1 \Rightarrow B_{\text{соб}} \neq 0 \quad \text{но в дальнейшем счит-ем ч-цы слабо релятивист.$$

Плоский идеализир. диод.

У нас есть факт-ки плоск. конод-р.



Л. длина пластин большая:

$$L_y, L_z \gg d$$

$$\frac{\partial}{\partial y} \approx 0 \quad \frac{\partial}{\partial z} \approx 0$$

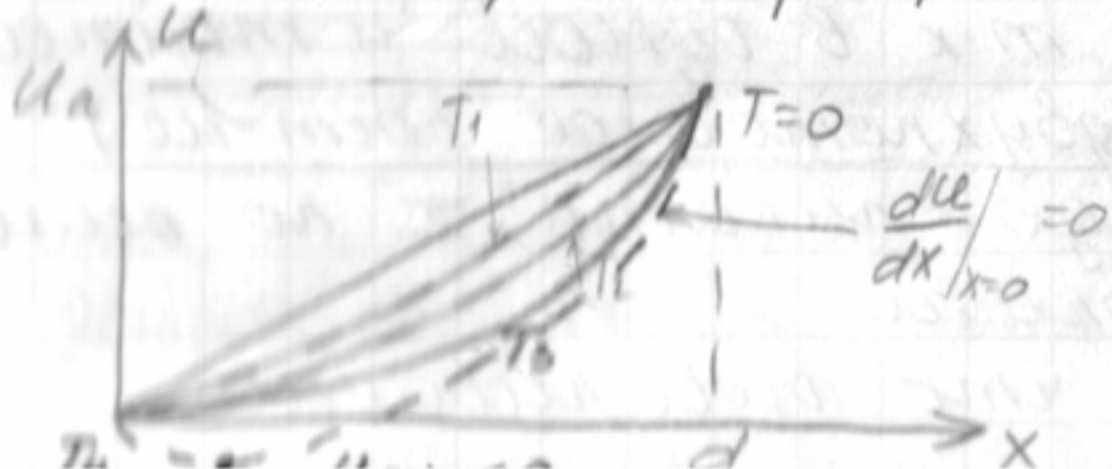
Задача становится одномерной.
Как б. мем-ар ток и распр-ие потенциала, когда ущем катод? и какой ток течет чз диод?



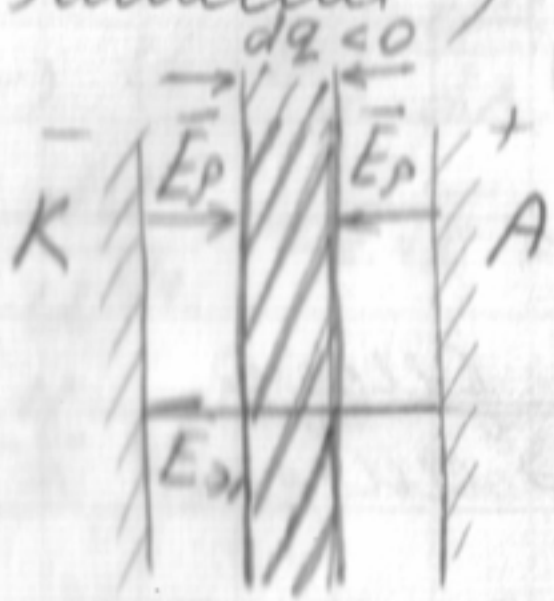
Пусть $T=0$: тока нет, e^- войти не могут

$$E = \frac{U_a}{d} \text{ - однор. поле ; } U(x) = \frac{U_a}{d} x$$

Если нарис. график, то будет:



Теперь будем нагревать (появится термоэлектрон-эмиссия) \Rightarrow появится электром. ток.



$T \neq 0$: термоэлектрон. эмиссия (фур-мально считаем, что начинаем с ∇ сколь угодно малой T)
 \bar{e} , войдя с "K", сразу попал в ускоряющую пол. Появилась объем. заряд, за-полняющий всю полость. Берем кусок $e_0 - dq (< 0)$

слева $E < E_{хол}$

справа $E > E_{хол}$

$$E = - \frac{dU}{dx}$$

\Rightarrow при темп-ре T_1 зарядик маленькой провисает (провисание пот-ца, пот-л пошел ниже) - см. рис.

Если еще повысим темп-ру - см. рис T_3 , т.е. дойдем до такой темп-ры T_3 , что

$$\frac{dU}{dx} \Big|_{x=0} = 0$$

в конце концов получим поле обратяющ. в ноль.

$U_0 \approx 0$ (не учит-ем нач. ск-ть, т.к.

$$\frac{kT}{e} \approx 0,1 В, U \approx 200-300 В)$$

Если еще повысим темп-ру $T_4 > T_3$ - будет min пот-ца: $U_{min} < 0$

тогда \bar{e} пройти не смогут \Rightarrow до миним. темп-ры пройдут до анода, а после миним.-а они снова вернутся к катоду, в этом случае термоэлектронная эмиссия прекратится \Rightarrow объем. заряд начнет рассасываться и потенциал у T_4 перейдет в T_3 и затем в T_2 , после чего там снова станет ускоряющим и вновь $T_3 \rightarrow \dots$

Равновесие свет. T_3

Если $T \geq T_3$, то ~~отделается~~ распределение тока от тем-ры не зависит (в этом случае будет макс ток).
 Выше T_3 тока не будет.

Различают 2 осн. режима работы диода:
 - режим тем-ного ограниченного эмиссии (если ток зав-т от тем-ры)

- если ток от тем-ры зависит - это режим огранич. тока простр-ым зарядом. ($T \geq T_3$) - заряд так велик что сам себя ограничивает.

ищем ток в втором режиме: $\frac{v}{c} \ll 1$

$$\left. \begin{aligned} \frac{dV}{dt} &= -\eta E \\ E &= -\frac{dU}{dx} \end{aligned} \right\} \begin{aligned} j &= -qv \\ \text{div } j &= \frac{dj}{dx} = 0 \Rightarrow j = \text{const} = \frac{I_a}{S_a} \end{aligned} \rightarrow v = \sqrt{2\eta U}$$

$$\frac{d^2U}{dx^2} = -\frac{\rho}{\epsilon_0}$$

$$\rho = -\frac{j}{v} = -\frac{j}{\sqrt{2\eta U}} = -\frac{I_a}{S_a \sqrt{2\eta U}}$$

$$\frac{d^2U}{dx^2} = \frac{I_a}{\epsilon_0 S_a \sqrt{2\eta U}} \quad k = \frac{I_a}{\epsilon_0 S_a \sqrt{2\eta}} - \text{введем}$$

$$U|_{x=0} = 0 \quad U|_{x=d} = U_a - \text{з.у. - всегда выполн-ся}$$

$$\frac{dU}{dx}|_{x=0} = 0 - \text{опр-ем режим работы диода. если в том др. режиме было бы другое условие.}$$

Теперь δ решать:

$$\frac{d^2U}{dx^2} = \frac{k}{\sqrt{U}} \quad \cdot \quad \frac{2dU}{dx} \Rightarrow$$

$$\rightarrow 2 \frac{dU}{dx} \frac{d^2U}{dx^2} = \frac{d}{dx} \left(\frac{dU}{dx} \right)^2 = \frac{2k}{\sqrt{U}} \frac{dU}{dx} = \frac{d}{dx} = (4k\sqrt{U})$$

\rightarrow и. решит-ть

$$\left(\frac{du}{dx}\right)^2 = 4k\sqrt{u} + C_1 \quad (\text{чтобы найти } C_1, \text{ подставим } x=0)$$

$$\Rightarrow u=0; \frac{du}{dx} = 0 \Rightarrow C_1 = 0$$

$$\frac{du}{u^{1/4}} = 2\sqrt{k} dx$$

$$\frac{4}{3} u^{3/4} = 2\sqrt{k} x + C_2$$

$$x=0 \quad u=0 \Rightarrow C_2 = 0$$

$$u = \left(\frac{3}{2}\sqrt{k}\right)^{4/3} x^{4/3}$$

$$x=d \quad u_a = \left(\frac{3}{2}\sqrt{k}\right)^{4/3} d^{4/3}$$

$$u(x) = u_a \left(\frac{x}{a}\right)^{4/3}$$

распр-ие пот-ла микромашин.

Если мы введем $k = \frac{\gamma_a}{\epsilon_0 S a \sqrt{2\eta}}$ и подставим, то мы найдем амплитуду тока

$$\gamma_a = \left(\frac{4}{9} \epsilon_0 \sqrt{2\eta} \frac{S a}{d^2}\right) u_a^{3/2} = \rho \cdot u_a^{3/2} \quad \text{— закон } 3/2\text{-ой} \quad (1)$$

ρ — первичное

$$\gamma_a = \rho \cdot u_a^{3/2} \quad (1)$$

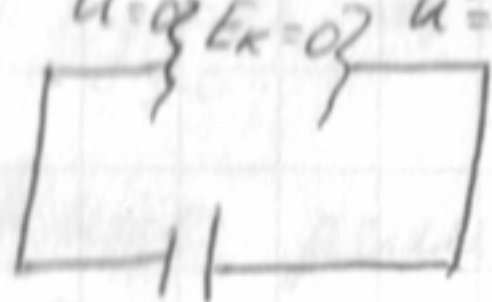
Если для тороидального диода подставить в (1) все const-ное, то первичное б.равен:

$$\rho = 2,33 \cdot 10^{-6} \frac{S a}{d^2}$$

Вводит еще микропервичное = первичное $\cdot 10^{-6}$
 По этой величине опре-ся типичность пучка:
 ρ — маленькое \Rightarrow слабый пучок
 ρ — большое \Rightarrow сильный пучок;
 3-й $3/2$ -х вып-ся для \forall диода:

В-во:

Л. есть диод произвольн. формы.



Пусть $u_a = u_a$, и для этого случая нашим реш-ием является самосоглас. ур-ние:

$$u_1(\bar{r}) \quad \bar{v}_1(\bar{r}) \quad \bar{E}_1(\bar{r}) \quad \rho_1(\bar{r}), \quad \vec{j}_1(\bar{r}),$$

такое, что оно удовле. условию:

$$E_{1\perp}/\text{кат} = 0 \quad u_1/\text{ан} = u_{a1}$$

$$E_{1\parallel}/\text{кат} = 0 \quad (E_{1\tau} = 0)$$

Решим. реш-е $u_2(\bar{r}) = n u_1(\bar{r})$ - во всех $(\cdot)(\cdot)$ увеличим пот-л в "n" раз

v_2, ρ_2, E_2, j_2 - надо найти

если, что все з.у. будут восп-ся:

$$u_2/\text{кат} = n u_1/\text{кат} = 0$$

$$E_2/\text{кат} = n E_1/\text{кат} = 0$$

$$u_2/\text{ан} = n u_1/\text{ан} = u_{2\text{ан}}$$

А восп-ся ли ур-ия, опис-вшие пучок?

1) Ур. двител-ия: помним, что если в "n" раз увеличим пот-л во всех $(\cdot)(\cdot)$, то ур-ия не изме-ся \Rightarrow ур. дв-ия восп-ся

2) Ур. Лапласа: $\Delta u_2 = -\frac{\rho_2}{\epsilon_0}$; $\Delta u_1 = -\frac{\rho_1}{n\epsilon_0}$
 $\Delta(nu_1) = -\rho_2/\epsilon_0$; если помним $\rho_2 = n\rho_1$ то восп-ся

$$j_2 = \rho_2 v_2 = n\rho_1 \sqrt{n} v_1 \Leftrightarrow$$

$$v_2 = \sqrt{2\eta} u_2 = \sqrt{2\eta \cdot n} u_1$$

$$\Leftrightarrow n^{3/2} j_1 \Rightarrow \boxed{j_2 = n^{3/2} j_1} \quad \text{— если помним, то } j_2 = \rho_2 v_2 \text{ — восп-ся}$$

$$4) \quad \boxed{\text{div } \vec{j}_2 = n^{3/2} \text{div } \vec{j}_1 = 0} \quad \text{— восп-ся}$$

у нас все з.у. восп-ся \Rightarrow мы получили реш-е

$$j_2 = n^{3/2} j_1$$

$$\Downarrow \\ I_2 = n^{3/2} I_1$$

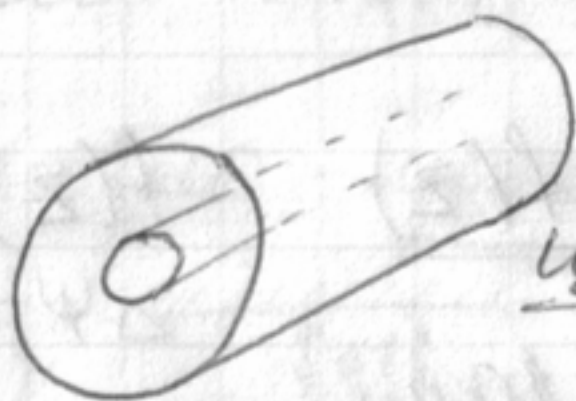
$$h = \frac{u_{a2}}{u_{a1}}$$

$$\frac{I_2}{I_1} = \left(\frac{U_{a2}}{U_{a1}} \right)^{3/2}$$

$\frac{I_2}{U_{a2}^{3/2}} = \frac{I_1}{U_{a1}^{3/2}} = \rho$ - законом $3/2$ -х справедлив для \forall диода, ч.т.д
но для разных диодов ρ - разные.

Вар-тос диодов:

плоский

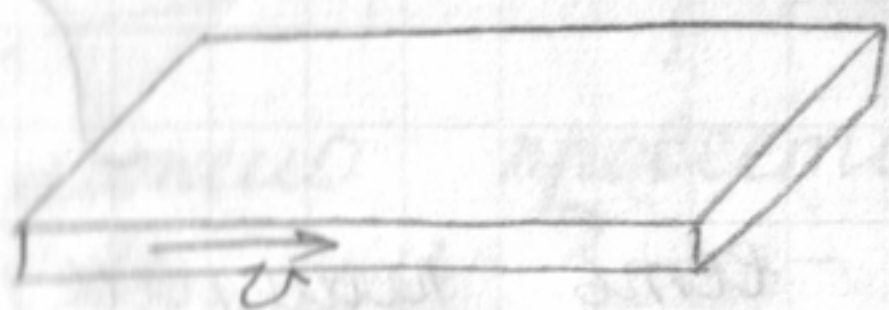


цилиндрич.

сферич.

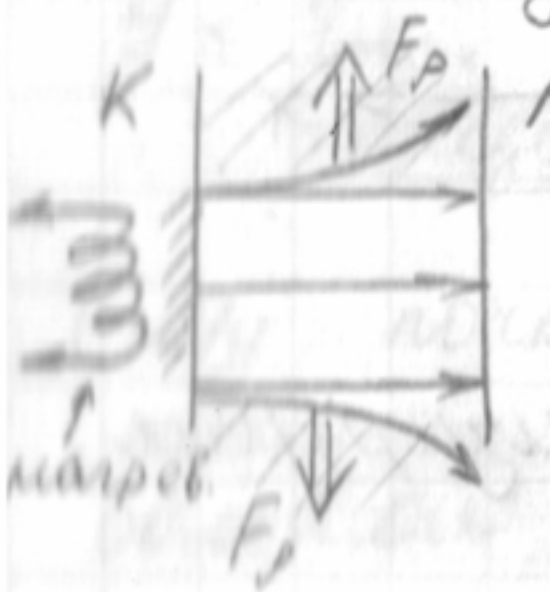


Формирование ленточных пучков.



Ленточный пучок - все э-ны летит в одну сторону, с одинак. ск-ю.

Как получить ленточ. пучок?



Идея: взять α диод, вообрасить заштрих. части, нагреем... но лент. пучок мы не получим \checkmark , на самом деле мы получим (см. рис) расходящиеся ветви \rightarrow (т.к. прои заряд)
Надо сделать так, чтобы \vec{e} , которое осталось не заштриховали, что мы выкинули заштрих. часть, т.е. д. создать тоже усл-ия что и для α диода.

нужно чтобы:
 $y=0$.

$$\left. \begin{aligned} U|_{y=0} &= U_a \left(\frac{x}{d} \right)^{4/3} \\ y > 0 \\ \Delta U &= 0 \end{aligned} \right\}$$

$$E_y|_{y=0} = 0 \Rightarrow \frac{\partial U}{\partial y}|_{y=0} = 0$$

Надо решить $\Delta U = 0$ - это ур Лапласа при ч.ч.

Отметим, черта: оба з.у. (и на пот-ел и на поле) - заданы на одной пр-це $y=0$

на $y=0$: $u = u_a \left(\frac{x}{d}\right)^{4/3}$

Используем метод аналит. продолжения:
введем $z = x + iy$

$u(z) = u_a \left(\frac{z}{d}\right)^{4/3}$

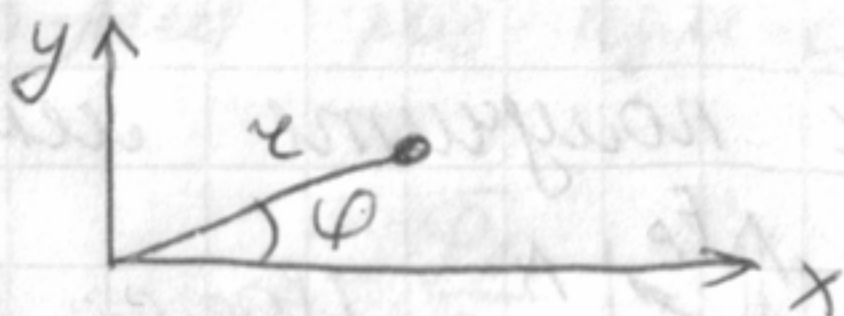
Из ТФКП знаем: $f(z) = \psi(z) + i\varphi(z)$
 $\Delta\psi = 0, \Delta\varphi = 0$

$\text{Re } u(z)$ удов-ет ур-ю Лап.

$y=0$: $u(x,y) = \frac{u_a}{d^{4/3}} \text{Re}(x+iy)^{4/3} \Big|_{y=0} = \frac{u_a}{d^{4/3}} x^{4/3}$
 $\frac{\partial u}{\partial y} \Big|_{y=0} = \text{Re} \frac{\partial}{\partial y} \frac{u_a (x+iy)^{4/3}}{d^{4/3}} \Big|_{y=0} = 0$

- оба з.у. вып-ел $\Rightarrow u_a(x,y)$ - есть решение.

Перейдем в поляр. с.к:
 $x + iy = r e^{i\varphi}$



$u = \frac{u_a}{d^{4/3}} r^{4/3} \cos\left(\frac{4}{3}\varphi\right)$

Эквипотенциалами; если их заметализируем, форма не изм-ел.

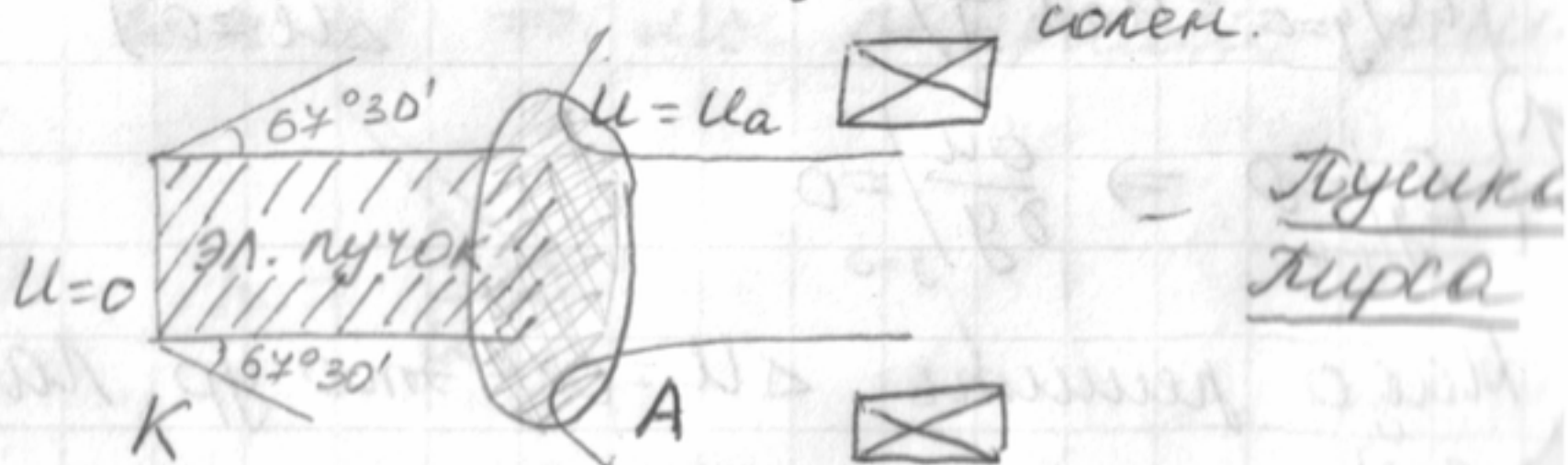
Когда $u=0$: $\cos\left(\frac{4}{3}\varphi\right) = 0 \Rightarrow \varphi = \frac{3\pi}{8} \approx 67^\circ 30'$
Катод - прямая шимм.

Когда $u = u_a$: $u_a = \frac{u_a}{d^{4/3}} r^{4/3} \cos\left(\frac{4}{3}\varphi\right)$

$r^{4/3} = \frac{d^{4/3}}{\cos\left(\frac{4}{3}\varphi\right)}$

- форма анода

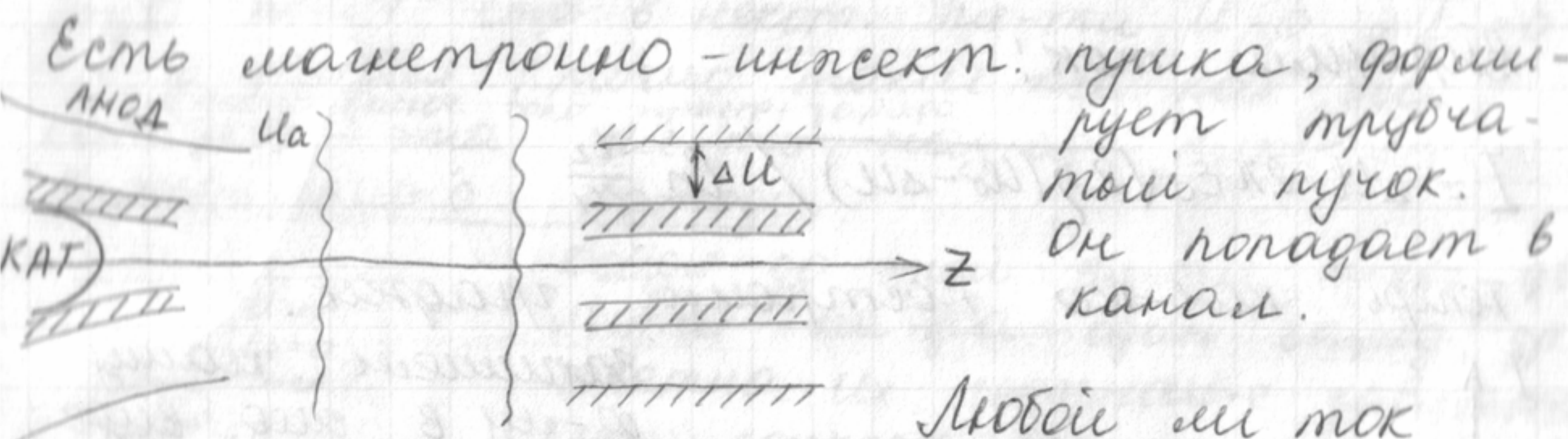
итого:



Чтобы пучок летел не на шину, и еще дальше, делают на "А" канале транспортировки:

в области шина-квадрат (рассеивающая), её действие компенсируется соленоидами

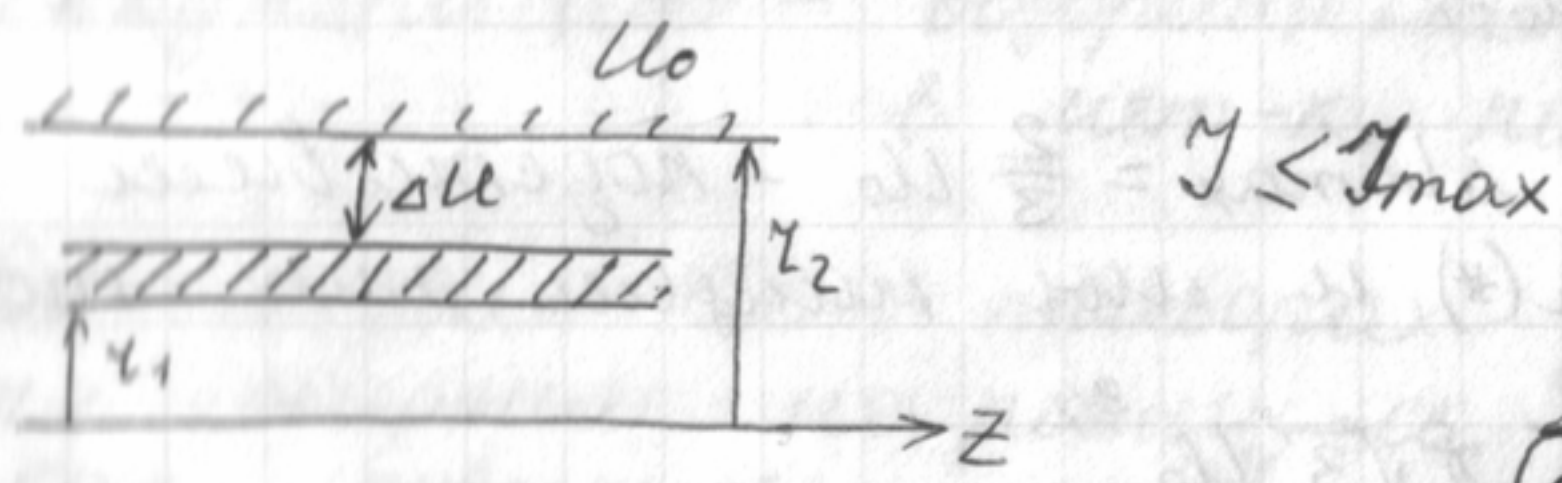
Предельный ток транспортировки.



Любой ли ток можно провести чз этот канал транс-ки?

Нет. Даже если пучок может давать ∞ ток, чз канал можно пропустить $I \leq I_{\text{max}}$ предельный ток транспортировки.

(шину пучком и стенкой канала - провисания под-ла Δu . Если оно большое, т.е. ток большой, пучок становится неустойчивым)



Теор. Гаусса:

$$\oint E_n dS = \frac{Q}{\epsilon_0}$$



$$2\pi r \cdot E_r = \frac{\alpha}{\epsilon_0} = \frac{J_0 r}{\epsilon_0} = \frac{J_0 r}{\epsilon_0 V_{||}}$$

$$E_r = \frac{J_0}{2\pi r \epsilon_0 V_{||}}$$

$$\Delta U = \int_{r_1}^{r_2} E_r dr = \frac{J_0}{2\pi \epsilon_0 V_{||}} \ln \frac{r_2}{r_1}$$

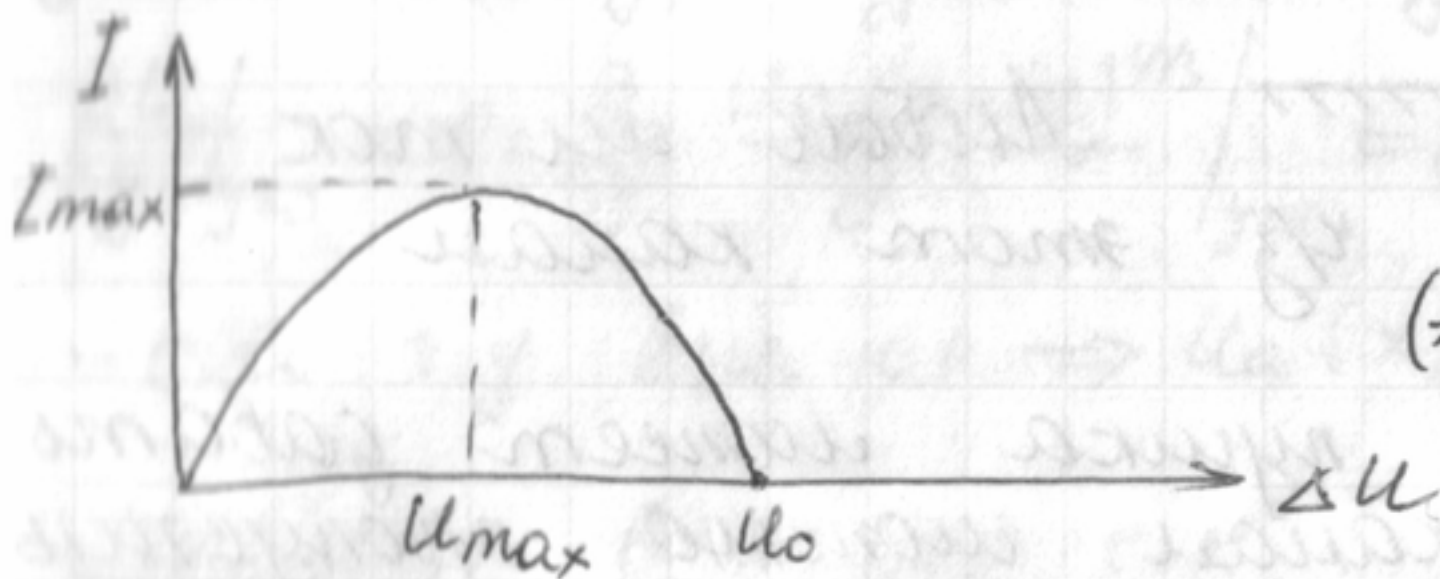
В данном случае $V_{||} = U = \sqrt{2\eta U} = \sqrt{2\eta(U_0 - \Delta U)}$

$U = U_0 - \Delta U$ - потенциал на пучке

Выразим ток!

$$I = \Delta U \cdot 2\pi \epsilon_0 \sqrt{2\eta(U_0 - \Delta U)} / \ln \frac{r_2}{r_1}$$

Теперь как-то построим график.



Запишем нашу ф-лу в след. виде:

$$(*) I = A F(x), \text{ где } x = \Delta U$$

$$A = \frac{2\pi \epsilon_0 \sqrt{2\eta}}{\ln \frac{r_2}{r_1}}$$

$$F(x) = x \sqrt{U_0 - x}$$

Нам надо найти экстремум этой ф-ции?

$$\frac{dF}{dx} = 0$$

$$\frac{dF}{dx} = \sqrt{U_0 - x} - \frac{x}{2\sqrt{U_0 - x}} = 0 \Rightarrow x = \frac{2}{3} U_0$$

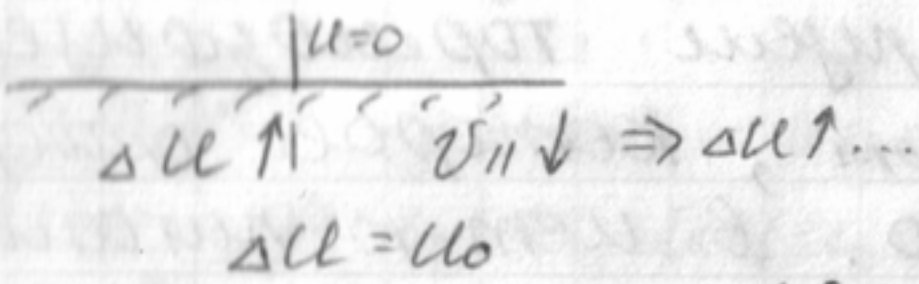
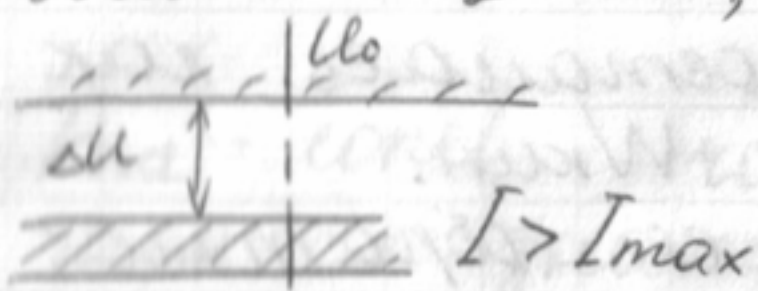
Иначе говоря, $\Delta U_{\max} = \frac{2}{3} U_0$ - подставим в ф-лу для тока (*) и еще найдем max ток

$$\Rightarrow I_{\max} = \frac{4}{9} \epsilon_0 \sqrt{2\eta} \pi \sqrt{3} U_0^{3/2}$$

ответ получили законом $\frac{3}{2}$ -ой ст.

$I_{\max} = P U_0^{3/2}$ - ток, большей, чем ток тира-портировки, свет. пропустит и не поест.

Третье, это тоже сэрор-ли пучок, у котор. ток больше I_{max} ; т.е. $I > I_{max}$



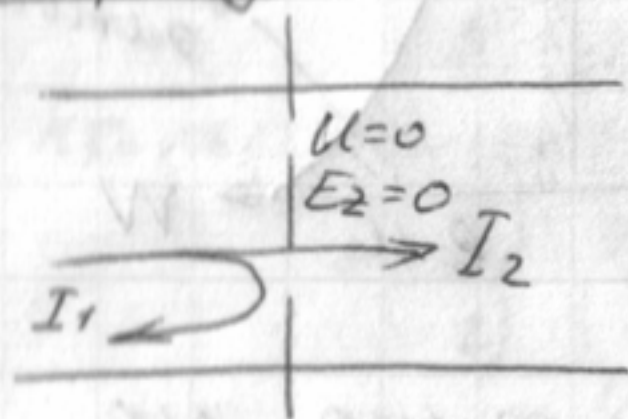
Что происходит?

рассеив. процесс во времени:
 $\Delta U \uparrow \Rightarrow v_{||} \downarrow \Rightarrow \Delta U$ еще больше
 растет, пока не будет

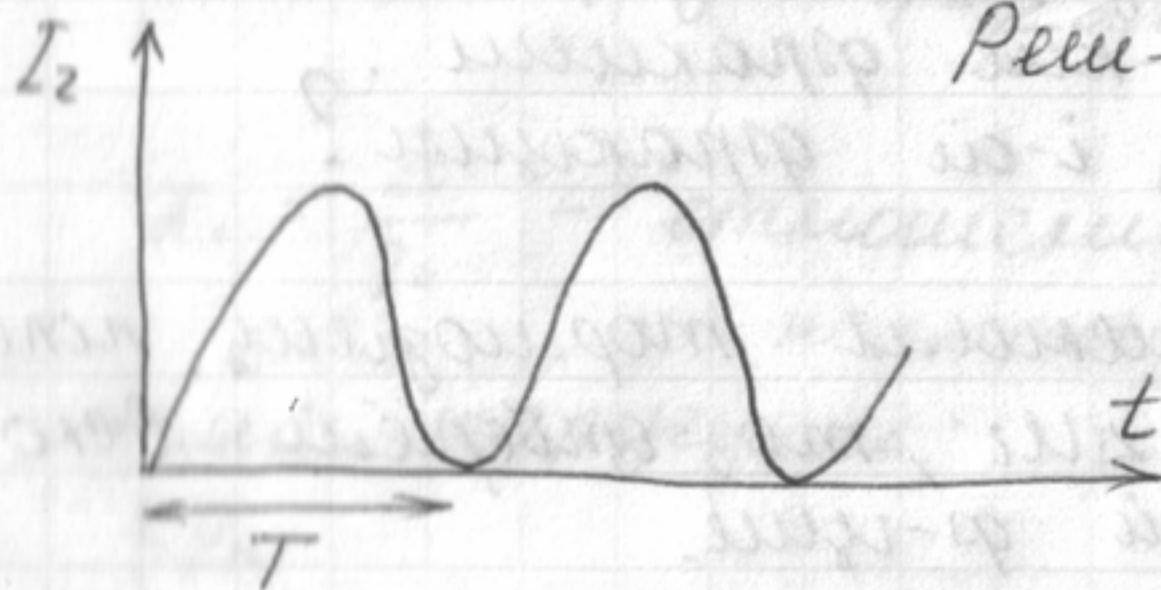
$$\Delta U = U_0$$

В рамках статич. модели не решить, смотрим кач-но.

Тогда получ. что в некоем п-ти $U=0$ и $E_z=0$
 т.е. 2 условия (точно такие же как на катод^е) — это ^{в решетке} ^{включ. тока} ^{простр. заряда} виртуального катода



Койде до этой п-ти, пучок делится на два — один вперед, др. обратно. Их соотнош-е зависит от конкрет задачи.



Реш-е периодич-ое, и нет сост. р/в

— не sin-га

\Rightarrow пучок неуст-вои (.v.)

на этом принципе основана работа

Виркаторов

(.v.) = (т.е. польз-ел или в приоб-х невозм)

Система рекуперации энергии.

Рекуперация — возвращение э-ии обратно в сет-к питания.

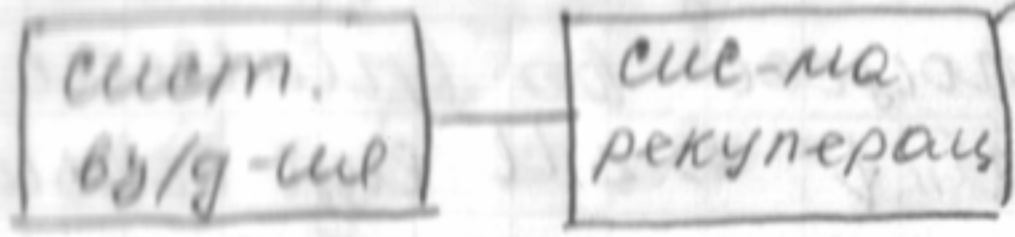
Во многих СВЧ приборах $\eta = 20-40\%$ — низкий т.е. энергии не рекупер-св.

как повысить КПД приборов?

1. улучшить взаимодей-ие пучка и э/м поле (напр., уменьшить распр-ие поля в объеме и т.д.)

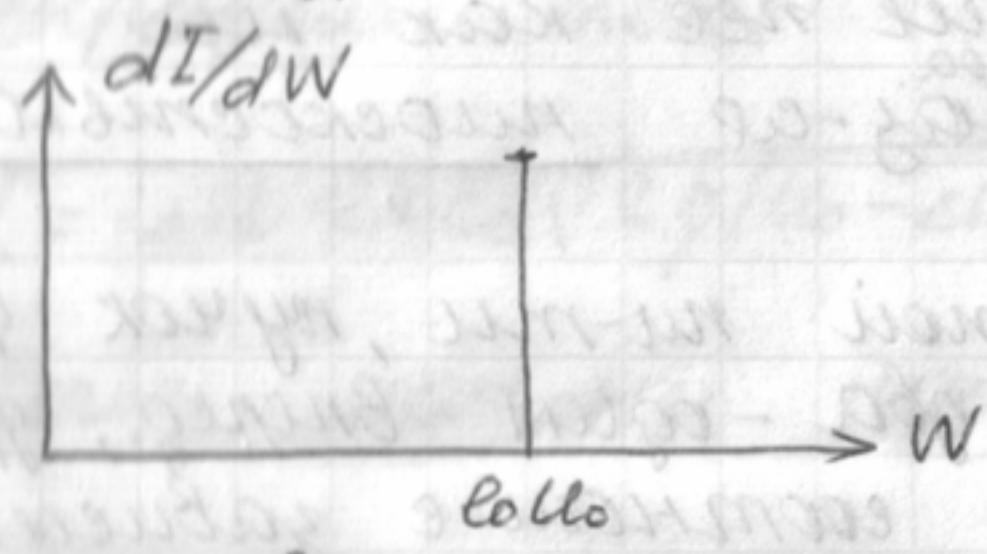
2. Рекуперация (ничего не делаем с вз/д-ем) т.е. вз/д-ие не делаем

т.е. мы пытаемся исправить свет-цимо после въз-ше.

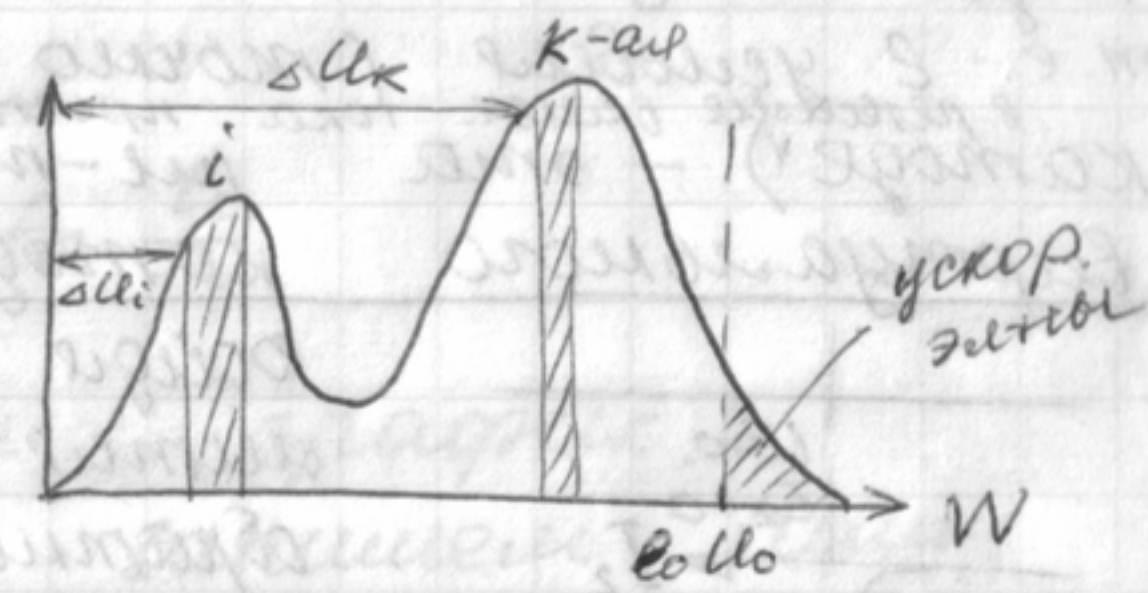


Идея: у нас остается как правило Wкин. отберем ее обратно: соорудим тормозное поле E торм, которое отберет энергию. В свет-к. питании

$F(W) = \frac{dI}{dW}$ - распределение тока по энергии.



до въз-ше пучка с э/м полем.



после.

разобьем эту ф-ию на эн-кие фракции.

как забрать эн-ию из i-ой фракции?

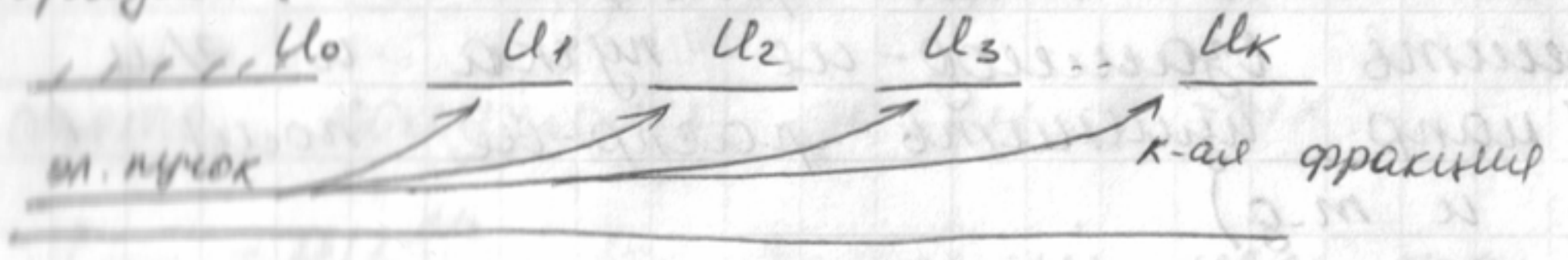
$\epsilon_0 \Delta U_i = \Delta W_i$

$\Delta U_i = \frac{W_i}{\epsilon_0}$ - если применим тормозное поле с таким ΔU_i , то отберем всю эн-ию у i-ой ф-ции.

Что надо сделать чтобы отобрать всю эн-ию? надо решить 2 задачи: (у всего пучка)

1. Разделить (отпарировать) э-ны в разной эн-ии.
2. Посадить эти разные ф-ции на разные электроды, с таким пот-м, чтобы забрать у них всю эн-ию.

Система рекуперации б. будет выглядеть след. образом:



$U_0 > U_1 > U_2 > \dots > U_k$

$\eta = \frac{P_{out}}{P_0}$, P_{out} - выходная мощность
 P_0 - мощность, которую затратим, чтобы создать пучок

$P_{out} = const$ - элемент не меняем
 мем-ся знаменатель $- P_0$

Итак, у нас получ-ся очень много ступе-
 нок рекуперации $n \rightarrow \infty$

$\eta_n = ?$ $\eta_n \rightarrow 100\%$ - в пределе м. получить.

Сколько на самом деле ступенек (реально)?
 Почему? ПРИЧИНЫ:

$n \leq 4$

а) малое расст. мжу ступ.

б) много цвет-ов катодов (на

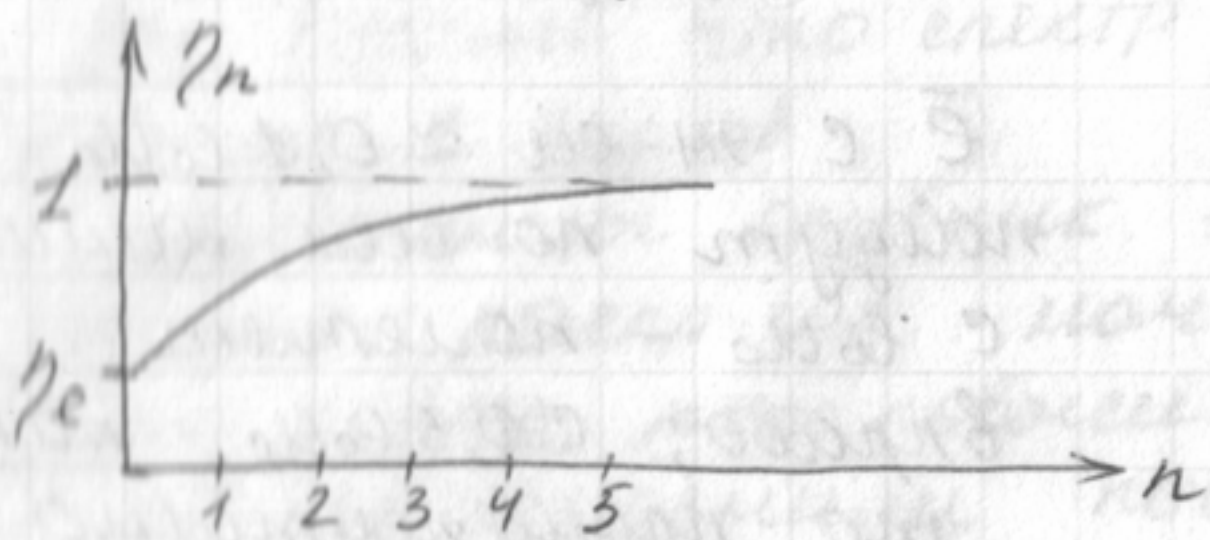
катод. электрод надо подать своей пот-л)

! в) трудно сепарир. пучок.

г) $\eta_n = \frac{\eta_e}{1 - \sum_{i=1}^n \alpha_i (1 - \frac{U_i}{U_0})}$, η_e - электрич. КПД

$\alpha_i = \frac{I_i}{I_0}$ - отношение тока на i -ую ступень
 к полному току.

еще маршует:



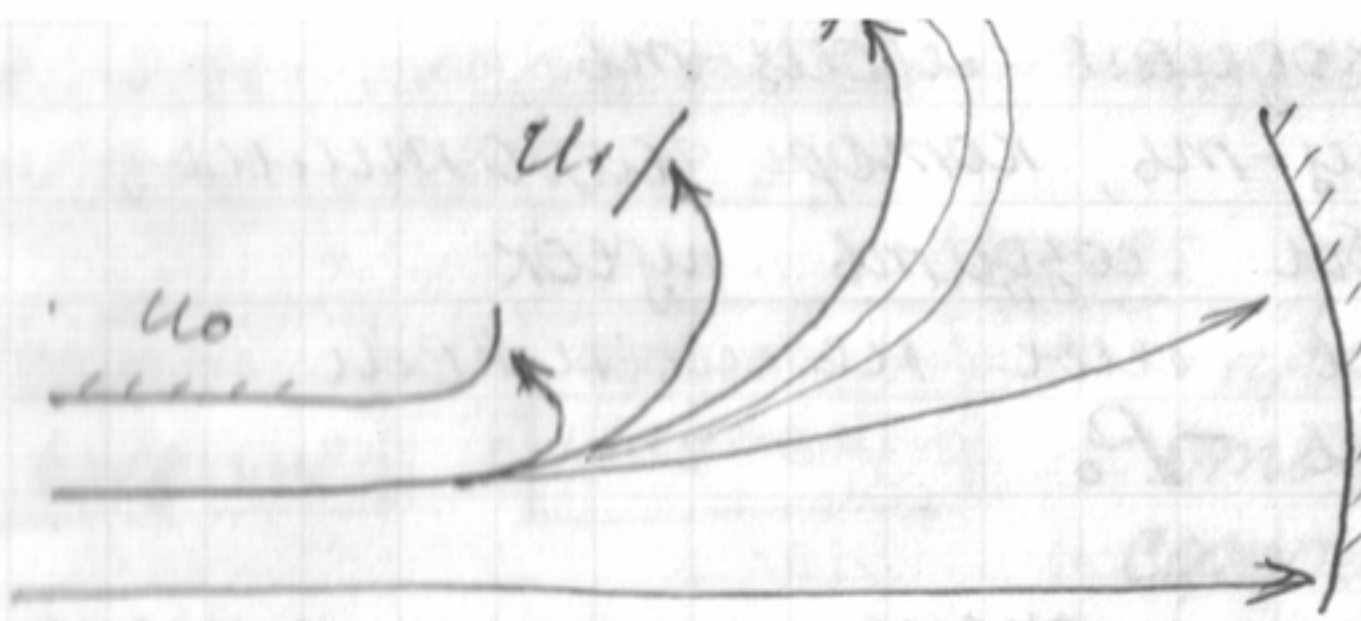
(η_e - КПД без рекуп-ции)

Основ. выигрыш в КПД
 если 1-2^х ступенчатая
 система \Rightarrow

Все эти сообр-ия + этот график приводит
 к выводу, что > 4 -х ступеней нет смысла
 делать.

• Основная трудность - как разделить пучок
 в простр-ве на отдельные фракции?
 т.е. как сепарировать пучок?

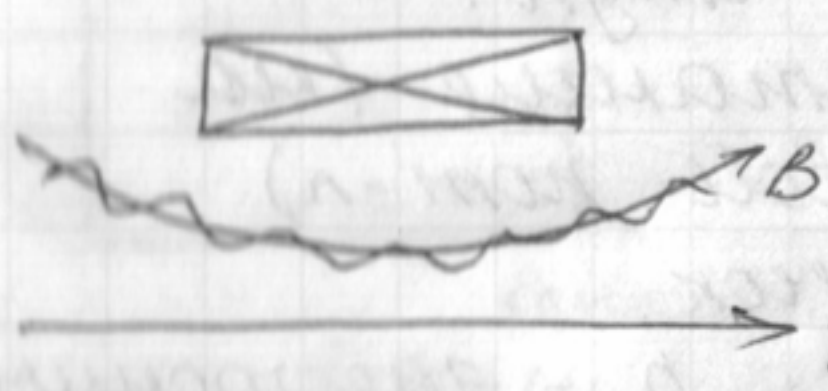
Если пучок не монохромный (напр. в спутниковых
ЛБВ), исп. МПРС $\Rightarrow B=0$ - поле падает до "0"



По сути - электроды - коллектора. Площадь маленькая, \bar{e} почти по нормали \Rightarrow сильно греется.

Используется в маломощных приборах (~100Вт)

В мощных приборах - лучок надо вести [применяется фокусировка (магнитная)]

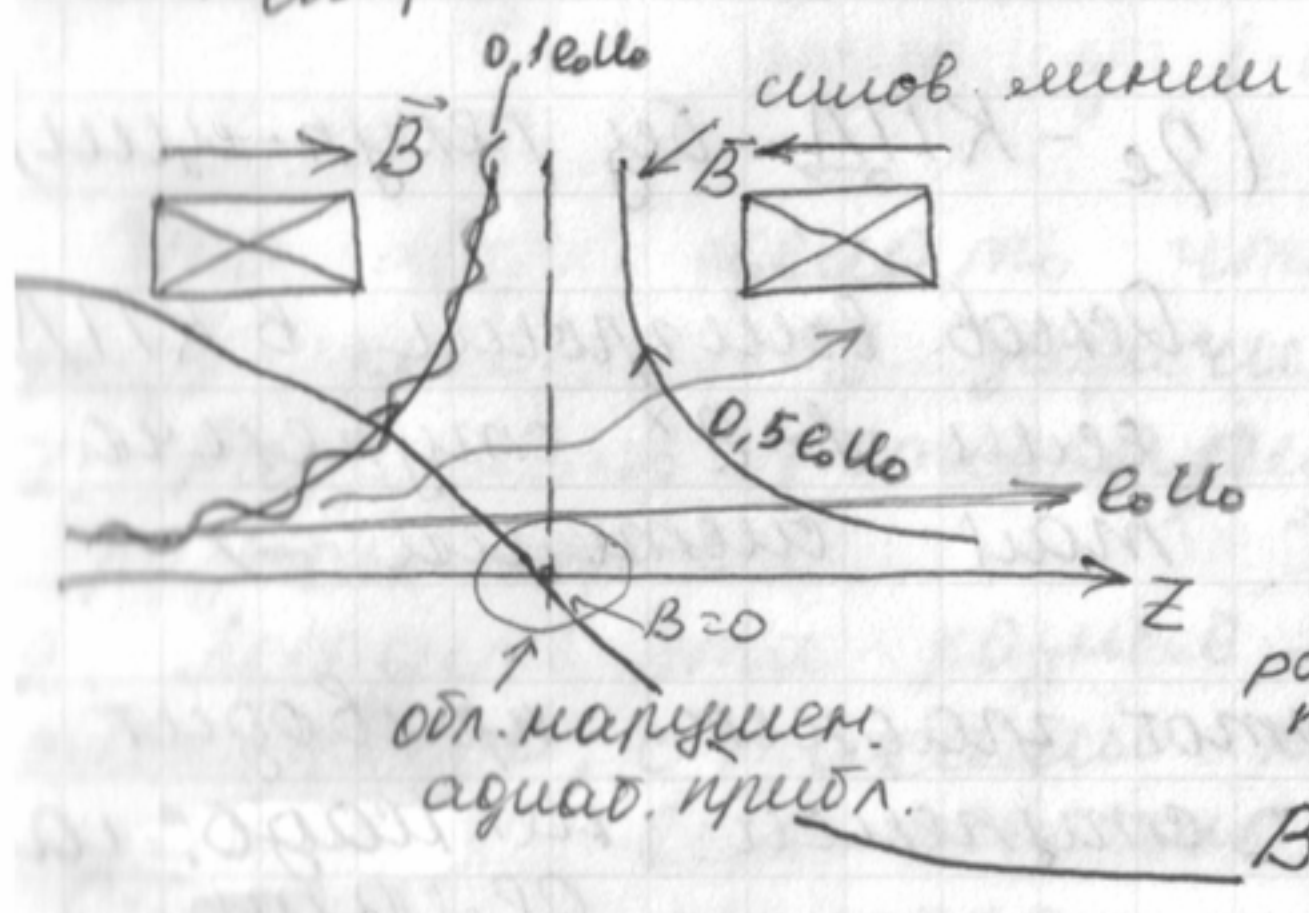


$L_B \gg r_L, h$ - ад. прибор.

Но с точки зрения рекуперации плохо, что лучок летит вдоль магн. силов. линий - лучок невольно разделяется на фракции \Rightarrow

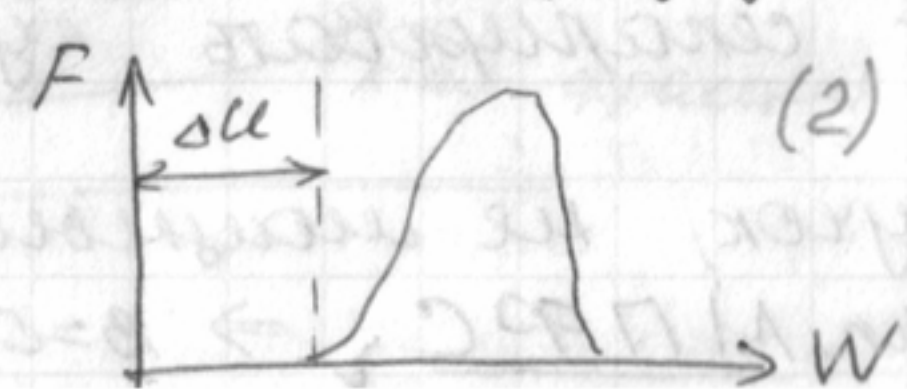
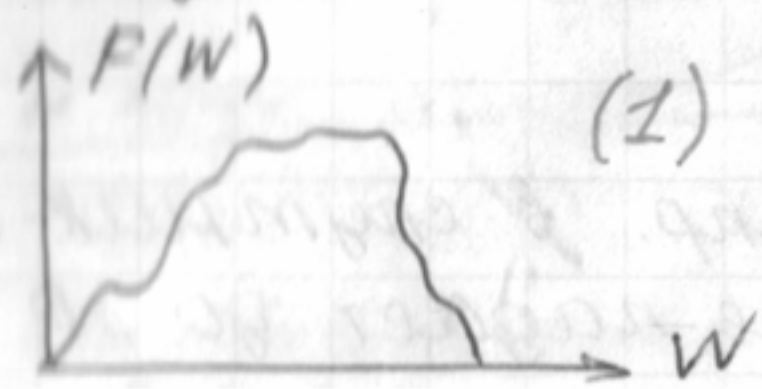
\Rightarrow В мощных прибор-х надо нарушить усл-ие адiab. прибор-ов, т.е. вып-ть обрат. условие:

$T_c | \frac{dB}{dt} | \gg B$ - усл. прим-ти счет. рекуперации



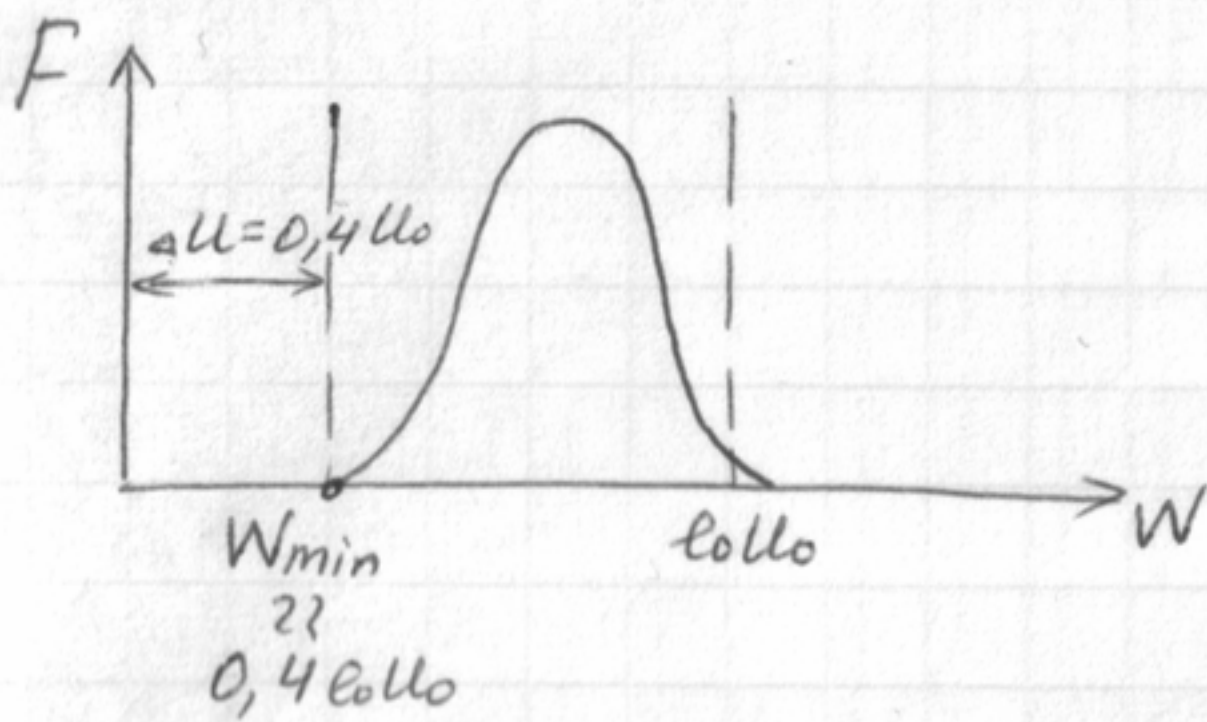
\bar{e} с \mathcal{M} -ей $\approx 0,1 e_0 u_0$ пойдут по сил. линиям, с $e_0 u_0$ - полетит вправо; с $0,5 e_0 u_0$ - как то промежуточно

Надо или не надо решать эту задачу?



Если (1) - надо решить задачу о распр-ии пучка на Δu . А если (2) - можем тормознуть пучок на Δu .

Гиротрон:



$$U_1 = 0,6 U_0$$

$$\eta_1 = \eta_e \frac{U_0}{U_1} \approx 1,5 \eta_e$$

$\eta_e \approx 40\%$ - у шротронов \Rightarrow

$\Rightarrow \eta_1 \approx 60\%$. Можно и больше

Рекорд: $\eta_{1max} = 70\%$ (где приборов мощность ~ 1 МВт)

Все верно что спектр на выходе шротрона макс-ил с шумом

но это только опублнк. экпер-ные резу-тате, что ф-ция распр-ии макс-ил не с шумом, и что КПД может повыситься в 1,5 раза. (но не объяснили почему так)

КОЛЛОКВИУМ

30 НОЯБ - 14⁴⁰. 441

448

449

Аудитория -